

ระบบควบคุมการเปิดปิดไฟฟ้าแบบอัตโนมัติ

อิสระ แวนโคก
ณวีวรรณ ดวงทาแสง

เสนอต่อมหาวิทยาลัยมหาสารคาม เพื่อเป็นส่วนหนึ่งของการศึกษาตามหลักสูตร
ปริญญาวิทยาศาสตรบัณฑิต สาขาวิชาพิสิกส์ประยุกต์
กรกฎาคม 2557
ติบสิทธิ์เป็นของมหาวิทยาลัยมหาสารคาม

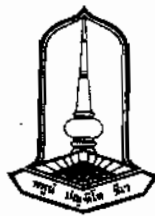
AUTOMATIC LIGHT DETECTION CONTROL SYSTEM

**AISRA SAENKHOK
CHAWEEWAN DOUNG TASANG**

**PRESENTED IN PARTIAL FULFILLMENT OF REQUIREMENTS FOR
THE BACHELOR OF SCIENCE IN APPLIED PHYSICS**

JULY 2014

ALL RIGHTS RESERVED BY MAHASARAKHAM UNIVERSITY



คณะกรรมการสอบปริญญาบัณฑิต ได้พิจารณาปริญญานิพนธ์ของนายอิสระ แสนโคก และ^๑
นางสาวชวีวรรณ ดวงทาแสง แล้วเห็นสมควรรับเป็นส่วนหนึ่งของการศึกษาตามหลักสูตรปริญญา
วิทยาศาสตรบัณฑิต สาขาวิชาพิสิกส์ประยุกต์ ของมหาวิทยาลัยมหาสารคาม

คณะกรรมการสอบปริญญาบัณฑิต

✓

ประธานกรรมการ

(อาจารย์ ดร.ประเมษฐ์ จันทร์เพ็ง)

กรรมการ

(ผู้ช่วยศาสตราจารย์ ดร.ธีรวงศ์ เหล่าสุวรรณ)

กรรมการ

(อาจารย์ ดร.สุชาติ โภษคลัง)

กรรมการและอาจารย์ที่ปรึกษาร่วม

(อาจารย์ ดร.ศุภชัย ฤทธิ์เจริญวัฒนา)

กรรมการและอาจารย์ที่ปรึกษา

(อาจารย์ ดร.สุภกร หาญสูงเนิน)

(อาจารย์ ดร.นิติศักดิ์ ปา沙จ)

หัวหน้าภาควิชาพิสิกส์

วันที่.....เดือน กรกฎาคม พ.ศ. 2557

(อาจารย์ ดร.ประเมษฐ์ จันทร์เพ็ง)

ประธานหลักสูตรสาขาวิชาพิสิกส์ประยุกต์

กิจกรรมประจำ

ขอขอบพระคุณ อาจารย์ ดร.สุภกร หาญสูงเนิน อาจารย์ที่ปรึกษาผู้ที่ให้คำปรึกษา คำชี้แนะ และคุ้มครอง ใจใส่ผู้ทำโครงการนี้เป็นอย่างดี ทำให้โครงการนี้สำเร็จลงไปได้ด้วยดี

ขอขอบพระคุณ อาจารย์ ดร.ศุภชัย ฤทธิ์เจริญวัฒุ อาจารย์ที่ปรึกษาร่วมผู้ที่ให้ความรู้ และแนะนำผู้ทำโครงการนี้ ให้มีแนวทางในการทำโครงการที่ถูกต้องและสำเร็จลงได้ด้วยดี

ทั้งนี้ปริญญานิพนธ์ฉบับนี้สำเร็จสมบูรณ์ได้ด้วยความกรุณา และความช่วยเหลืออย่างสูงยิ่ง จากอาจารย์ ผศ.ดร. ประเมษฐ์ จันทร์เพ็ง ประธานกรรมการสอบ อาจารย์ ดร. ธีรวงศ์ เหล่าสุวรรณ และอาจารย์ ดร.สชาติ โوخคลัง กรรมการสอบ ที่ตรวจสอบข้อบกพร่องและให้คำเสนอแนะ

ขอขอบพระคุณบิดา มารดาของผู้ทำโครงการ ผู้ซึ่งเคยให้กำลังใจและอยู่เบื้องหลังของ ความสำเร็จในครั้งนี้ตลอดมา

ขอขอบคุณรุ่นพี่ เพื่อนๆ และรุ่นน้องพิสิگส์ทุกคน ที่เคยให้ความช่วยเหลือ และให้กำลังใจ ในการทำโครงการครั้งนี้จนสำเร็จ และขอขอบคุณทุกท่านที่มีส่วนเกี่ยวข้องในโครงการครั้งนี้

อิสระ แสนโคก
ฉวีวรรณ ดวงทาแสง

ชื่อเรื่อง	ระบบควบคุมการเปิดปิดไฟฟ้าแบบอัตโนมัติ
ผู้ที่วิจัย	นายอิสระ แสนโคก นางสาวฉวีวรรณ ดวงทาแสง
ปริญญา	วิทยาศาสตรบัณฑิต
สาขาวิชา	พิสิกส์ประยุกต์ (วท.บ.พิสิกส์ประยุกต์)
อาจารย์ที่ปรึกษา	อาจารย์ ดร.สุภาร หาญสูงเนิน
อาจารย์ที่ปรึกษาร่วม	อาจารย์ ดร.ศุภชัย ฤทธิ์เจริญวัฒนา
มหาวิทยาลัย	มหาวิทยาลัยมหาสารคาม ปีที่พิมพ์ 2557

บทคัดย่อ

โครงการนี้มีวัตถุประสงค์เพื่อพัฒนาระบบเปิดปิดไฟฟ้าแบบอัตโนมัติ โดยระบบที่ทำการพัฒนาประกอบด้วย วงจรแหล่งจ่ายไฟฟ้ากระแสตรง วงจรเซ็นเซอร์ตรวจจับการเคลื่อนไหว วงจรเซ็นเซอร์แสง วงจรไมโครคอนโทรลเลอร์ และวงจรขับรีเลย์ ซึ่งระบบจะทำการตรวจสอบความเข้มแสง และการเคลื่อนไหวเพื่อนำมาประมวลผล เพื่อสร้างสัญญาณสำหรับควบคุมการเปิดปิดระบบแสงสว่าง โดยระบบจะทำการเปิดหลอดไฟเมื่อตรวจพบการเคลื่อนไหวของคน และตรวจวัดค่าความเข้มแสงได้น้อยกว่า 25 lux อย่างไรก็ตาม เมื่อไม่มีการเคลื่อนไหว ระบบจะทำการหันหน้ากล้องไว้ประมาณ 1 นาที ก่อนทำการสวิตซ์เพื่อปิดไฟ

จากการทดสอบระบบเปิดปิดไฟฟ้าแบบอัตโนมัติที่ถูกพัฒนาขึ้น พบว่าเมื่อทำการติดตั้งระบบไว้ที่ผนังห้องสูงจากพื้น 80 เซนติเมตร ระบบสามารถปฏิบัติการครอบคลุมพื้นที่ได้ถูกต้อง ทางการรับสัญญาณของเซ็นเซอร์ครอบคลุมพื้นที่ประมาณ 15 ตารางเมตร โดยเซ็นเซอร์สามารถตรวจจับการเคลื่อนไหวได้ในช่วงมุม 43 ถึง 128 องศา และมีความแม่นยำคิดเป็น 100 เปอร์เซ็นต์ ในช่วงการตรวจจับที่ตอบสนองได้ดี ระบบตั้งกล้องสามารถนำไปประยุกต์ใช้ในการควบคุมการเปิดปิดไฟฟ้าได้จริงทั้งภายใน และภายนอกอาคาร ตลอดจนสามารถพัฒนาต่อยอดเพื่อประยุกต์ใช้ในการบริหารจัดการปัญหาทางด้านพลังงาน

คำสำคัญ : เซ็นเซอร์ตรวจจับการเคลื่อนไหว เซ็นเซอร์แสง ไมโครคอนโทรลเลอร์

TITLE Automatic Light Detection Control System
AUTHORS Mr. Aisra Saenkhok
 Miss Chaweewan Doungtasang
DEGREE Bachelor Of Science MAJOR Applied Physics
ADVISOR Dr. Supakorn Harsoongnoen
CO-ADVISOR Dr. Supachai Ritjareonwattu
UNIVERSITY Mahasarakham University DATE 2014

ABSTRACT

The aim of project is to develop the automatic light detection system. This system consists of a DC power-supply circuit, a motion-detection circuit, a light detection circuit, a microcontroller circuit and a relay circuit. The device is used to examine both the intensity of light and a motion of people. Then the acquired data from the circuits are processed to produce the signals to control a lamp. With the motion and the light intensity below 25 lux, the lamp will be turned on. In the on state, if the sensing circuit cannot detect any motion, the lamp remains turned on for approximately 1 minute and then be switched off.

The testing result shows that when the device was set in the room and installed on the wall with 80 cm above the floor. The device could detect the motion within the area of approximately 15 m^2 . Also, this system could detect the motion in the direction between the angles from 43 to 128 degree. The device could operate both indoor and outdoor. However, some further studies are needed to develop this system to detect the motion more precisely and accurately.

KEY WORDS: motion sensor; light sensor; microcontroller

สารบัญ

	หน้า
กิตติกรรมประกาศ	ก
บทคัดย่อภาษาไทย	ข
บทคัดย่อภาษาอังกฤษ	ค
สารบัญ	ง
สารบัญตาราง	ช
สารบัญภาพประกอบ	ซ
บทที่ 1 บทนำ	๑
1.1 ที่มาและความสำคัญของโครงงาน	๑
1.2 วัตถุประสงค์ของโครงงาน	๑
1.3 ขอบเขตของโครงงาน	๑
1.4 ประโยชน์ที่ได้รับ	๑
บทที่ 2 ทฤษฎีและงานวิจัยที่เกี่ยวข้อง	๒
2.1 แหล่งจ่ายไฟฟ้า	๒
2.1.1 วงจรเรียงกระแส	๒
2.1.2 วงจรกรองแรงดัน	๔
2.1.3 วงจรคงค่าแรงดัน	๕
2.2 อุปกรณ์ตรวจจับการเคลื่อนไหว	๖
2.3 เช่นเซอร์แส้ง	๗
2.3.1 ตัวด้านทานไวแสง	๗
2.3.2 ไฟโตడิโอด	๘
2.3.3 ไฟโตทรานซิสเตอร์	๙
2.4 อุปกรณ์อิเล็กทรอนิกส์	๑๐
2.4.1 օปปแอมป์	๑๐
2.4.2 ทรานซิสเตอร์	๑๒
2.4.3 ทรานซิสเตอร์แบบดาร์ลิงตัน	๑๔
2.4.4 รีเลย์	๑๖
2.4.5 ไมโครคอนโทรลเลอร์	๑๗
2.5 งานวิจัยที่เกี่ยวข้อง	๑๙

สารบัญ (ต่อ)

	หน้า
บทที่ 3 วิธีดำเนินการวิจัย	21
3.1 ขั้นตอนการดำเนินงาน	21
3.2 การออกแบบระบบเปิดปิดไฟฟ้าแบบอัตโนมัติ	22
3.2.1 การออกแบบวงจรแหล่งจ่ายไฟฟ้ากระแสตรง	22
3.2.2 การออกแบบวงจรเซ็นเซอร์ตรวจจับการเคลื่อนไหว	26
3.2.3 การออกแบบวงจรเซ็นเซอร์แสง	28
3.2.4 การออกแบบวงจรไมโครคอนโทรลเลอร์	29
3.2.5 การออกแบบวงจรขับรีเลย์	32
3.2.6 การทดสอบระบบเปิดปิดไฟฟ้าแบบอัตโนมัติ	35
3.2.6.1 การทดสอบระยะการทำงานของระบบเปิดปิดไฟฟ้าแบบอัตโนมัติ	35
3.2.6.2 การทดสอบประสิทธิภาพการทำงานของระบบเปิดปิดไฟฟ้าแบบอัตโนมัติ	35
บทที่ 4 ผลการวิจัยและการอภิปราย	37
4.1 ผลการทดสอบวงจรแหล่งจ่ายไฟกระแสตรง	37
4.1.1 ผลการทดสอบวงจรกำเนิดไฟตรงขนาด 5 V_{DC} และ 12 V_{DC}	37
4.1.2 ผลการทดสอบวงจรกำเนิดไฟตรงขนาด $\pm 15 \text{ V}_{\text{DC}}$	38
4.2 ผลการทดสอบวงจรเซ็นเซอร์ตรวจจับการเคลื่อนไหว	38
4.3 ผลการทดสอบวงจรเซ็นเซอร์แสง	42
4.4 ผลการทดสอบวงจรขับรีเลย์	45
4.5 ผลการทดสอบระบบเปิดปิดไฟฟ้าแบบอัตโนมัติ	47
4.5.1 ผลการทดสอบระยะการทำงานของระบบเปิดปิดไฟฟ้าแบบอัตโนมัติ	47
4.5.2 ผลการทดสอบประสิทธิภาพการทำงานของระบบเปิดปิดไฟฟ้าแบบอัตโนมัติ	48
บทที่ 5 บทสรุป	50
5.1 สรุป	50
5.2 ปัญหาและอุปสรรค	51
5.3 ข้อเสนอแนะ	51
เอกสารอ้างอิง	52

สารบัญ (ต่อ)

	หน้า
ภาคผนวก	55
ภาคผนวก ก ตารางผลการทดลอง	56
ภาคผนวก ข ภาพประกอบการทดลอง	60
ประวัติย่อผู้ทำโครงการ	64

สารบัญตาราง

	หน้า
ตาราง 3.1 เงื่อนไขการทำงานของระบบเปิดปิดไฟฟ้าแบบอัตโนมัติ	31
ตาราง 4.1 ทดสอบประสิทธิภาพในการทำงานของระบบเมื่อมีแสงสว่างเพียงพอ	49
ตาราง 4.2 ทดสอบประสิทธิภาพในการทำงานของระบบเมื่อมีแสงสว่างไม่เพียงพอ	49
ตาราง ก.1 ผลการทดสอบคุณสมบัติของ LDR เช็นเซอร์	57
ตาราง ก.2 ผลการทดสอบวัดระยะตอบสนองของระบบเปิดปิดไฟฟ้าแบบอัตโนมัติ	57

สารบัญภาพประกอบ

	หน้า
ภาพประกอบ 2.1 วงจรเรียงกระแสแบบเติมค่าลีนวงชนิดเช็นเตอร์แท็ป	3
ภาพประกอบ 2.2 วงจรเรียงกระแสแบบเติมค่าลีนวงชนิดเช็นเตอร์แท็ป	3
ภาพประกอบ 2.3 วงจรเรียงกระแสแบบบริดจ์	3
ภาพประกอบ 2.4 วงจรเรียงกระแสเติมค่าลีนแบบบริดจ์เมื่ออินพุตอยู่ในครึ่งควบคุม	4
ภาพประกอบ 2.5 วงจรเรียงกระแสเติมค่าลีนแบบบริดจ์เมื่ออินพุตอยู่ในครึ่งควบคุม	4
ภาพประกอบ 2.6 แรงดันไฟฟ้ากระแสตรงเมื่อใช้ตัวเก็บประจุกรองแรงดัน	5
ภาพประกอบ 2.7 ลักษณะขาไอซ์ (ก) MC78XX (ข) MC79XX	5
ภาพประกอบ 2.8 องค์ประกอบภายในเขินเซอร์ตรวงจับการเหลื่อนไหว	6
ภาพประกอบ 2.9 โครงสร้างและลักษณะของเลนส์เฟรสเนล	7
ภาพประกอบ 2.10 โครงสร้างของตัวด้านหน้าไวนิล	8
ภาพประกอบ 2.11 รอยต่อ PN ของโพโตไดโอด	8
ภาพประกอบ 2.12 วงจรการใบอัลฟ์โพโตไดโอด	9
ภาพประกอบ 2.13 (ก) สัญลักษณ์โพโตทรานซิสเตอร์ (ข) วงจรสมมูลของโพโตทรานซิสเตอร์	9
ภาพประกอบ 2.14 ลักษณะพื้นฐานของออบป้อมปี	10
ภาพประกอบ 2.15 วงจรกันชน	11
ภาพประกอบ 2.16 (ก) โครงสร้างทรานซิสเตอร์ชนิด NPN (ข) โครงสร้างทรานซิสเตอร์ชนิด PNP	12
ภาพประกอบ 2.17 (ก) สัญลักษณ์ทรานซิสเตอร์ชนิด NPN (ข) สัญลักษณ์ทรานซิสเตอร์ชนิด PNP	13
ภาพประกอบ 2.18 การใบอัลฟ์ทรานซิสเตอร์ (ก) วงจรใบอัลฟ์ทรานซิสเตอร์ชนิด NPN (ข) วงจรใบอัลฟ์ทรานซิสเตอร์ชนิด PNP	13
ภาพประกอบ 2.19 การต่อทรานซิสเตอร์แบบดาร์ลิงตัน	14
ภาพประกอบ 2.20 แผนภาพโครงสร้างทางกายภาพของรีเลย์	16
ภาพประกอบ 2.21 สภาพะในการทำงานของรีเลย์ (ก) สภาพะที่หน้าสัมผัส C ต่อกับ NC (ข) สภาพะที่หน้าสัมผัส C ต่อกับ NO	17
ภาพประกอบ 2.22 โครงสร้างเบื้องต้นของไมโครคอนโทรลเลอร์ PIC16F628	18
ภาพประกอบ 3.1 โมเดลต้นแบบระบบเปิดปิดไฟฟ้าแบบอัตโนมัติ	21
ภาพประกอบ 3.2 ขั้นตอนการดำเนินงาน	22

สารบัญภาพประกอบ (ต่อ)

	หน้า
ภาพประกอบ 3.3 วัสดุเรียงกระแสโดยใช้อิซีคงค่าแรงดันเบอร์ 7805	24
ภาพประกอบ 3.4 วัสดุเรียงกระแสโดยใช้อิซีคงค่าแรงดันเบอร์ 7812	25
ภาพประกอบ 3.5 วัสดุแหล่งจ่ายไฟพักระแสงตรงขนาด 5 V_{DC} และ 12 V_{DC}	25
ภาพประกอบ 3.6 วัสดุแหล่งจ่ายไฟพักระแสงตรงขนาด $\pm 15\text{ V}_{\text{DC}}$	26
ภาพประกอบ 3.7 (ก) ตำแหน่งจับสัญญาณเอาต์พุตของเซ็นเซอร์ (ข) สัญญาณเอาต์พุตของเซ็นเซอร์	27
ภาพประกอบ 3.8 วัสดุเซ็นเซอร์ตรวจจับการเคลื่อนไหว	27
ภาพประกอบ 3.9 วัสดุเซ็นเซอร์แสง	28
ภาพประกอบ 3.10 ความสัมพันธ์ระหว่าง V_{out} ของวัสดุเซ็นเซอร์แสงกับค่าความเข้มแสง	29
ภาพประกอบ 3.11 วัสดุประกอบเพื่อให้ไมโครคอนโทรลเลอร์ทำงาน	30
ภาพประกอบ 3.12 การประมวลผลของระบบเปิดปิดไฟฟ้าแบบอัตโนมัติ	32
ภาพประกอบ 3.13 วัสดุชิบเรซิลิค	33
ภาพประกอบ 3.14 ลักษณะการทดสอบระยะระบบเปิดปิดไฟฟ้าแบบอัตโนมัติ	35
ภาพประกอบ 4.1 สัญญาณแรงดันไฟตรง (ก) แรงดันไฟตรงเฉลี่ยขนาด $5.00\text{ V}_{\text{DC}}$ (ข) แรงดันไฟตรงเฉลี่ยขนาด $11.50\text{ V}_{\text{DC}}$	37
ภาพประกอบ 4.2 สัญญาณแรงดันไฟตรง (ก) แรงดันไฟฟ้าผิ่งบวก (ข) แรงดันไฟฟ้าผิ่งลบ	38
ภาพประกอบ 4.3 วัสดุเซ็นเซอร์ตรวจจับการเคลื่อนไหว	38
ภาพประกอบ 4.4 (ก) ความสัมพันธ์ระหว่างแรงดันกับเวลาขณะอัดประจุ (ข) ความสัมพันธ์ระหว่างแรงดันกับเวลาขณะคายประจุ	40
ภาพประกอบ 4.5 (ก) ความสัมพันธ์ระหว่าง $I_{\text{g}}(4.5\text{-}V_{\text{outPIR}})$ กับเวลาขณะอัดประจุ (ข) ความสัมพันธ์ระหว่าง $I_{\text{g}}(V_{\text{outPIR}})$ กับเวลาขณะคายประจุ	40
ภาพประกอบ 4.6 สัญญาณแรงดันของวัสดุเซ็นเซอร์ตรวจจับการเคลื่อนไหว	41
ภาพประกอบ 4.7 (ก) ความสัมพันธ์ระหว่าง V_{LDR} กับความเข้มแสง (ข) ความสัมพันธ์ระหว่างกระแสกับความเข้มแสง	42
ภาพประกอบ 4.8 (ก) ความสัมพันธ์ระหว่าง $I_{\text{g}}(V_{\text{LDR}} - 1.2)$ กับค่าความเข้มแสง (ข) ความสัมพันธ์ระหว่าง $I_{\text{g}}(0.00038-i)$ กับค่าความเข้มแสง	43
ภาพประกอบ 4.9 (ก) ความสัมพันธ์ระหว่าง V_{out} กับความเข้มแสง (ข) ความสัมพันธ์ระหว่าง $I_{\text{g}}(3.8-V_{\text{out}})$ กับความเข้มแสง	44

สารบัญภาพประกอบ (ต่อ)

	หน้า
ภาพประกอบ 4.10 เปรียบเทียบความสัมพันธ์ระหว่าง V_{out} จากการทดลองกับความเข้มแสง และความสัมพันธ์ระหว่าง V_{out} จากสมการกับความเข้มแสง	45
ภาพประกอบ 4.11 ตำแหน่งจับสัญญาณแรงดันของวงจรขับรีเลย์	45
ภาพประกอบ 4.12 สัญญาณแรงดันขณะมีการเคลื่อนไหว	46
ภาพประกอบ 4.13 สัญญาณแรงดันขณะไม่มีการเคลื่อนไหว	46
ภาพประกอบ 4.14 ทิศทางการไฟลของกระแสรั่วไฟลในวงจรขับรีเลย์	47
ภาพประกอบ 4.15 ลักษณะการทดสอบระยะการทำงานของระบบเปิดปิดไฟฟ้า	47
ภาพประกอบ 4.16 ระยะการตอบสนองของระบบเปิดปิดไฟฟ้าแบบอัตโนมัติ	48
ภาพประกอบ ช.1 วิธีการทดสอบคุณสมบัติของ LDR เช่นเชอร์	61
ภาพประกอบ ช.2 ทดสอบระยะระบบเปิดปิดไฟฟ้าแบบอัตโนมัติ	61

บทที่ 1

บทนำ

1.1 ที่มาและความสำคัญของโครงการ

สถานการณ์ของโลกในยุคปัจจุบันต่อการขับเคลื่อนการเจริญเติบโตของระบบเศรษฐกิจและวิทยาการต่างๆ ประกอบกับประชากรโลกมีอัตราเพิ่มสูงขึ้น ทำให้ความต้องการในการใช้พลังงานมีค่าเพิ่มขึ้นตามไปด้วย แต่อย่างไรก็ตามจากข้อมูลพบว่า แหล่งพลังงานที่มีการใช้อยู่ในปัจจุบันส่วนใหญ่เป็นพลังงานที่ใช้แล้วหมดไป ยิ่งใช้สอยมากยิ่งทำให้ทรัพยากรสตองไปเรื่อยๆ ทำให้นักวิจัยจำนวนมากให้ความสนใจ และพยายามหาแนวทางเพื่อช่วยแก้ปัญหาเหล่านี้ โดยการนำพลังงานทางเลือกต่างๆ มาใช้ทดแทน แต่ยังคงไม่เพียงพอต่อความต้องการที่เพิ่มขึ้น

จากปัญหาข้างต้น ผู้วิจัยจึงมีแนวคิดที่จะพัฒนาระบบเปิดปิดไฟฟ้าแบบอัตโนมัติ เพื่อบรรเทาปัญหาที่เกิดขึ้นในเบื้องต้น ด้วยการลดการใช้พลังงาน ลดการใช้ไฟฟ้าที่ไม่จำเป็น และใช้พลังงานอย่างมีประสิทธิภาพให้มากที่สุด เช่น การปิดไฟก่อนออกจากบ้าน หรือใช้พลังงานไฟฟ้าเท่าที่จำเป็น ซึ่งระบบเปิดปิดไฟฟ้าที่ผู้วิจัยพัฒนาขึ้นประกอบด้วย วงจรแหล่งจ่ายไฟฟ้ากระแสตรง วงจรตรวจจับการเคลื่อนไหว วงจรเซ็นเซอร์แสง วงจรไมโครคอนโทรลเลอร์ วงจรขับรีเลย์ โดยทำการออกแบบวงจรตั้งถ่วงเพื่อให้ระบบสามารถตรวจจับการเคลื่อนไหวของคน และตรวจสอบความเข้มแสงว่าอยู่ในสภาพที่เพียงพอต่อการมองเห็นหรือไม่ แล้วทำการประมวลผลด้วยไมโครคอนโทรลเลอร์ เพื่อใช้ในการควบคุมรีเลย์ให้สวิตซ์เปิดปิดไฟฟ้า เช่น เมื่อมีคนล้มปิดไฟก่อนออกจากห้อง และเมื่อมีแสงสว่างที่มากเกินความจำเป็น ระบบจะปิดไฟโดยอัตโนมัติ

1.2 วัตถุประสงค์ของโครงการ

1.2.1 เพื่อศึกษาและพัฒนาระบบเปิดปิดไฟแบบอัตโนมัติ

1.2.2 เพื่อศึกษาและพัฒนาวงจรเซ็นเซอร์ตรวจจับการเคลื่อนไหว และวงจรเซ็นเซอร์แสง

1.3 ขอบเขตของโครงการ

1.3.1 พัฒนาระบบเปิดปิดไฟแบบอัตโนมัติโดยใช้เซ็นเซอร์ตรวจจับการเคลื่อนไหว และเซ็นเซอร์แสงโดยมีระยะการทำงานไม่เกิน 10 เมตร

1.3.2 ระบบที่ใช้ควบคุมการเปิดปิดไฟฟ้าแบบอัตโนมัติมีองค์ประกอบพื้นฐาน คือ เซ็นเซอร์ตรวจจับการเคลื่อนไหว เซ็นเซอร์แสง และไมโครคอนโทรลเลอร์

1.4 ประโยชน์ที่ได้รับ

1.4.1 ได้ระบบต้นแบบสำหรับควบคุมการเปิดปิดไฟฟ้าแบบอัตโนมัติ

1.4.2 ได้ข้อมูลพื้นฐานของการศึกษาวงจรเซ็นเซอร์ตรวจจับการเคลื่อนไหว วงจรเซ็นเซอร์แสง และโปรแกรมต้นแบบสำหรับควบคุมไมโครคอนโทรลเลอร์

บทที่ 2

ทฤษฎีและงานวิจัยที่เกี่ยวข้อง

การศึกษาโครงงานเรื่องระบบเปิดปิดไฟฟ้าแบบอัตโนมัติ ผู้ศึกษาได้ทำการศึกษาทฤษฎี และงานวิจัยที่เกี่ยวข้อง ซึ่งมีเนื้อหาและลำดับการนำเสนอต่อไปนี้

2.1 แหล่งจ่ายไฟฟ้า

แหล่งจ่ายไฟฟ้า คือ แหล่งพลังงานไฟฟ้าที่จ่ายให้กับวงจร หรือระบบทางด้านอิเล็กทรอนิกส์ สามารถแบ่งออกได้เป็น 2 ประเภท คือ แหล่งจ่ายไฟฟ้ากระแสตรง และแหล่งจ่ายไฟฟ้ากระแสสลับ ทั้งนี้ในโครงงานนี้เลือกใช้แหล่งจ่ายไฟฟ้ากระแสตรง โดยมีองค์ประกอบหลักส่วน เข่น หม้อแปลงไฟฟ้า วงจรเรียงกระแส (Rectifier) วงจรกรองแรงดัน (Voltage Filter Circuit) และวงจรคงค่าแรงดัน (Voltage Regulation)

2.1.1 วงจรเรียงกระแส

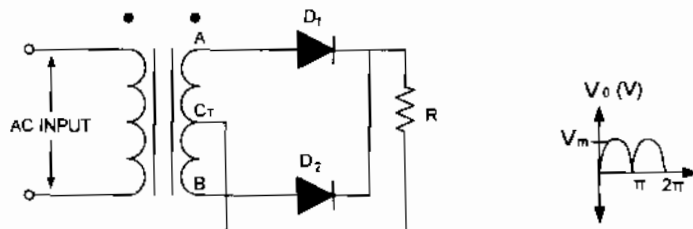
วงจรเรียงกระแส หรือเรคติไฟเออร์ คือ วงจรไฟฟ้าที่มีคุณสมบัติในการแปลงสัญญาณไฟฟ้า กระแสสลับให้เป็นไฟฟ้ากระแสตรง โดยอุปกรณ์ที่นิยมใช้ในการสร้างวงจรเรียงกระแส คือ ไดโอด เนื่องจากไดโอดมีคุณสมบัติยอมให้กระแสไฟฟ้าไหลผ่านได้ทิศทางเดียว ซึ่งวงจรเรียงกระแสสามารถแบ่ง ได้เป็น 2 แบบ คือ วงจรเรียงกระแสแบบเต็มคลื่น (Full Wave) และแบบครึ่งคลื่น (Half Wave) ทั้งนี้ ในโครงงานนี้ได้เลือกใช้วงจรเรียงกระแสแบบเต็มคลื่น เนื่องจากสัญญาณแรงดันไฟฟ้าจากวงจรเรียงกระแสแบบเต็มคลื่น จะเรียกว่าสัญญาณแรงดันไฟฟ้าของวงจรเรียงกระแสแบบครึ่งคลื่น

วงจรเรียงกระแสแบบเต็มคลื่นจะใช้ได้โดยอย่างน้อย 2 ตัว เพื่อให้สามารถนำกระแสในแต่ละ ครึ่งไซเคิลของไฟฟ้าสลาบได้ ไดโอดทั้งสองหน้าที่เป็นตัวควบคุมกระแสในการจ่ายให้กับความต้านทาน - โหลด ดังนั้น วงจรจึงสามารถจ่ายแรงดันไฟฟ้ากระแสตรงได้ถ้าว่างจรเรียงกระแสแบบครึ่งคลื่น วงจร เรียงกระแสแบบเต็มคลื่นแบ่งออกเป็น 2 แบบ คือ วงจรเรียงกระแสแบบเต็มคลื่นชนิดเข็นเตอร์แท็ป (Center-Tapped Rectifier Circuit) และวงจรเรียงกระแสเต็มคลื่นแบบบริดจ์ (Bridge Rectifier Circuit)

วงจรเรียงกระแสแบบเต็มคลื่นชนิดเข็นเตอร์แท็ป

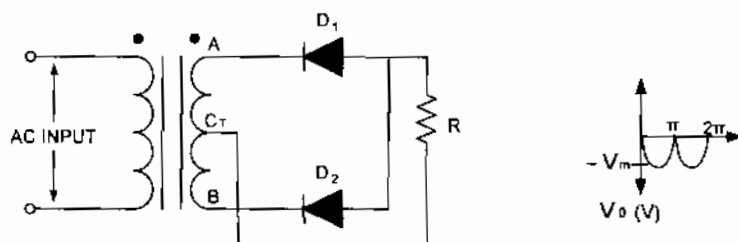
การทำงานของวงจรเรียงกระแสแบบเต็มคลื่นชนิดเข็นเตอร์แท็ป คือ เมื่อมี แรงดันไฟฟ้าสลาบเป็นแรงดันอินพุต (V_{in}) ป้อนเข้าด้วยคุณสมบัติของหม้อแปลง จะเกิดแรงดันไฟฟ้าลับ ขึ้นที่ขั้วบัน และขั้วล่างของชุด漉คทุติยภูมิ โดยที่เข็นเตอร์แท็ปของหม้อแปลงจะมีแรงดันไฟฟ้าเท่ากับ 0 V ดังนั้นแรงดันไฟฟ้าครึ่งหนึ่งจะเกิดที่เข็นเตอร์แท็ปกับขั้วด้านบนของหม้อแปลง และอีกครึ่งหนึ่ง จะเกิดขึ้นที่เข็นเตอร์แท็ปกับขั้วด้านล่างของหม้อแปลง โดยแรงดันไฟฟ้าที่ขั้วด้านบน และขั้วด้านล่าง

จะมีมุมเฟสต่างกัน 180 องศา เมื่อขั้วด้านบนของชด漉ทุติยภูมิมีค่าแรงดันไฟฟ้าเป็นบวก ขั้วล่างจะมีแรงดันไฟฟ้าเป็นลบ โดย偶 D_1 จะได้รับการใบอัสตรง ทำให้กระแสไฟฟ้าสามารถไหลผ่านโหลดไปครบร่วงจรที่เข็นเตอร์แท็ป เกิดแรงดันตกคร่อมที่โหลด R_L มีลักษณะสัญญาณแรงดันไฟฟ้าทางด้านເອົ້າພຸດ เป็นคลื่นรูปไซน์ครົງຄືນด้านบวก และในช่วงเวลาต່ອມາ ขั้วด้านบนของชด漉ทุติยภูมิมีค่าแรงดันไฟฟ้าเป็นลบ ขັ້ວລ່າງມີຄ່າแรงดันไฟฟ้าเป็นบวก โดย偶 D_1 จะได้รับการใบอัสກລັບ ແຕ່ໄດ້ໂດຍ D_2 จะได้รับการใบອັສຕຽງ ເກີດການນຳກະແສ ມີກະແສໄຟຟ້າໄຫລັກ່າໄຫລັກໄດ້ໂດຍ ແລະ ໂຮດ R_L ໄປທີ່ເຂັ້ມຕົວແຕ່ ທຳໄໝເກີດ ແຮດຕັນຕົກຄ່ອມທີ່ໂຮດ R_L ມີລັກຍະສັງຄູານແຮງດັນໄຟຟ້າທາງດ້ານເອົ້າພຸດເປັນຄືນຮູບໄຊນ໌ຄົງຄືນຄືນດ້ານບວກ ແລະ ໃນຊ່ວງເວລາຕ່ອມາ ຂັ້ວດ້ານບນຂອງພິຈາລະນາທີ່ມີຄ່າຮັດຕັນໄຟຟ້າ ເປັນລັບ ຂັ້ວລ່າງມີຄ່າຮັດຕັນໄຟຟ້າເປັນບວກ ໄດ້ໂດຍ D_1 ຈະໄດ້ຮັບການໃບອັສກລັບ ແຕ່ໄດ້ໂດຍ D_2 ຈະໄດ້ຮັບການໃບອັສຕຽງ ເກີດການນຳກະແສ ມີກະແສໄຟຟ້າໄຫລັກ່າໄຫລັກໄດ້ໂດຍ ແລະ ໂຮດ R_L ໄປທີ່ເຂັ້ມຕົວແຕ່ ທຳໄໝເກີດ ແຮດຕັນຕົກຄ່ອມທີ່ໂຮດ R_L ມີລັກຍະສັງຄູານແຮງດັນໄຟຟ້າທາງດ້ານເອົ້າພຸດເປັນຄືນຮູບໄຊນ໌ຄົງຄືນຄືນດ້ານບວກ ດັ່ງກາພປະກອບ 2.1 ແຮດຕັນໄຟຟ້າເລີຍທີ່ໄດ້ສາມາດຄໍານານໄດ້ຈາກ $V_{DC} = 0.636V_p$ ໂດຍ ແຮດຕັນ V_p ເປັນແຮງດັນຄ່າຍອດສູງສຸດສາມາດຄໍານານໄດ້ຈາກ $V_p = 1.414V_{rms}$



ກາພປະກອບ 2.1 ວັຈຮັງກະແສແບບເຕີມຄືນບວກນິດເຂັ້ມຕົວແຕ່

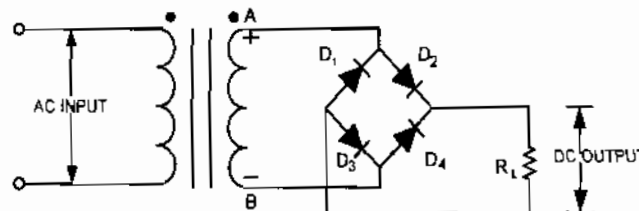
ດ້າວັດຕັນຕົກຄ່ອມທີ່ໄດ້ໂດຍກລັບຂາໄດ້ໂດຍທັງ 2 ຕ້າວ
ດັ່ງກາພປະກອບ 2.2



ກາພປະກອບ 2.2 ວັຈຮັງກະແສແບບເຕີມຄືນລັບນິດເຂັ້ມຕົວແຕ່

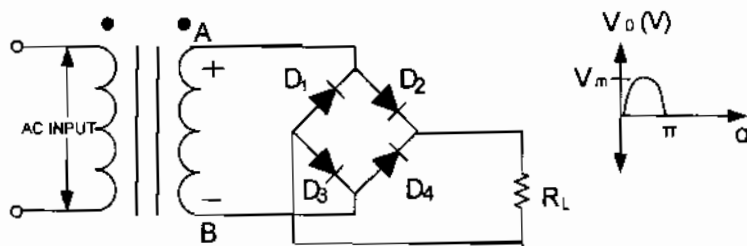
ວັຈຮັງກະແສເຕີມຄືນແບບບຣິດ

ວັຈຮັງກະແສເຕີມຄືນແບບບຣິດຈະຮັບແຮງດັນໄຟຟ້າລັບເຂົ້າທັງສອງຂ້າງອງວັຈຮັງບຣິດຈີ່ ແລະ ເອົ້າພຸດຈະຄຸກຕ່ອອກຈາກສອງຂ້າທີ່ເກືອຂ້າ ດັ່ງກາພປະກອບ 2.3



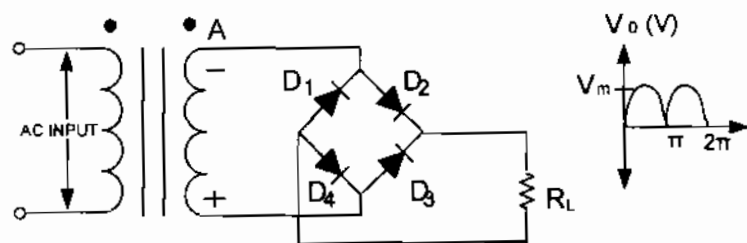
ກາພປະກອບ 2.3 ວັຈຮັງກະແສແບບບຣິດ

จากภาพประกอบ 2.3 ได้โดยจะสลับกันนำกระแสครึ่งคลาบละ 2 ตัว เมื่อแรงดันไฟครึ่งวงกบของไฟฟ้ากระแสสลับ ปรากฏที่ด้านบนขดลวดทุติยภูมิของแม่เหล็กเปลี่ยน ด้านล่างจะเป็นแรงดันไฟลบทำให้ไดโอด D_2 และ D_3 ได้รับการใบอัศตร์มีกระแสไฟไหลผ่านไดโอด D_2 ผ่านโหลด R_L ผ่านไดโอด D_3 ครบร่วมที่แม่เหล็กเปลี่ยนด้านล่าง มีแรงดันตกคร่อมโหลด R_L ได้สัญญาณแรงดันไฟฟ้ากระแสตรงเป็นคลื่นรูปไข่คึ่งวงกบออกทางเอาต์พุต ดังภาพประกอบ 2.4 สำหรับไดโอด D_1 และ D_4 อยู่ในสถานะใบอัศตร์จึงไม่นำกระแส



ภาพประกอบ 2.4 วงจรเรียงกระแสเติมคลื่นแบบบริดจ์เมื่ออินพุตอยู่ในครึ่งคลาบวงกบ

ในช่วงเวลาต่อมาเมื่อแรงดันไฟครึ่งคลาบของไฟฟ้ากระแสสลับ ปรากฏที่ด้านบนขดลวดทุติยภูมิของแม่เหล็กเปลี่ยนทำให้ไดโอด D_2 และ D_3 ได้รับการใบอัศตร์ จึงทำให้ไดโอดไม่นำกระแสและไดโอด D_1 และ D_4 จะถูกใบอัศตร์ ทำให้มีกระแสไฟไหลผ่านไดโอด D_1 ผ่านโหลด R_L และผ่านไดโอด D_4 ครบร่วมที่แม่เหล็กเปลี่ยนด้านล่าง ทำให้เกิดแรงดันตกคร่อมโหลด R_L มีลักษณะของแรงดันไฟฟ้าเป็นคลื่นรูปไข่คึ่งวงกบออกทางเอาต์พุต ซึ่งจะได้สัญญาณไฟฟ้ากระแสตรงแบบเติมคลื่นบวก [1] ดังภาพประกอบ 2.5

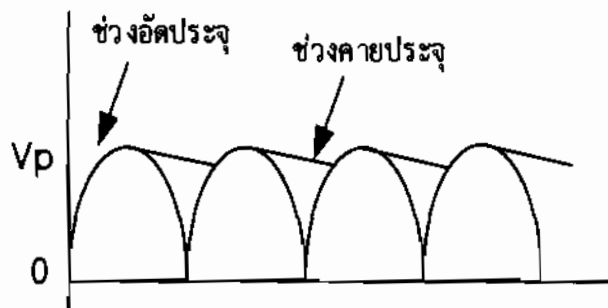


ภาพประกอบ 2.5 วงจรเรียงกระแสเติมคลื่นแบบบริดจ์เมื่ออินพุตอยู่ในครึ่งคลาบ

2.1.2 วงจรกรองแรงดัน

เนื่องจากแรงดันเอาต์พุตที่ได้จากการเรียงกระแสจากหัวขอที่ผ่านมา จะมีการกระแสเพื่อมของแรงดันไฟฟ้า (Ripple) ด้วยความถี่ค่าหนึ่งเรียกว่า ความถี่กระแสเพื่อม ทำให้แรงดันไฟฟ้ากระแสแอลตร์ที่ได้จากการเรียงกระแสมีสมบัติไม่เหมาะสมสมสำหรับจ่ายให้กับวงจร หรืออุปกรณ์อิเล็กทรอนิกส์ ดังนั้น เพื่อลดการกระแสเพื่อมของแรงดันไฟฟ้าจึงต้องกรองแรงดันไฟฟ้าให้เรียบขึ้น โดยวงจรกรองแรงดันที่นิยมคือ วงจรกรองแรงดันโดยใช้ตัวเก็บประจุ ตัวเก็บประจุจะทำหน้าที่อัดประจุในช่วงเวลาที่ไดโอด

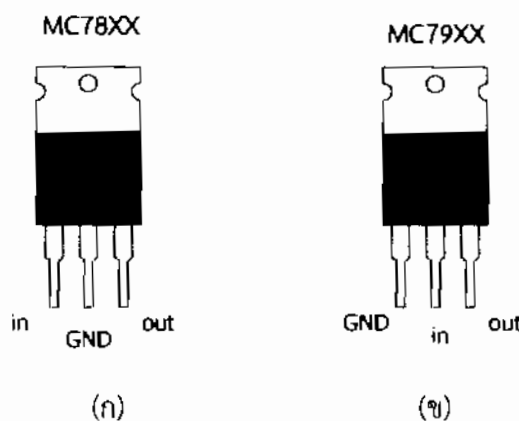
นำกระแส และทำหน้าที่คายประจุผ่านตัวด้านหานโหลดในช่วงเวลาที่ได้ออดไม่นำกระแส การเลือกขนาดของตัวเก็บประจุที่ใช้ในวงจรต้องคำนึงถึงค่าพารามิเตอร์ที่สำคัญ 2 ประการ คือ ระดับแรงดันที่ใช้งานสูงสุดของตัวเก็บประจุจะต้องมีค่ามากกว่าแรงดันไฟฟ้ากระแสตรงที่ได้จากการเรียงกระแสในขณะไม่มีโหลด เพื่อป้องกันไม่ให้ตัวเก็บประจุเสียหาย และค่าความจุของตัวเก็บประจุจะต้องมากพอที่จะทำให้แรงดันไฟฟ้ากระแสตรงมีลักษณะเรียบ และสามารถนำไปใช้งานได้ [2] ลักษณะแรงดันไฟฟ้ากระแสตรงจากการกรองแรงดันด้วยตัวเก็บประจุ แสดงดังภาพประกอบ 2.6



ภาพประกอบ 2.6 แรงดันไฟฟ้ากระแสตรงเมื่อใช้ตัวเก็บประจุกรองแรงดัน

2.1.3 วงจรคงค่าแรงดัน

วงจรคงค่าแรงดันมีหน้าที่รักษาระดับแรงดันไฟฟ้ากระแสตรงให้คงที่ โดยไม่ขึ้นกับการเปลี่ยนแปลงกระแสโหลด (Load Current Variation) โดยอุปกรณ์ที่ใช้คงค่าแรงดัน เช่น ซีเนอเริดิโอด หรือไอซีคงค่าแรงดัน ซึ่งในโครงงานนี้เลือกใช้ไอซีคงค่าแรงดันแบบแรงดันข้ออกคงที่ ในการออกแบบวงจร ลักษณะไอซีคงค่าแรงดันแสดงดังภาพประกอบ 2.7



ภาพประกอบ 2.7 ลักษณะไอซี (g) MC78XX (h) MC79XX

ไอซีคงค่าแรงดันแบบแรงดันข้ออกคงที่

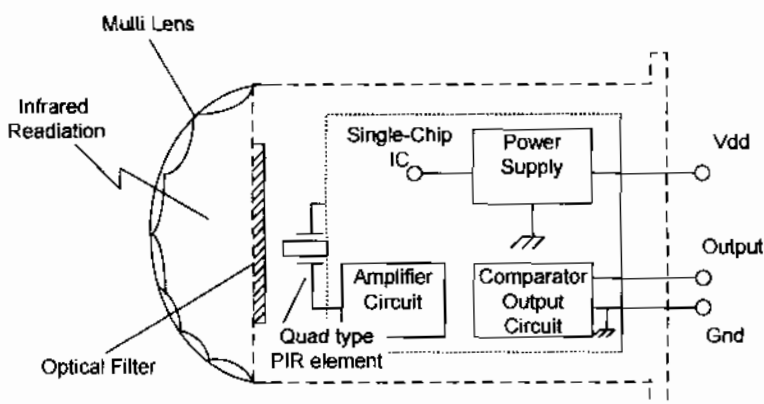
ไอซีคงค่าแรงดันเป็นอุปกรณ์ที่ได้รับความนิยมสำหรับการออกแบบวงจรคงค่าแรงดัน เพราะออกแบบง่าย ราคาถูก ขนาดเล็ก และให้ประสิทธิภาพสูง โดยทั่วไปไอซีคงค่าแรงดันแบ่งออกเป็น 2 ชนิด คือ ไอซีคงค่าแรงดันแบบแรงดันข้ออกคงที่บวก และลบ วิธีการอ่านค่ารหัสของ

ไอซีเรกูเลเตอร์ คือ หมายเลข MC78XX เป็นไอซีคงค่าแรงดันที่ทำหน้าที่คงค่าแรงดันไฟฟ้าบวก และ MC79XX เป็นไอซีคงค่าแรงดันที่ทำหน้าที่คงค่าแรงดันไฟฟ้าลบ โดยมีค่าตามหลัง XX หมายถึง ขนาด แรงดันเอาต์พุตที่กำหนดไว้บนไอซี เช่น MC7805 ทำหน้าที่คงค่าแรงดันไฟฟ้าให้แรงดันเอาต์พุตมีขนาด 5 V ซึ่งผู้ใช้ได้เลือกใช้ไอซีคงค่าแรงดันทั้งแบบข้ออกคงที่บวก และลบ ในการออกแบบวงจร [3]

2.2 อุปกรณ์ตรวจจับการเคลื่อนไหว

สิ่งมีชีวิตไม่ว่าจะเป็นมนุษย์ หรือสัตว์เลื้อยคลานในขณะที่ยังมีชีวิตอยู่ จะมีการแผ่พลังงานความร้อนออกมากจากร่างกายในรูปของการแผ่รังสีอินฟารेडตลอดเวลา โดยจะมีปริมาณมาก หรือน้อยขึ้นกับสภาพของร่างกายในขณะนั้น เมื่อมีการเคลื่อนไหวการแผ่รังสีจะเกิดการเปลี่ยนแปลงตามระดับรังสีอินฟาร์เดตจากมนุษย์ หรือสัตว์เลื้อยคลาน ซึ่งรังสีอินฟาร์เดตจะมีความยาวคลื่นประมาณ 700 นาโนเมตร ถึง 1 มิลลิเมตร

ตัวตรวจจับความเคลื่อนไหวของสิ่งมีชีวิต หรือเรียกว่าโมชันเซ็นเซอร์ (Motion Sensor) ซึ่งโมชันเซ็นเซอร์ที่ได้รับความนิยมนิยมนำมาใช้งานมากที่สุด คือ ตัวตรวจจับแบบอินฟาร์เดต โดยใช้หลักการตรวจจับที่เรียกว่า ไฟโรเล็กทริก ในการตรวจจับการแผ่รังสีแบบอินฟาร์เดต หากระดับของการแผ่รังสีไม่เปลี่ยนแปลง แสดงว่าสิ่งมีชีวิตที่ต้องการตรวจจับนั้นไม่มีการเคลื่อนไหว แต่ถ้าหากมีการเคลื่อนไหวเกิดขึ้น ระดับของการแผ่รังสีอินฟาร์เดตจะเปลี่ยนแปลง จึงเรียกตัวตรวจจับแบบนี้ว่า PIR (Passive - Infrared Sensor) ทั้งนี้ในโครงงานนี้ได้เลือกใช้เซ็นเซอร์ตรวจจับการเคลื่อนไหวชนิดตรวจจับระยะ 10 เมตร มีองค์ประกอบภายในเซ็นเซอร์ดังภาพประกอบ 2.8

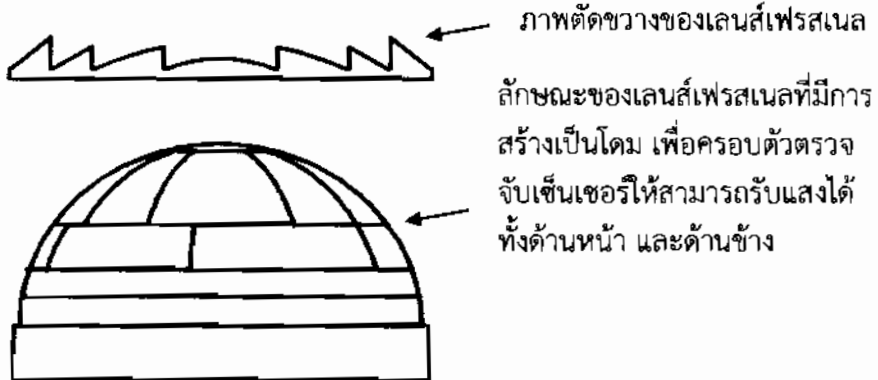


ภาพประกอบ 2.8 องค์ประกอบภายในเซ็นเซอร์ตรวจจับการเคลื่อนไหว

หลักการทำงานพื้นฐานของเซ็นเซอร์ตรวจจับการเคลื่อนไหว คือ เมื่อเซ็นเซอร์ตรวจพบการเคลื่อนไหว และมีการแผ่รังสีอินฟาร์เดตเกิดขึ้น รังสีอินฟาร์เดตจะถูกรวม หรือโฟกัสไปยังเลนส์ เฟรสนิล แล้วส่งสัญญาณไปที่ตัวตรวจจับหลักของเซ็นเซอร์ และส่งสัญญาณไปยังวงจรขยายสัญญาณ แล้วจะทำการเปรียบเทียบสัญญาณภายในเซ็นเซอร์ จากนั้นจะส่งสัญญาณแรงดันเอาต์พุตออกไป

เลนส์เฟรสนอล

เลนส์เฟรสนอลเป็นเลนส์แบบพิเศษที่ ออ古สติน ชองเฟรสนอล (Augustin-Jean Fresnel) เป็นผู้คิดค้น ลักษณะของเลนส์เป็นแบบขั้นบันไดโดยมีไฟแสงผ่านได้มากในทุกทิศทุกทาง โดยมีโครงสร้างดังภาพประกอบ 2.9 เลนส์เฟรสนอลในช่วงแรกได้รับการออกแบบเพื่อนำมาใช้ในการกระจายแสงภายในประภาคร เพื่อให้สามารถมองเห็นประภาครได้จากระยะไกล ต่อมามีการพัฒนาให้มีขนาดเล็กลง และนำมาครอบหลอดไฟเพื่อทำให้ตะเกียงสามารถส่องแสงสว่างได้ และมองเห็นได้จากระยะไกล



ภาพประกอบ 2.9 โครงสร้างและลักษณะของเลนส์เฟรสนอล
(ที่มา: http://issuu.com/innovativeexperiment/docs/tpe_pir)

เมื่อนำเลนส์เฟรสนอลมาใช้ในโมดูลเซ็นเซอร์ตรวจจับการเคลื่อนไหว เลนส์เฟรสนอลจะถูกใช้งานในลักษณะกลับกัน คือ ใช้สำหรับรวมแสงเข้ามาจากทุกทิศทุกทาง เพื่อโฟกัสลงไปยังตัวตรวจจับหลัก ที่ใช้หลักการไฟฟ้าอิเล็กทริกในการเปลี่ยนแปลงความร้อนจากรังสีอินฟารेडให้เป็นสัญญาณทางไฟฟ้า เพื่อให้อุปกรณ์มีความไวสูงในการตรวจจับการเปลี่ยนแปลงของระดับรังสีอินฟารेड [4]

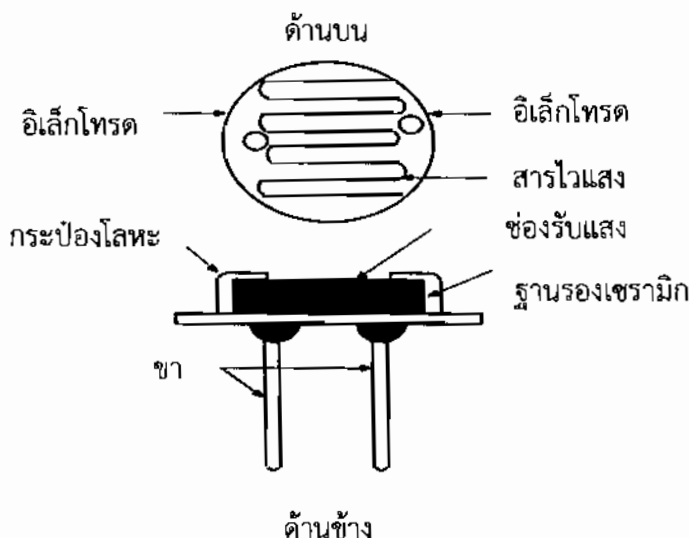
2.3 เช็นเซอร์แสง

เซ็นเซอร์ตรวจจับแสงประกอบด้วยส่วนที่สำคัญ 2 ส่วน คือ ตัวรับแสง และตัวส่งแสง ลักษณะของการตรวจจับแสงเกิดจากการที่ลำแสงจากตัวส่งแสงสะท้อนกับวัตถุ หรือถูกห่วงกันด้วยวัตถุแล้วมีผลทำให้ตัวรับแสงรู้สึกภาวะที่เกิดขึ้น โดยจะเปลี่ยนสภาวะของสัญญาณเอาต์พุตเพื่อนำไปใช้งานซึ่งตัวรับแสงจะทำหน้าที่รับแสง และแปลงเป็นสัญญาณทางไฟฟ้า มีด้วยกันหลายชนิด เช่น ตัวต้านทานในแสง (Light Dependent Resistor: LDR) โพโตไดโอด (Photodiode) และโพโตทรานซิสเตอร์ (Phototransistor) เป็นต้น [5]

2.3.1 ตัวต้านทานในแสง

ตัวต้านทานในแสง คือ ตัวต้านทานที่สภาพการนำไปไฟฟ้าเกิดการเปลี่ยนแปลง เมื่อมีแสงสว่างมากกรอบ ตัวต้านทานชนิดนี้ทำมาจากสารกึ่งตัวนำประเภทแคนเดเมียมซัลไฟด์ (CdS) หรือ

แคมเมียมซีลีโนï (CdSe) ซึ่งสารทั้งสองชนิดเป็นสารกึ่งตัวนำชนิดสารประกอบ (Compound Semiconductor) จากนั้นจะบลอกนเเพ่นเซรามิกที่ใช้เป็นฐานรอง และต่อขาจากสารที่จะบกบข้าไฟฟ้า ถ้ามีแสงสว่างดกกระทบ LDR จะมีจำนวนโคลกับอิเล็กตรอนเพิ่มมากขึ้น เมื่อมีโคลกับอิเล็กตรอนอิสระเพิ่มจำนวนมากขึ้น จะทำให้ความต้านทานของ LDR ลดลง โดยโครงสร้างของ LDR [6] แสดงดังภาพประกอบ 2.10

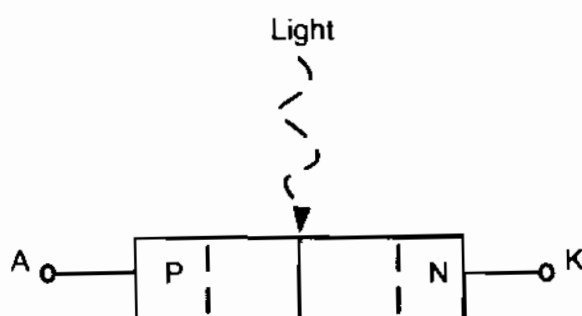


ภาพประกอบ 2.10 โครงสร้างของตัวด้านทานไวแสง

(ที่มา: <http://phchitchai.wbvschool.net/th/หอด煊หมายเหตุ/1116>)

2.3.2 โฟโตไดโอด

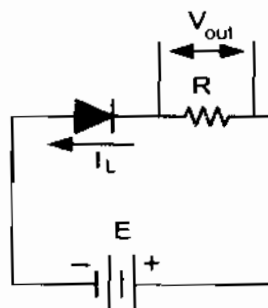
โฟโตไดโอด เป็นอุปกรณ์เชิงแสงชนิดหนึ่งที่ประกอบด้วย สารกึ่งตัวนำชนิดพี (P) และสารกึ่งตัวนำชนิดเอ็น (N) ซึ่งโฟโตไดโอดที่นิยมใช้ คือ PIN โฟโตไดโอด เพราะบริเวณระหว่างชั้นสารพี (P) และสารเอ็น (N) มีการเพิ่มชั้นสารกึ่งตัวนำบริสุทธิ์ (Intrinsic , i) ทำให้มีการตอบสนองต่อแสงได้ดีกว่า PN โฟโตไดโอดปกติ ดังภาพประกอบ 2.11



ภาพประกอบ 2.11 รอยต่อ PN ของโฟโตไดโอด

(ที่มา: <http://phchitchai.wbvschool.net/th/หอด煊หมายเหตุ/1123>)

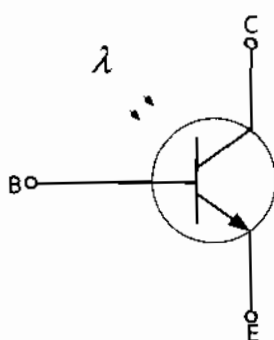
จากภาพประกอบ 2.11 รอยต่อจะถูกห่อหุ้มด้วยวัสดุที่แสงสามารถผ่านได้ เช่น กระจกใส่ โพโตไดโอดในปัจจุบันแบ่งออกเป็น 3 ชนิด คือ ชนิดที่ตอบสนองต่อแสงที่มีนุ่มย์ม่องเห็น ชนิดที่ตอบสนองแสงในย่านอินฟราเรด และชนิดที่ตอบสนองต่อแสงในย่าน UV ใน การใช้งาน โดยปกติจะต่อโพโตไดโอดในลักษณะใบอัศกกลับ สำหรับแรงดันเอาต์พุตเป็นแรงดันที่ต่อกครомตัวต้านทานโหลดที่ต่ออนุกรม กับโพโตไดโอด ดังภาพประกอบ 2.12 โพโตไดโอดจะยอมให้กระแสไหลผ่านได้มากหรือน้อยขึ้นอยู่กับ ปริมาณความเข้มแสง ถ้ามีแรงดันจ่ายให้กับวงจร และมีแสงมาตกระบที่โพโตไดโอด จะทำให้กระแส ไหลในวงจรได้



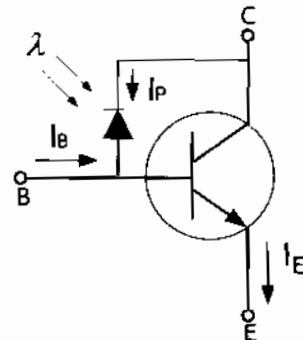
ภาพประกอบ 2.12 วงจรการใบอัศกโพโตไดโอด

2.3.3 โพโตทรานซิสเตอร์

โพโตทรานซิสเตอร์ เป็นอุปกรณ์ที่เกิดจากการเพิ่มรอยต่อ PN เข้าไปในโพโตไดโอด โดยอาศัย หลักการทำงานเหมือนกับโพโตไดโอด แต่มีอัตราการขยายกระแสสูงกว่าโพโตไดโอด เนื่องจากบริเวณ รอยต่อระหว่างขาคอลเลคเตอร์กับเบส ที่มีคุณสมบัติการทำงานเหมือนรอยต่อ PN เมื่อแสงตกกระทบ ย่านปลดพำนะบริเวณรอยต่อ PN ภายในโพโตทรานซิสเตอร์ จะทำให้เกิดการเคลื่อนที่ของอิเล็กตรอน และไฮดロ ผลให้มีกระแสเบสเกิดขึ้นให้เข้าสู่ทรานซิสเตอร์ ซึ่งกระแสเบสจะมีค่ามาก หรือน้อยจะ ขึ้นอยู่กับค่าความเข้มแสง หรือมีอัตราการขยายกระแสขึ้นอยู่กับโครงสร้าง และปริมาณสารเจือภายนอกใน โพโตทรานซิสเตอร์ โพโตทรานซิสเตอร์จึงมีการตอบสนองต่อแสงสูงกว่าโพโตไดโอด สัญลักษณ์ และ วงจรสมมูลของโพโตทรานซิสเตอร์ แสดงดังภาพประกอบ 2.13



(ก)



(ข)

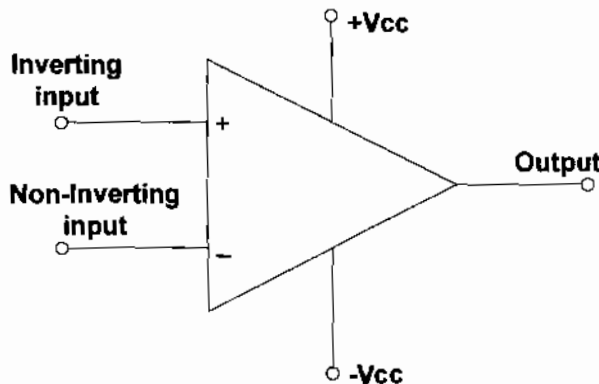
ภาพประกอบ 2.13 (ก) สัญลักษณ์โพโตทรานซิสเตอร์ (ข) วงจรสมมูลโพโตทรานซิสเตอร์

2.4 อุปกรณ์อิเล็กทรอนิกส์

การต่อและการประยุกต์ใช้งานของต่างๆ ในโครงการนี้ จะใช้อุปกรณ์อิเล็กทรอนิกส์ที่สำคัญ ได้แก่ ออปแอมป์ (Operational Amplifier) ทรานซิสเตอร์ (Transistor) รีเลย์ (Relay) และไมโครคอนโทรลเลอร์ (Microcontroller) เป็นต้น

2.4.1 ออปแอมป์

ออปแอมป์ หรือวงจรขยายเชิงเดามีการถูกออกแบบขึ้นเป็นครั้งแรกในปี ค.ศ. 1948 เพื่อช่วยปฏิบัติการด้านคณิตศาสตร์ในเครื่องคอมพิวเตอร์แบบบอนลอก จะมีข้ออินพุต 2 ข้อ และมีข้อเออต์พุต 1 ข้อ ดังภาพประกอบ 2.14 ออปแอมป์เป็นอุปกรณ์ที่นิยมใช้มากในวงจรอิเล็กทรอนิกส์ เช่น วงจรขยายเสียง วงจรกรองความถี่ วงจรเปรียบเทียบ และวงจรขยายสัญญาณ เป็นต้น



ภาพประกอบ 2.14 ลักษณะพื้นฐานของออปแอมป์
(ที่มา: หนังสือคัมภีร์ออกแบบวงจร ICs)

ข้อไฟฟ้าของออปแอมป์ทั่วไปมี 5 ข้อได้แก่

1. Non Inverting (+) เป็นข้ออินพุตไม่กลับเฟล
2. Inverting (-) เป็นข้ออินพุตกลับเฟล
3. Output เป็นข้อเออต์พุต
4. V+ เป็นข้อไฟเลี้ยงขัวบาง
5. V- เป็นข้อไฟเลี้ยงขัวลับ

คุณสมบัติของออปแอมป์ในทางอุดมคติมีดังนี้

1. อัตราการขยายแรงดันสูงมากเข้าใกล้ลิมิต
2. ความต้านทานด้านอินพุต (Input Impedance) สูงมากเข้าใกล้ลิมิต จึงทำให้ไม่มีกระแสไฟหลั่งที่ข้ออินพุตของออปแอมป์
3. ความต้านทานทางด้านเออต์พุต (Output Impedance) เป็นศูนย์
4. ออปแอมป์สามารถตอบสนองต่อความถี่ได้ในช่วงศูนย์ถึงลิมิต (Infinity)
5. มีค่าออฟเซ็ตเป็นศูนย์ เมื่ออินพุตเป็นศูนย์เออต์พุตจะเป็นศูนย์

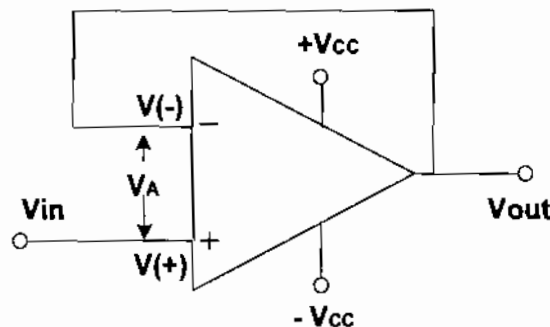
วิธีการใช้งานพื้นฐานของอปแอมป์

1. วงจรขยายแบบไม่กลับเฟส (Non-Inverting Amplifier)
2. วงจรขยายแบบกลับเฟส (Inverting Amplifier)
3. วงจรขยายแบบรวมสัญญาณ (Summing Amplifier)
4. วงจรขยายแบบเปรียบเทียบสัญญาณ (Differential Amplifier)
5. วงจรตามแรงดัน (Voltage Follower)

ซึ่งการใช้งานพื้นฐานของอปแอมป์ที่นำมาใช้ในโครงงานนี้ คือ วงจรตามแรงดัน โดยมีทฤษฎีเกี่ยวกับวงจรดังนี้

วงจรตามแรงดัน

วงจรตามแรงดัน หรือเรียกว่า วงจรบ퍼ฟอร์ (Buffer) หรือวงจรกันชน เป็นวงจรที่ใช้เชื่อมต่อวงจรสองวงจรเข้าด้วยกัน เช่น ระบบไอซีที่ต่างศูนย์กัน หรือทรานซิสเตอร์ที่ความต้านทานไม่แม่เมมที่สูง เมื่อเชื่อมต่อกับวงจรอื่นแล้วจะไม่ทำให้เกิดการโหลดกระแส (Loading Effect) ระหว่างวงจร เนื่องจากวงจรกันชนไม่มีคุณสมบัติในการเป็นวงจรขยาย หรืออัตราขยายเป็น 1 แต่ในทางอุดมคติสามารถจ่ายกระแสได้ถึงอนันต์ ลักษณะการต่อวงจรแสดงดังภาพประกอบ 2.15



ภาพประกอบ 2.15 วงจรกันชน

จากภาพประกอบ 2.15 พบร่วมสัญญาณเอาต์พุตจะถูกป้อนกลับที่ขาอินพุตกลับเฟส โดยอัตราขยายลูปเปิด (A_{OL}) คือ อัตราขยายเมื่อมีการป้อนกลับของสัญญาณ เมื่อใช้สมการการหาแรงดันของเครื่องซอฟฟ์จะได้ตัวสมการ (2.1)

$$V_{in} + V_A = V_{out} \quad (2.1)$$

$$V_{out} = A_{OL} \times V_A \quad (2.2)$$

โดย A_{OL} คือ อัตราขยายลูปเปิด

ดังนั้น $V_A = \frac{V_{out}}{A_{OL}}$ (2.3)

แทนสมการที่ (2.3) ลงในสมการที่ (2.1) จะได้

$$V_{out} = V_m + \frac{V_{out}}{A_{OL}} \quad (2.4)$$

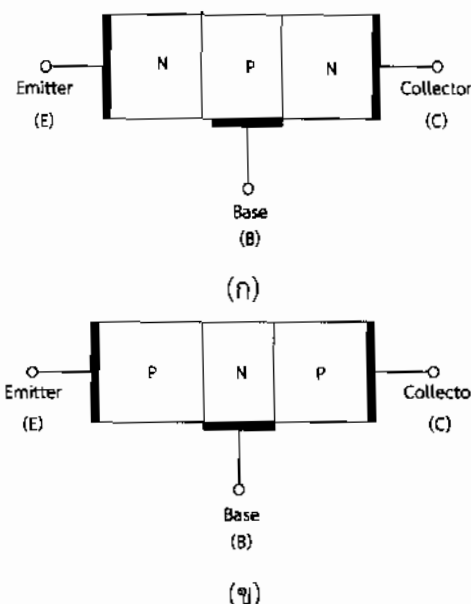
ซึ่งในทางอุตสาหกรรมจะมีค่าสูงมากเป็นอย่างนั้น แต่ในทางปฏิบัติอัตราขยายมีค่า 10,000 ถึง 100,000 เมื่อแรงดันอินพุต V_{in} ที่ป้อนมีค่าเท่ากับ 2 V ค่าของแรงดันเอ้าด์พุตจะเพิ่มขึ้นจนกระทั่งแรงดันที่จุด V_A ซึ่งเป็นแรงดันระหว่างขาอินพุต มีค่าเท่ากับ 0 V ทำให้ค่าแรงดันทางเอ้าด์พุตจะมีค่าเท่ากับแรงดันทางด้านอินพุต

$$V_m \approx V_{out} \quad (2.5)$$

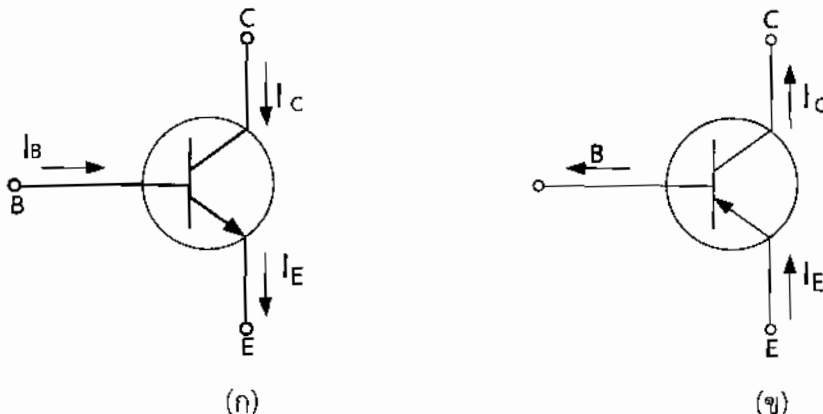
ซึ่งในโครงงานนี้ได้นำวิธีการกันชนไปออกแบบวงจรเชิงเร็วตรวจสอบจับการเคลื่อนไหวเพื่อลดการโหลดกระแสของเครื่องมือวัด และเพื่อให้สามารถส่งสัญญาณได้เต็มประสิทธิภาพ

2.4.2 ทรานซิสเตอร์

ทรานซิสเตอร์เป็นอุปกรณ์สารกึ่งตัวนำที่สามารถควบคุมการไหลของอิเล็กตรอนได้ โดยนำไปใช้ในวงจรต่างๆ เช่น วงจรขยายสัญญาณไฟฟ้า สวิตช์เปิดปิดสัญญาณไฟฟ้า และควบคุมแรงดันไฟฟ้าให้คงที่ เป็นต้น โครงสร้างของทรานซิสเตอร์จะมีรอยต่อของสารกึ่งตัวนำ PN จำนวน 2 รอยต่อ เรียกว่าทรานซิสเตอร์รอยต่อไปโพลาร์ (Bipolar Junction Transistor, BJT) ทรานซิสเตอร์ชนิดนี้สามารถแบ่งตามโครงสร้างได้ 2 ประเภท คือ ทรานซิสเตอร์แบบ NPN และทรานซิสเตอร์แบบ PNP ดังภาพประกอบ 2.16 และ 2.17 ตามลำดับ



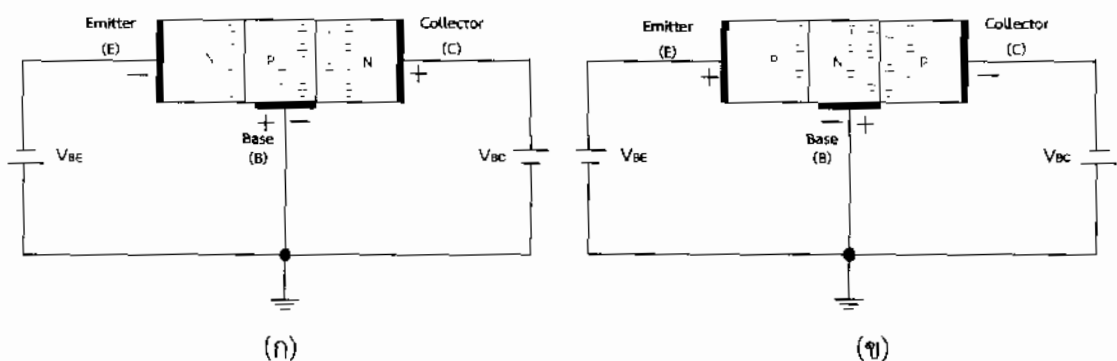
ภาพประกอบ 2.16 (g) โครงสร้างทรานซิสเตอร์ชนิด NPN (x) โครงสร้างทรานซิสเตอร์ชนิด PNP



ภาพประกอบ 2.17 (ก) สัญลักษณ์ทรายชิสเตอร์ชนิด NPN (ข) สัญลักษณ์ทรายชิสเตอร์ชนิด PNP

การทำงานของทรายชิสเตอร์

ทรายชิสเตอร์ชนิด NPN และชนิด PNP เมื่อนำไปใช้งานในโหมดขยายสัญญาณ จะต้องทำการใบอัสให้ทรายชิสเตอร์ทำงาน โดยใช้หลักการใบอัสแรงดันไฟฟ้า คือ ใบอัสตรงให้รอยต่อระหว่างอัมิตเตอร์ (Emitter) กับเบส (Base) และใบอัสกลับให้รอยต่อระหว่างคอลเลคเตอร์กับเบส ดังภาพประกอบ 2.18



ภาพประกอบ 2.18 การใบอัสทรายชิสเตอร์ (ก) วงจรใบอัสทรายชิสเตอร์ชนิด NPN (ข) วงจรใบอัสทรายชิสเตอร์ชนิด PNP

จากภาพประกอบ 2.18 เป็นการใบอัสให้ทรายชิสเตอร์ทำงาน ซึ่งในโครงงานนี้ผู้จัดเลือกใช้ ทรายชิสเตอร์ชนิด NPN ในการออกแบบวงจร จึงจะกล่าวถึงเพียงแค่การใบอัสทรายชิสเตอร์ชนิด NPN เมื่อใบอัสตรงให้กับทรายชิสเตอร์ NPN จะทำให้บริเวณปลดพากห์ที่รอยต่อเบส-อัมิตเตอร์ (B-E) แอบลง และที่รอยต่อเบส-คอลเลคเตอร์ (B-C) จะถูกใบอัสกลับ ทำให้บริเวณปลดพากห์ที่รอยต่อ B-C มีความกว้างมากขึ้น จึงเกิดกระแสไฟฟ้าข้ามรอยต่อ B-E กระแสนี้เรียกว่ากระแสเบส (I_B) เมื่อมีการฉีดไฟจากขั้วเบสเข้าไปยังขั้วเบส อิเล็กตรอนอิสระจำนวนมากจะหลุดจากขั้วอัมิตเตอร์ เข้ามาในขั้วเบส จากนั้นนำไฟฟ้าในย่านปลดพากห์ จะพัดพาอิเล็กตรอนข้ามชั้นเบสไปยังขั้วคอลเลคเตอร์ ทำให้เกิด

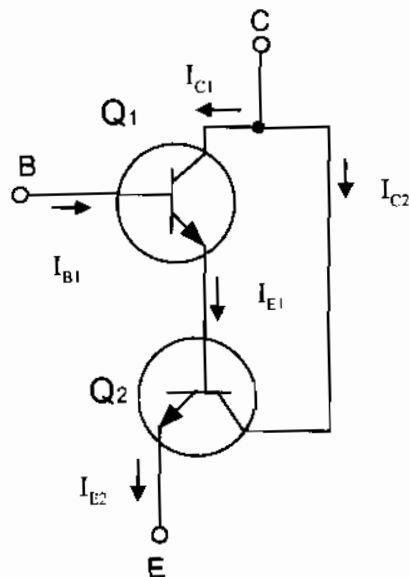
กระแสคอลเลคเตอร์ (I_C) ให้เป็นจำนวนมาก เมื่อมาร่วมกับกระแสเบส จะเกิดกระแสอิมิตเตอร์ (I_E) ดังสมการ (2.6)

$$I_E = I_C + I_B \quad (2.6)$$

การใบอัลตรานชิสเตอร์จะมีย่านการทำงานอยู่ 3 ย่าน คือ ย่านคัตออฟ (Cut - Off Region) ย่านแอกทิฟ (Active Region) และย่านอิมิตเตอร์ (Saturation Region) ซึ่งแต่ละย่านการทำงานของทรานซิสเตอร์จะขึ้นอยู่กับการใบอัลตรานชิสเตอร์ให้กับร้อยต่อของทรานซิสเตอร์

2.4.3 ทรานซิสเตอร์แบบดาร์ลิงตัน (Darlington Transistor)

ทรานซิสเตอร์แบบดาร์ลิงตัน คือ ทรานซิสเตอร์ 2 ตัว ต่อร่วมกัน โดยขาอิมิตเตอร์ของทรานซิสเตอร์ตัวที่หนึ่งจะต่อเข้ากับขาเบสของตัวถัดไป ดังภาพประกอบ 2.19



ภาพประกอบ 2.19 การต่อทรานซิสเตอร์แบบดาร์ลิงตัน

จากภาพประกอบ 2.19 กระแสคอลเลคเตอร์ของทรานซิสเตอร์สามารถหาได้จากสมการ (2.7)

$$I_C = I_B \beta \quad (2.7)$$

ดังนั้นกระแสคอลเลคเตอร์ของวงจรขยายดาร์ลิงตันจึงเท่ากับ

$$I_C = I_{C1} + I_{C2} \quad (2.8)$$

เมื่อ I_C คือ กระแสคอลเลคเตอร์ของวงจรขยายดาร์ลิงตัน

แทนค่า I_C ของทรานซิสเตอร์ Q_1 และ Q_2 ลงในสมการที่ (2.8) จะได้

$$I_C = I_{B1}\beta_1 + I_{B2}\beta_2 \quad (2.9)$$

โดยที่ I_{B1} เท่ากับ I_{B2} ของทรานซิสเตอร์ Q₁
ฉะนั้น

$$I_{B2} = I_{B1}(\beta_1 + 1) \quad (2.10)$$

แทนค่าสมการที่ (2.10) ลงในสมการที่ (2.9) จะได้

$$I_C = I_{B1}\beta_1 + I_{B1}(\beta_1 + 1)\beta_2$$

$$I_C = I_{B1}(\beta_1 + \beta_1\beta_2 + \beta_2)$$

$$\frac{I_C}{I_{B1}} = \beta_1 + \beta_2 + \beta_1\beta_2 \quad (2.11)$$

โดยที่ $\beta_1 > \beta_2 \gg 1$ จะได้

$$\beta_1\beta_2 \gg \beta_1 + \beta_2 \quad (2.12)$$

ดังนั้น

$$\frac{I_C}{I_{B1}} \approx \beta_1 \times \beta_2 \quad (2.13)$$

และ

$$\beta_{Darlington} \approx \beta_1 \times \beta_2 \quad (2.13)$$

ทั้งนี้ทรานซิสเตอร์แบบดาร์ลิงตันจะทำงานคล้ายกับทรานซิสเตอร์ 1 ตัว อัตราการขยายกระแสรวมของทรานซิสเตอร์แบบดาร์ลิงตัน มีค่าประมาณเท่ากับผลคูณของอัตราขยายกระแสของทรานซิสเตอร์แต่ละตัว และสำหรับแรงดันเบส-อเมิตเตอร์ ของทรานซิสเตอร์แบบดาร์ลิงตัน จะมีค่าเท่ากับผลรวมแรงดันต่อกครัวร์โอมขาเบส และอเมิตเตอร์ของทรานซิสเตอร์ทั้ง 2 ตัว ดังสมการ (2.14)

$$V_{BE} = V_{BE1} + V_{BE2} \quad (2.14)$$

การทำงานของคุณลักษณะนี้จะต้องมีแรงดันอินพุตประมาณ 0.6 V ต่อกครัวร์โอมรอยต่อเบส -

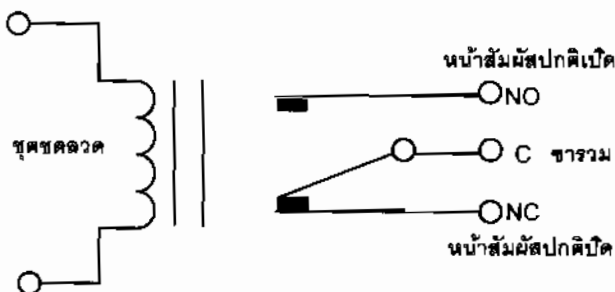
อิมิตเตอร์ ของทรานซิสเตอร์ Q_1 เพื่อขับให้ทรานซิสเตอร์ Q_1 ทำงาน และต้องมีแรงดันอินพุตประมาณ 0.6 V สำหรับใช้เป็นแรงดันอินพุตของทรานซิสเตอร์ Q_2 เพื่อขับให้ทรานซิสเตอร์ Q_2 ทำงาน ตั้งนี้น แรงดันอินพุตจะต้องมีค่ามากกว่า 1.2 V จึงจะทำให้ทรานซิสเตอร์แบบการลิงตันนำร่องได้ ทั้งนี้ใน โครงการนี้เลือกใช้วงจราร์ลิงตันเพื่อทำหน้าที่ขับรีเลย์ เนื่องจากวงจรนี้ต้องการกระแสเบส强大ในการขับ รีเลย์ [9]

2.4.4 รีเลย์

รีเลย์ คือ อุปกรณ์อิเล็กทรอนิกส์ที่ทำหน้าที่เป็นสวิตช์ตัดต่อวงจรไฟฟ้าแบบเดียวกับสวิตช์ จะทำงานโดยอาศัยการจ่ายพลังงานไฟฟ้าให้กับรีเลย์ รีเลย์แบ่งได้หลายประเภท เช่น รีเลย์ขนาดเล็ก ที่ ใช้ในงานอิเล็กทรอนิกส์ และรีเลย์ขนาดใหญ่ที่ใช้ในงานทางไฟฟ้ากำลัง ซึ่งมีลักษณะโครงสร้างแตกต่าง กัน แต่หลักการทำงานจะคล้ายกัน ในโครงการนี้เลือกใช้รีเลย์แบบ 5 ขา 12 V สำหรับเป็นสวิตช์เปิดปิด ไฟฟ้า ตั้งภาพประกอบ 2.20 โดยรีเลย์สามารถแบ่งตามลักษณะการใช้งานได้เป็น 2 ประเภท

1. รีเลย์กำลัง (Power Relay) หรือคอนแทกเตอร์ (Contactor) ใช้ในการควบคุมไฟฟ้ากำลัง ที่มีขนาดใหญ่กว่ารีเลย์ธรรมดา

2. รีเลย์ควบคุม (Control Relay) มีขนาดเล็กกำลังไฟฟ้าต่ำ ใช้ในวงจรควบคุมทั่วไปที่มีกำลัง ไฟฟ้าต่ำ



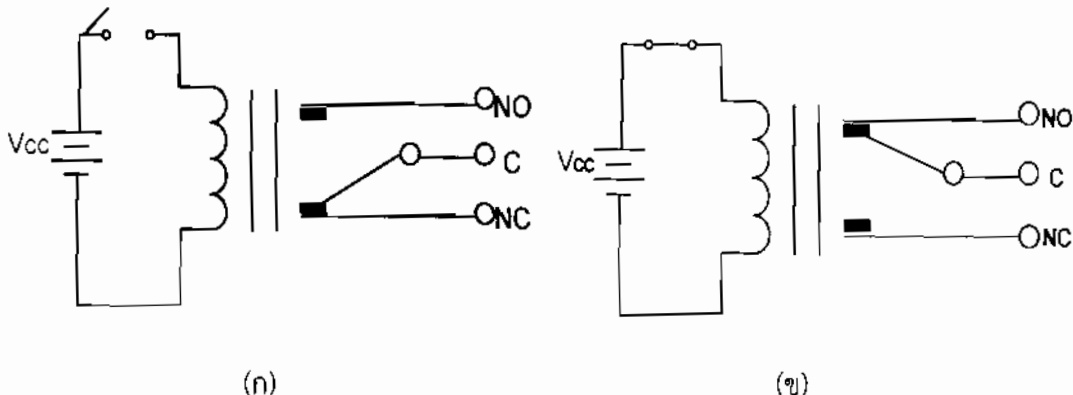
ภาพประกอบ 2.20 แผนภาพแสดงโครงสร้างทางกายภาพของรีเลย์

(ที่มา: หนังสืออิเล็กทรอนิกส์สำหรับผู้เริ่มต้น)

โครงสร้างและหลักการทำงานของรีเลย์

โครงสร้างของรีเลย์ประกอบไปด้วยขดลวดเหนี่ยวนำ (Coil) และหัวสัมผัส (Contact) ซึ่งหัวสัมผัส 1 ชุด จะประกอบไปด้วยหัวสัมผัสปกติเปิด (Normally opened : NO) หัวสัมผัสปกติปิด (Normally Closed : NC) และหัวสัมผัสร่วม (Common : C) โดยหัวสัมผัส NC จะต่ออยู่กับหัวสัมผัสร่วม (Common : C) มีหลักการทำงานดังนี้ เมื่ออยู่ในสภาพปกติ คือ มีกระแสไฟฟ้ามาขับรีเลย์ จะทำให้เกิดสนามแม่เหล็กที่ขดลวดของรีเลย์ เหนี่ยวนำให้หัวสัมผัส C มาต่อกับ หัวสัมผัส NO ซึ่งในสภาพนี้จะทำให้วงจรที่ต่อที่หัวสัมผัส C ต่อกับวงจรที่ต่อ กับหัวสัมผัส NO และ

เมื่อไม่มีกระแสไฟฟ้ามาขับรีเลย์ หน้าสัมผัส C จะมาต่ออยู่กับหน้าสัมผัส NC ทำให้วงจรที่ต่อหน้าสัมผัส C ต่อกับวงจรที่ต่อ กับหน้าสัมผัส NC สามารถในการทำงานของรีเลย์ แสดงดังภาพประกอบ 2.21



ภาพประกอบ 2.21 สามารถในการทำงานของรีเลย์ (g) สามารถที่หน้าสัมผัส C ต่อกับหน้าสัมผัส NC (x) สามารถที่หน้าสัมผัส C ต่อกับหน้าสัมผัส NO

ข้อคำนึงในการใช้งานรีเลย์ทั่วไป

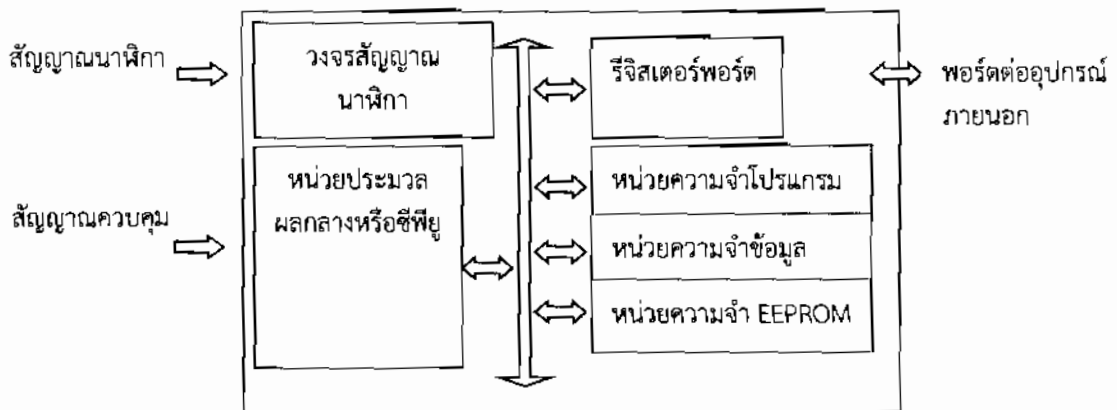
- แรงดันใช้งาน หรือแรงดันที่ทำให้รีเลย์ทำงานได้ โดยปกติที่ตัวรีเลย์จะมีการระบุค่า แรงดันใช้งานที่เหมาะสม เช่น 12 V_{DC} คือ ต้องใช้แรงดันขนาด 12 V_{DC} หากใช้สูงกว่าค่าที่กำหนดจะทำให้ทดลองภายในตัวรีเลย์เสียหาย หรือหากใช้แรงดันต่ำกว่าค่าที่กำหนดรีเลย์อาจจะไม่ทำงาน
- ปริมาณกระแสผ่านหน้าสัมผัสที่ตัวรีเลย์จะระบุไว้ เช่น 10 A 220 V_{rms} แสดงว่า หน้าสัมผัสของรีเลย์สามารถทนกระแสได้ 10 A ที่ 220 V_{rms} และในการใช้งานควรใช้ที่ระดับค่ากระแสต่ำกว่าที่กำหนด เนื่องจากถ้ามีกระแสมากจะทำให้หน้าสัมผัสของรีเลย์เสียหายได้
- พิจารณาจำนวนหน้าสัมผัสในการใช้งานให้เหมาะสมกับลักษณะงาน [11]

2.4.5 ไมโครคอนโทรลเลอร์

ไมโครคอนโทรลเลอร์ คือ อุปกรณ์อิเล็กทรอนิกส์ประมวลผลอย่างหนึ่ง ที่ทำหน้าที่ประมวลผล ตามโปรแกรม หรือชุดคำสั่ง มีโครงสร้างภายในที่ประกอบไปด้วย หน่วยคำนวณทางคณิตศาสตร์ ล็อกิก บัส พอร์ต รีจิสเตอร์ หน่วยความจำ วงจรรับ และวงจรจับเวลา ที่รวมกันอยู่ภายในชิปเดียวกัน ซึ่งชิปตัวนี้จะอยู่ภายในไมโครคอนโทรลเลอร์ ไมโครคอนโทรลเลอร์จะมีลักษณะคล้ายไมโครโปรเซสเซอร์ คือ อุปกรณ์ที่ทำงานคล้ายกับหน่วยประมวลผลกลาง (Central Processing Unit : CPU) ที่ใช้ในคอมพิวเตอร์ แต่ไมโครคอนโทรลเลอร์มีส่วนของการเชื่อมต่อกับอุปกรณ์ภายนอก และเหมาะสมกับงานควบคุมวงจรอิเล็กทรอนิกส์ โดยไมโครคอนโทรลเลอร์ที่ใช้ในโครงงานนี้ คือ ไมโครคอนโทรลเลอร์ระดับ PIC เบอร์ PIC16F627A ซึ่งมีราคาถูก และสามารถเขียนโปรแกรมข้อมูลด้วยภาษาซี ซึ่งเป็นภาษาที่สะดวกในการเขียนโปรแกรมคำสั่งที่ซับซ้อน

โครงสร้างของไมโครคอนโทรลเลอร์

โครงสร้างเบื้องต้นของไมโครคอนโทรลเลอร์ แสดงดังภาพประกอบ 2.22 มีส่วนประกอบหลายส่วนด้วยกัน ซึ่งในการทำงานของส่วนประกอบภายในไมโครคอนโทรลเลอร์ สามารถอธิบายได้ดังต่อไปนี้



ภาพประกอบ 2.22 โครงสร้างเบื้องต้นของไมโครคอนโทรลเลอร์ PIC16F628

1. หน่วยประมวลผลกลางหรือชีพียู

เป็นส่วนประกอบที่มีความสามารถสำคัญมากที่สุดของไมโครคอนโทรลเลอร์ เพราะทำหน้าที่ประมวลผลข้อมูลที่ทำงานภายใต้การควบคุมของโปรแกรม หรือชุดคำสั่งของผู้ใช้งาน สำหรับหน่วยประมวลผลกลางประกอบด้วยส่วนสำคัญ 3 ส่วน คือ หน่วยคำนวณและตรรกะ (Arithmetic And Logical Unit : ALU) หน่วยควบคุม (Control Unit) และหน่วยความจำหลัก (Main Memory)

2. หน่วยความจำ (Memory)

หน่วยความจำสามารถแบ่งออกเป็น 2 ส่วน คือ หน่วยความจำโปรแกรม (Program Memory) ทำหน้าที่เก็บข้อมูลเพื่อส่งให้กับชีพียู โดยข้อมูลที่เก็บไว้จะไม่สูญหายแม้ในขณะที่ไม่เจ้ายไฟเลี้ยง และหน่วยความจำข้อมูล (Data Memory) เป็นหน่วยความจำข้อมูลแบบชั่วคราวซึ่งข้อมูลสามารถเปลี่ยนแปลงได้ และถูกใช้เป็นข้อมูลในการเก็บค่าตัวแปรในการคำนวณ โดยข้อมูลประเภทนี้จะสูญหายเมื่อไม่เจ้ายไฟเลี้ยงให้ไมโครคอนโทรลเลอร์

3. หน่วยความจำข้อมูลอีพรอม (EEPROM: Erasable Electrically Read-Only-Memory)

เป็นหน่วยความจำในไมโครคอนโทรลเลอร์ ทำหน้าที่เก็บข้อมูลไว้แม้ไม่ได้เจ้ายไฟเลี้ยงให้ไมโครคอนโทรลเลอร์ โดยสามารถแก้ไข ลบข้อมูล หรือเขียนเข้าข้อมูลที่บรรจุอยู่ภายในได้โดยใช้สนาโพลฟ์

4. รีจิสเตอร์พอร์ต (Register Port)

เป็นหน่วยความจำพิเศษสามารถอ่านเขียนได้ ทำหน้าที่เก็บข้อมูลระหว่างการทำงาน และแสดงสถานะการทำงานของไมโครคอนโทรลเลอร์

5. วงจรกำเนิดสัญญาณนาฬิกา

เป็นส่วนสำคัญในการทำงานของไมโครคอนโทรลเลอร์ เนื่องจากการทำงานของไมโครคอนโทรลเลอร์จะขึ้นอยู่กับการกำหนดจังหวะเวลา หากสัญญาณนาฬิกามีความถี่สูง จังหวะในการทำงานจะมีความเร็วมากขึ้น ส่งผลให้ไมโครคอนโทรลเลอร์มีความเร็วในการประมวลผลสูงขึ้นตามไปด้วย โดยวงจรกำเนิดสัญญาณนาฬิกาจะมีอยู่ภายในไมโครคอนโทรลเลอร์ หรือสามารถสร้างสัญญาณจากภายนอกได้

6. พอร์ต

พอร์ตเป็นอุปกรณ์ที่เชื่อมต่อไมโครคอนโทรลเลอร์กับอุปกรณ์ภายนอก สามารถแบ่งได้ 2 ลักษณะ คือ พอร์ตรับสัญญาณ หรือพอร์ตอินพุต (Input Port) และพอร์ตส่งสัญญาณหรือพอร์ตเอาต์พุต (Output Port) เป็นส่วนประกอบที่สำคัญ ที่ทำให้ไมโครคอนโทรลเลอร์สามารถรับข้อมูลจากภายนอก และสามารถตอบสนอง หรือแสดงผลได้ตามที่ต้องการ [12]

ประเภทของไมโครคอนโทรลเลอร์

ไมโครคอนโทรลเลอร์มี 2 ประเภท คือ ประเภท RISC (Reduced Instruction Set Computer) และประเภท CISC (Complex Instruction Set Computer) ซึ่งแต่ละประเภทจะมีการทำงาน และโครงสร้างภายในที่แตกต่างกัน

1. ไมโครคอนโทรลเลอร์แบบ RISC

ไมโครคอนโทรลเลอร์แบบ RISC ยกตัวอย่างเช่น ตระกูล PIC ของบริษัทไมโครชิพ เป็นต้น มีโครงสร้างการทำงานที่มีจำนวนชุดคำสั่งน้อย และแต่ละคำสั่งจะทำงานแบบง่ายๆ แต่ความเร็วในการทำงานแต่ละคำสั่งสูง

2. ไมโครคอนโทรลเลอร์แบบ CISC

ไมโครคอนโทรลเลอร์แบบ CISC ยกตัวอย่าง เช่น ตระกูล 68HC ของบริษัทโมโต - โรล่า มีโครงสร้างการทำงานภายใต้ชุดคำสั่งที่มากกว่าแบบ RISC ซึ่งแต่ละคำสั่งสามารถทำงานที่ซับซ้อนได้โดยใช้เพียงคำสั่งเดียว แต่ความเร็วในการทำงานของไมโครคอนโทรลเลอร์แบบ CISC จะช้า เมื่อเทียบกับความเร็วในการทำงาน 1 คำสั่งของไมโครคอนโทรลเลอร์แบบ RISC [13]

2.5 งานวิจัยที่เกี่ยวข้อง

ในประเทศไทย

งานวิจัยในประเทศไทยได้มีการออกแบบระบบควบคุมแสงสว่างเพื่อความสะดวก และเพื่อลดการใช้พลังงาน เช่น การออกแบบระบบเปิดปิดไฟในห้อง จากการนับคนเข้าออกผ่านวงจรนับโดยทำการนับคนเข้าห้อง และออกจากห้อง เมื่อมีคนเข้าห้องระบบจะทำการเปิดไฟ และเครื่องปรับอากาศ เมื่อจำนวนคนเข้าห้องเท่ากับจำนวนคนออกจากห้อง ระบบจะทำการปิดไฟฟ้าแบบอัตโนมัติทั้งหลอดไฟ และเครื่องปรับอากาศ [14] งานวิจัยการออกแบบสวิตช์แสง (Photo - Cell Switch) ซึ่งเป็น

อุปกรณ์ที่ใช้ในการควบคุมการเปิดปิดไฟฟ้าอัตโนมัติ เพื่อเป็นการช่วยแก้ปัญหาการเปิดไฟฟ้าทึ้งไว้ในเวลากลางวัน หรือในขณะที่ไม่มีคนอยู่บ้าน โดยอาศัยการวัดระดับปริมาณแสงแผลด [15] งานวิจัยการออกแบบโคมไฟอัตโนมัติที่สามารถประยัดพลังงานได้มากกว่าแบบที่ใช้อุปกรณ์ปัจจุบัน การสร้างโคมไฟแบบอัตโนมัติจะใช้หลอด LED ซึ่งมีแนวทางการศึกษาที่ประกอบไปด้วย การศึกษาคุณสมบัติของหลอด LED การศึกษาของควบคุมหลอด LED การออกแบบการสร้างโคมไฟหลอด LED ให้ได้ความสว่างมากกว่า 300 lux และการออกแบบของควบคุมให้โคมไฟสามารถปิดเปิดไฟแบบอัตโนมัติ เพื่อให้โคมไฟนี้สามารถประยัดพลังงานได้ [16] และงานวิจัยเพื่อพัฒนาระบบเปิดปิดไฟแบบอัตโนมัตินำใช้ในทางนี้ไฟ โดยปกติระบบแสงสว่างของทางหนี้ไฟต้องเปิดหลอดไฟทึ้งไว้ตลอดเวลา ซึ่งเป็นการสูญเสียพลังงานโดยเปล่าประโยชน์ หลักการทำงานของระบบที่พัฒนา คือ ระบบไฟส่องสว่างจะถูกปิดไว้เพื่อประหยัดพลังงานเมื่อไม่มีการเข้าถึงทางหนี้ไฟ เมื่อมีการเข้าถึงทางหนี้ไฟ จุดใดๆ ระบบจะทำงานโดยอัตโนมัติโดยเปิดไฟทุกจุดที่ติดตั้งไว้เพื่อความปลอดภัย [17]

ต่างประเทศ

งานวิจัยในต่างประเทศจำนวนมากได้ทำการศึกษา และพัฒนาระบบควบคุมแสงสว่างแบบอัตโนมัติ เพื่อลดการใช้พลังงาน และเพื่อช่วยประหยัดค่าใช้จ่าย เช่น การออกแบบโมดูลในการควบคุมแสงสว่างภายในบ้าน (Home Light Control Module, HLCM) โดยติดตั้งอุปกรณ์เชื่อมต่อเข้ากับหลอดไฟทุกหลอดภายในบ้าน ระบบ HLCM ประกอบด้วย 4 ส่วน คือ วงจร PIR เซ็นเซอร์ วงจรเซ็นเซอร์วัดแสง โมดูล RF และไมโครคอนโทรลเลอร์ ซึ่ง HLCM จะใช้ PIR เซ็นเซอร์ ในการตรวจจับการเคลื่อนไหวของมนุษย์ ที่เข้ามาในพื้นที่การตรวจสอบ ไฟฟ้าจะถูกปิดเมื่อตรวจพบว่า ไม่มีการเคลื่อนไหวแต่เมื่อมีการตรวจพบความเคลื่อนไหว ระบบ HLCM จะตรวจจับความเข้มแสงภายในห้อง โดยการควบคุมจำนวนหลอดไฟฟ้า โดยใช้ RF โมดูล เพื่อรับส่งข้อมูลระหว่างระบบ HLCM และส่วนควบคุมหลอดไฟด้วยระบบไร้สาย ทำให้สามารถควบคุมความแตกต่างของแสงในแต่ละบริเวณได้ จากผลการทดสอบพบว่าการใช้ระบบ HLCM สามารถช่วยลดความสั้นเบล็อกของพลังงานได้ [18]

งานวิจัยการออกแบบเพื่อนำเสนอแนวทางในการลดการใช้พลังงาน ของวงจรควบคุมการเปิดปิดไฟฟ้า โดยใช้ PIR เซ็นเซอร์ ซึ่งโดยปกติทั่วไปแล้วสภาวะการเดรียมพร้อมของวงจรควบคุมการเปิดปิดไฟจะใช้พลังงานไฟฟ้าประมาณ 1-3 วัตต์ แต่สำหรับวงจรที่ได้มีการออกแบบในงานวิจัยนี้จะใช้พลังงานไฟฟ้าประมาณ 0.004 วัตต์ สามารถติดตั้งได้ง่าย และต้นทุนในการผลิตต่ำ วงจรที่มีการออกแบบในงานวิจัยนี้จะจ่ายไฟให้กับหลอดไฟ เมื่อตรวจพบว่ามีการเคลื่อนไหวเกิดขึ้น โดยหยุดจ่ายไฟให้กับหลอดไฟเมื่อไม่มีการเคลื่อนไหว และจะหยุดจ่ายพลังงานไฟฟ้าให้กับวงจร เพื่อลดพลังงานในสภาวะเดรียมพร้อม การตรวจสอบการเคลื่อนไหวของสิ่งต่างๆ ที่อยู่ในบริเวณรอบๆ เซ็นเซอร์จะถูกควบคุมด้วยไมโครคอนโทรลเลอร์ โดยใช้สัญญาณประมวลผลในการควบคุมการเปิดปิดสวิตช์ไฟฟ้า [19]

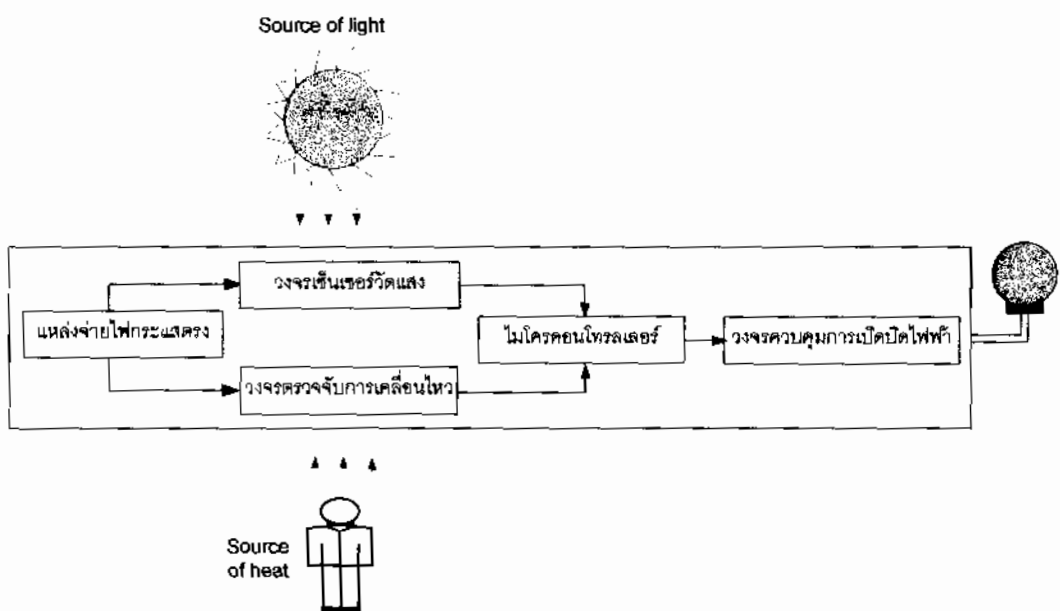
บทที่ 3

วิธีดำเนินการวิจัย

จากปัญหาทางด้านพลังงาน ผู้วิจัยได้มีแนวคิดที่จะพัฒนาระบบเปิดปิดไฟฟ้าแบบอัตโนมัติ เพื่อลดการใช้พลังงานตลอดจนเป็นการบริหารจัดการพลังงาน โดยลักษณะการทำงานของระบบเปิดปิดไฟฟ้าแบบอัตโนมัติสามารถอธิบายได้ดังนี้ คือ เช่นเชอร์ตรวจจับการเคลื่อนไหวจะทำการตรวจสอบว่ามีการเคลื่อนไหว เมื่อพบว่ามีการเคลื่อนไหว เช่นเชอร์จะส่งสัญญาณไปยังไมโครคอนโทรลเลอร์ เพื่อทำการประมวลผล และในขณะเดียวกันเช่นเชอร์แสงจะทำการตรวจวัดค่าความเข้มแสง เพื่อตรวจวัดค่าความเข้มแสงว่าอยู่ในระดับที่เพียงพอต่อความต้องการหรือไม่ หากนั้นเช่นเชอร์แสงจะส่งสัญญาณไปยังไมโครคอนโทรลเลอร์เพื่อทำการประมวลผลเช่นเดียวกัน หากไมโครคอนโทรลเลอร์ได้รับสัญญาณว่ามีการเคลื่อนไหว และมีแสงสว่างไม่เพียงพอ ระบบจะส่งการให้ไฟเปิด และหากตรวจสอบว่ามีการเคลื่อนไหวแต่อยู่ในสภาวะที่แสงสว่างเพียงพอ ระบบจะไม่ส่งการให้ไฟเปิด

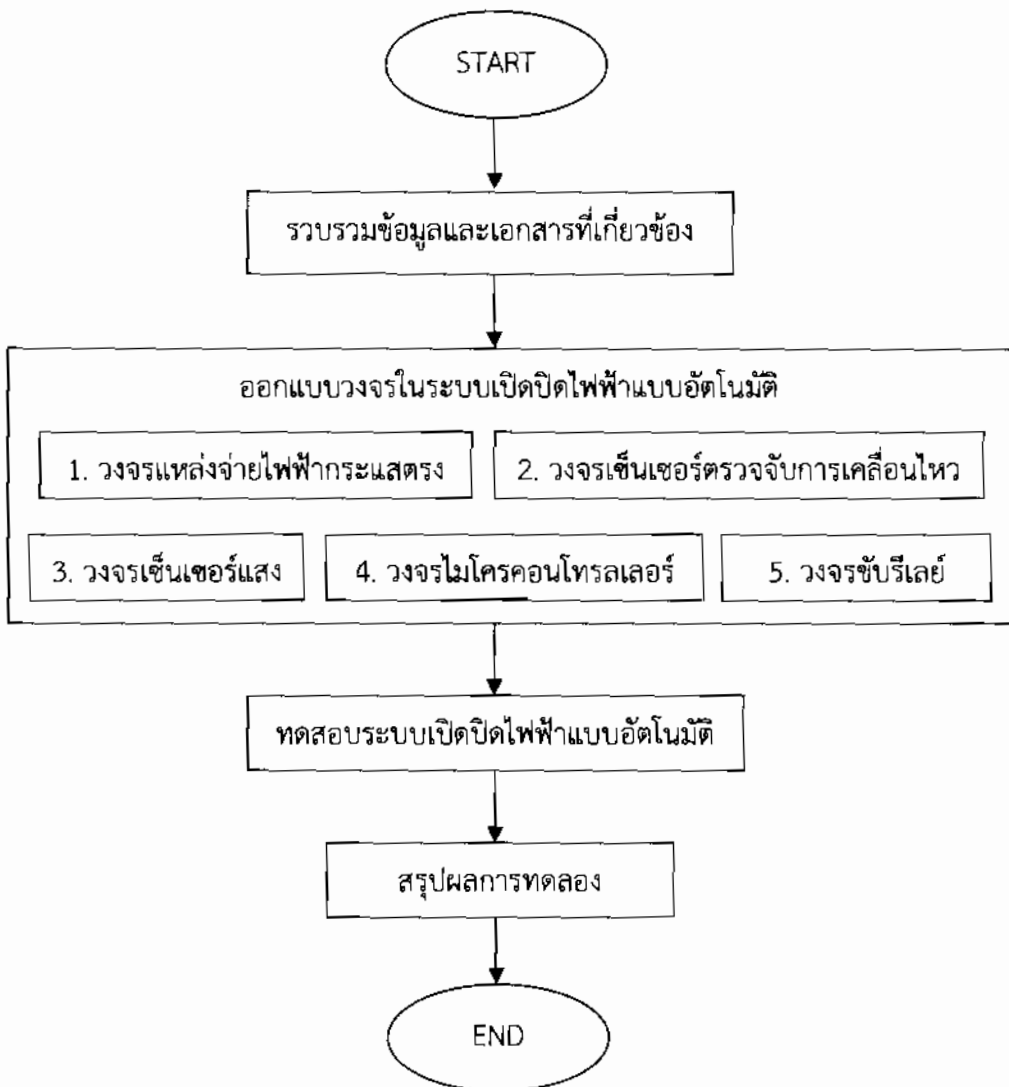
3.1 ขั้นตอนการดำเนินงาน

งานวิจัยนี้มีวัตถุประสงค์เพื่อพัฒนาโมเดลต้นแบบของระบบเปิดปิดไฟฟ้าแบบอัตโนมัติ โดยใช้เช่นเชอร์ตรวจจับการเคลื่อนไหว และเช่นเชอร์แสง ซึ่งในระบบจะประกอบไปด้วย วงจรแหล่งจ่ายไฟฟ้ากระแสตรง วงจรเช่นเชอร์ตรวจจับการเคลื่อนไหว วงจรเช่นเชอร์แสง วงจรไมโครคอน - โทรลเลอร์ และวงจรขับรีเลย์ ดังภาพประกอบ 3.1



ภาพประกอบ 3.1 โมเดลต้นแบบระบบเปิดปิดไฟฟ้าแบบอัตโนมัติ

เพื่อให้การวิจัยในครั้งนี้เป็นไปตามวัตถุประสงค์ที่ตั้งไว้ ผู้วิจัยได้วางขั้นตอนในการดำเนินงานดังภาพประกอบ 3.2



ภาพประกอบ 3.2 ขั้นตอนการดำเนินงาน

3.2 การออกแบบระบบเปิดปิดไฟฟ้าแบบอัตโนมัติ

ในโครงงานนี้ผู้วิจัยได้ทำการออกแบบระบบในส่วนต่างๆ ของระบบดังนี้ ออกแบบวงจรแหล่งจ่ายไฟกระแสตรง วงจรเซ็นเซอร์ตรวจจับการเคลื่อนไหว วงจรเซ็นเซอร์แสง วงจรไมโครคอนโทรลเลอร์ และวงจรบีบีเลอร์ ซึ่งรายละเอียดในการออกแบบแต่ละวงจร มีดังต่อไปนี้

3.2.1 การออกแบบวงจรแหล่งจ่ายไฟฟ้ากระแสตรง

หลักในการออกแบบชุดแหล่งจ่ายไฟฟ้ากระแสตรงสำหรับโครงงานนี้ คือ สามารถจ่ายแรงดันไฟฟ้า และกระแสไฟฟ้าให้กับวงจรในส่วนต่างๆ ของระบบได้อย่างเหมาะสม ซึ่งแหล่งจ่ายไฟฟ้ากระแสตรงที่สร้างขึ้นจะถูกจ่ายให้วงจรต่างๆ ได้แก่ วงจรเซ็นเซอร์ตรวจจับการเคลื่อนไหว วงจรเซ็นเซอร์แสง วงจรไมโครคอนโทรลเลอร์ วงจรบีบีเลอร์ และวงจรกันชน โดยในโครงงานนี้ได้เลือกใช้วงจรเรียงกระแส เต็มคลื่นแบบบิดจ์ เนื่องจากในแต่ละวงจร มีความต้องการใช้แรงดันไฟเลี้ยงในวงจรไม่เท่ากัน ดังนั้น

จึงแบ่งวงจรเรียงกระแสออกเป็น 2 วงจร โดยในวงจรที่ 1 ใช้วงจรเรียงกระแสเต็มคืนแบบบริดจ์ในการเรียงกระแสจากแรงดันไฟฟ้าลับขนาด $220 \text{ V}_{\text{rms}}$ เป็นแรงดันไฟตรงขนาด 5 V_{DC} และ 12 V_{DC} และวงจรที่ 2 ใช้วงจรเรียงกระแสแบบเต็มคืนแบบบริดจ์ร่วมกับชั้นเตอร์แทปในการแปลงแรงดันไฟฟ้าลับขนาด $220 \text{ V}_{\text{rms}}$ เป็นแรงดันไฟตรงขนาด $\pm 15 \text{ V}_{\text{DC}}$ สำหรับจ่ายแรงดันไฟเลี้ยงให้กับอปแอมป์

หลักการออกแบบวงจรและการคำนวณอุปกรณ์ต่างๆ ที่ใช้ในวงจร

1. สามารถถ่ายแรงดันไฟฟ้าให้กับวงจรตรวจจับการเคลื่อนไหว วงจรเซ็นเซอร์แสง วงจรรีโมทคอนโทรลเลอร์ และวงจรขับรีเลย์
2. สามารถถ่ายแรงดันไฟเลี้ยงให้กับอปแอมป์ได้
3. เลือกใช้หม้อแปลงไฟฟ้าที่สามารถถ่ายแรงดันไฟฟ้า และกระแสไฟฟ้าได้เพียงพอ กับความต้องการของวงจร โดยพิจารณาถึงแรงดันไฟฟ้า และกระแสไฟฟ้าที่สามารถจ่ายให้เหลือได้

วงจรเรียงกระแสไฟฟ้าลับขนาด $220 \text{ V}_{\text{rms}}$ เป็นไฟตรงขนาด 5 V_{DC} และ 12 V_{DC}

วงจรเรียงกระแสไฟฟ้าลับขนาด $220 \text{ V}_{\text{rms}}$ เป็นไฟตรงขนาด 5 V_{DC} และ 12 V_{DC} สร้างขึ้นเพื่อนำไปใช้เป็นแหล่งจ่ายไฟฟ้าให้กับวงจรในระบบ ซึ่งแรงดันไฟตรงขนาด 5 V_{DC} จะนำไปใช้ใน วงจรเซ็นเซอร์ตรวจจับการเคลื่อนไหว วงจรเซ็นเซอร์แสง และวงจรรีโมทคอนโทรลเลอร์ และแรงดันไฟตรงขนาด 12 V_{DC} จะนำไปใช้ในวงจรขับรีเลย์

อย่างไรก็ตาม ในโครงงานนี้ใช้แรงดันจากวงจรเรียงกระแส สำหรับวงจรกำเนิดไฟตรง 12 V_{DC} ร่วมกับวงจรกำเนิดไฟตรง 5 V_{DC} เมื่อจากวงจรกำเนิดไฟตรง 5 V_{DC} จ่ายกระแสต่ำทำให้ปริมาณความร้อนที่เกิดขึ้นอยู่ในขอบเขตที่ทำให้อีซี 7805 สามารถคงค่าแรงดันไฟตรงที่ 5 V_{DC} ได้อย่างถูกต้อง ซึ่งจะทำให้สามารถลดต้นทุนของการใช้หม้อแปลง สำหรับแปลงแรงดัน $220 \text{ V}_{\text{rms}}$ เป็น 5 V_{rms} การออกแบบวงจรจะใช้บริดจ์ไดโอดเบอร์ BR31 เพื่อทำการแปลงแรงดันไฟฟ้ากระแสลับให้เป็นไฟฟ้ากระแสตรง ซึ่งสัญญาณแรงดันจากวงจรเรียงกระแสแล้วได้ยังไม่เรียบ ทำให้มีสัญญาณรบกวนขนาดใหญ่ จึงใช้ตัวเก็บประจุช่วยในการกรองสัญญาณรบกวนให้เรียบขึ้น โดยใช้ตัวเก็บประจุชนิดอิเล็กโทรไลต์ มีหลักการเลือกค่าตัวเก็บประจุให้กับวงจร คือ ค่าแรงดันกระแสเพิ่ม (V_{ripple}) ไม่ควรเกิน 1 V เมื่อจากเป็นข้อกำหนดของการใช้งานอีซี 78XX และ 79XX ในการออกแบบจึงกำหนดให้ $V_{\text{ripple}} = 1 \text{ V}$ โดยออกแบบให้วงจรสามารถจ่ายกระแสได้สูงสุด 100 mA ทำให้สามารถคำนวณหาค่า C ในวงจรเรียงกระแสแบบเต็มคืนได้ดังสมการ (3.1)

$$C = \frac{I}{2 \times f \times V_{\text{ripple}}} \quad (3.1)$$

โดย I คือ กระแสที่จ่ายให้วงจร

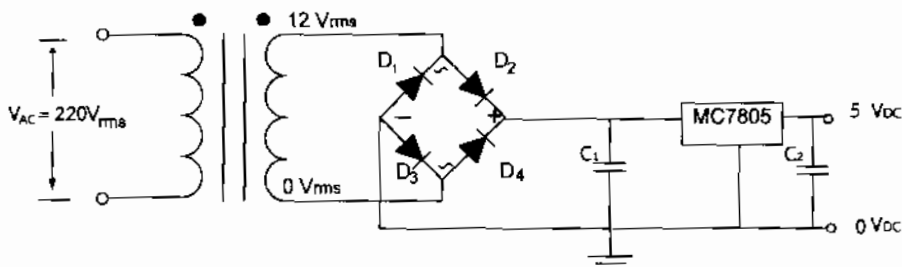
f คือ ความถี่มีค่าเท่ากับ 50 Hz

จะได้

$$C = \frac{100 \times 10^{-3}}{2 \times 50 \times 1}$$

$$C = 100 \mu F$$

จากค่าตัวเก็บประจุที่คำนวณได้ผู้วิจัยเลือกใช้ C_1 ขนาด $100 \mu F$ โดยต่อขาด้านบวก C_1 เข้าชี้บวกของไอซีบริดจ์โดยต่อขาด้านลบของ C_1 ต่อเข้ากับชี้ลบทของไอซีบริดจ์โดยต่อและเพื่อให้ได้สัญญาณแรงดันไฟฟ้ากระแสตรงที่คงที่และเรียบขนาด $5 V_{DC}$ จึงต้องวงจรคงค่าแรงดันโดยใช้ไอซีเบอร์ MC7805 ทั้งนี้การป้อนแรงดันที่ชี้อินพุตของไอซีจะต้องเป็นค่าที่เหมาะสม โดยพิจารณาจากค่า $V_{in} - V_{out}$ ใน Datasheet ต้องมีค่าเท่ากับ $2 V$ ดังนั้นแรงดันอินพุตต้องมีค่ามากกว่า $7 V$ แต่ต้องต่ำกว่าค่า $V_{in}(max)$ ซึ่งมีค่าเท่ากับ $35 V$ และในวงจรนี้มีแรงดันอินพุตของวงจรเรียงกระแสขนาด $12 V_{rms}$ จากการคำนวณเมื่อผ่านวงจรเรียงกระแสแล้วจะได้แรงดันไฟตรงขนาด $16.89 V_{DC}$ เป็นแรงดันอินพุตให้กับไอซีคงค่าแรงดัน อินพุตของไอซีต่อเข้ากับขาบวกของตัวเก็บประจุ C_1 จากราหศ์ของไอซีต่อลงกราวด์ และขาเอาต์พุตต่อเข้ากับตัวเก็บประจุ C_2 ขนาด $0.1 \mu F$ เพื่อป้องกันสัญญาณรบกวน ดังภาพประกอบ 3.3



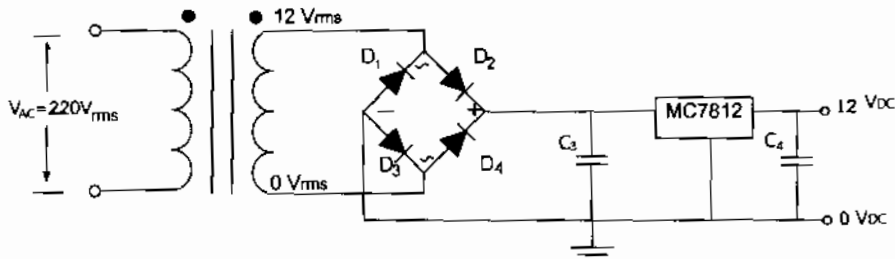
ภาพประกอบ 3.3 วงจรเรียงกระแสโดยใช้ไอซีคงค่าแรงดันเบอร์ 7805

เพื่อให้ได้สัญญาณแรงดันไฟฟ้ากระแสตรงที่มีขนาดคงที่ และเรียบขนาด $12 V_{DC}$ ผู้วิจัยจึงต้องวงจรคงค่าแรงดันโดยใช้ไอซีเบอร์ MC7812 โดยพิจารณาการป้อนแรงดันที่ชี้อินพุตให้มีค่าที่เหมาะสมจากค่า $V_{in} - V_{out}$ ใน Datasheet ต้องมีค่าเท่ากับ $2 V$ ดังนั้นแรงดันที่ชี้อินพุตต้องมีค่ามากกว่า $14 V$ แต่ต้องน้อยกว่าค่า $V_{in}(max)$ ซึ่งมีค่าเท่ากับ $35 V$ ในโครงงานนี้ใช้แรงดันอินพุตจากการเรียงกระแสขนาด $12 V_{rms}$ ในทางทฤษฎีวิวังจรเรียงกระแสจะสร้างแรงดันไฟฟ้ากระแสตรงขนาด $16.89 V_{DC}$ จากนั้นต่อแรงดันอินพุตให้กับไอซีคงค่าแรงดัน โดยเลือกค่าตัวเก็บประจุที่เหมาะสม โดยใช้สมการ (3.1) จะได้

$$C = \frac{30 \times 10^{-3}}{2 \times 50 \times 1}$$

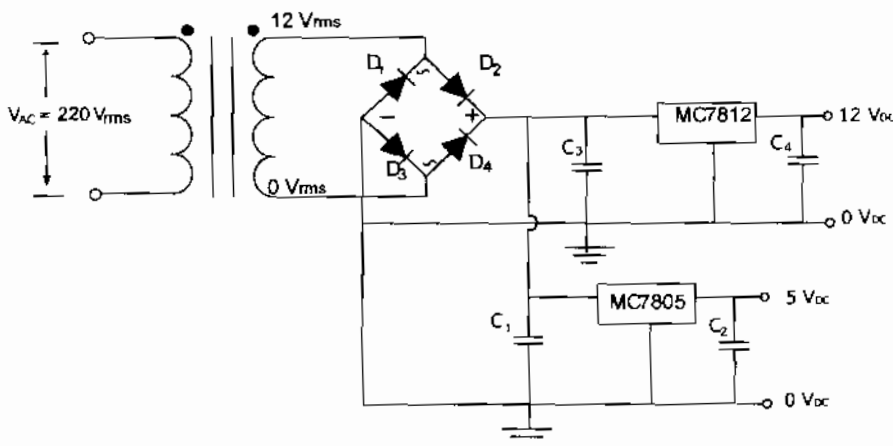
$$C = 300 \mu F$$

ทั้งนี้ค่าตัวเก็บประจุที่เหมาะสมจะเท่ากับ $300 \mu F$ โดยทำการออกแบบให้วงจรจ่ายกระแสได้ 30 mA เนื่องจากรีเลย์ที่ใช้ในวงจรนี้ต้องการกระแสในการทำงานที่ 20.8 mA ซึ่งสามารถดูได้จาก datasheet ของรีเลย์ ทั้งนี้ในวงจรนี้ผู้วิจัยได้เลือกใช้ตัวเก็บประจุ C_3 ขนาด $470 \mu F$ เนื่องจากต้องการลดสัญญาณรบกวนให้ได้แรงดันที่เรียบ โดยขาขวางของตัวเก็บประจุ C_3 ต่อเข้าขาอินพุตของไอซี ขากราวด์ของไอซีต่อลงกราวด์ และขาเอาต์พุตต่อเข้ากับตัวเก็บประจุ C_4 ขนาด $0.1 \mu F$ เพื่อป้องกันสัญญาณรบกวน ดังภาพประกอบ 3.4



ภาพประกอบ 3.4 วงจรเรียงกระแสโดยใช้ไอซีค่าแรงดันเบอร์ 7812

เมื่อทดสอบวงจรแล่งจ่ายไฟฟ้ากระแสตรงทั้งสองแล้ว จะต้องจรวจทั้งสองให้อยู่ในวงจรให้เชื่อมกับหม้อแปลงตัวเดียวกัน ดังภาพประกอบ 3.5 แล้วทำการทดสอบว่าจะมีการโหลดกระแสระหว่างวงจรหรือไม่



ภาพประกอบ 3.5 วงจรแสวงจ่ายไฟฟ้ากระแสตรงขนาด 5 V_{DC} และ 12 V_{DC}

วงจรเรียงกระแสไฟสลับขนาด $220 \text{ V}_{\text{rms}}$ เป็นไฟตรงขนาด $\pm 15 \text{ V}_{\text{DC}}$

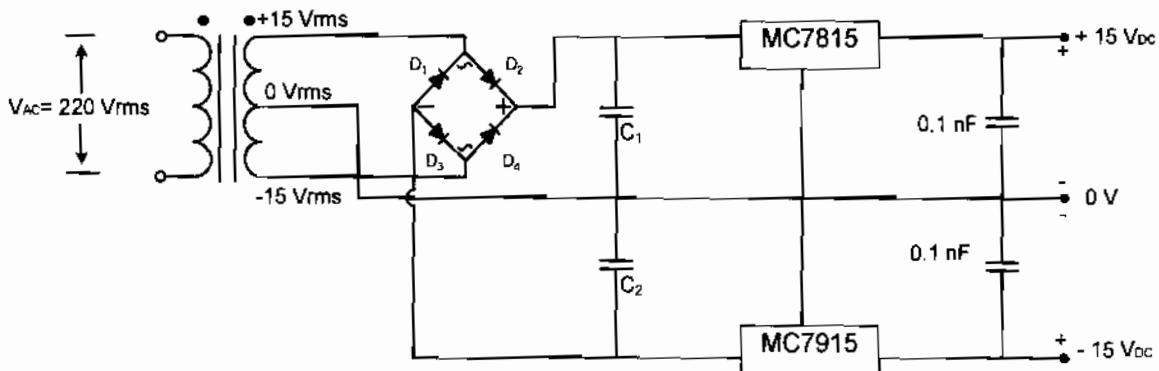
วงจรเรียงกระแสไฟสลับขนาด $220 \text{ V}_{\text{rms}}$ เป็นไฟตรงขนาด $\pm 15 \text{ V}_{\text{DC}}$ สร้างขึ้นเพื่อนำไปใช้เป็นแรงดันไฟเลี้ยงให้กับอุปกรณ์ในวงจรกันชน เมื่อป้อนแรงดันไฟสลับขนาด $220 \text{ V}_{\text{rms}}$ ผ่านไอซีบีริจค่าโดยเดอร์ BR31 จะได้แรงดันไฟฟ้ากระแสตรง แต่แรงดันไฟฟ้ากระแสตรงที่ได้จะมีสัญญาณรบกวนขนาดใหญ่ จึงใช้ตัวเก็บประจุชนิดอิเล็กทรโอลิต สำหรับกรองแรงดันให้เรียบขึ้น ทำให้สามารถ

คำนวณค่าตัวเก็บประจุ C โดยใช้สมการ (3.1) ซึ่งมีหลักการเลือกค่าตัวเก็บประจุให้กับวงจร เมื่อong กับการอุปแบบวงจรกำเนิดไฟตรงขนาด 5 V_{DC} และ 12 V_{DC}

$$C = \frac{300 \times 10^{-3}}{2 \times 50 \times 1}$$

$$C = 3000 \mu\text{F}$$

จากการคำนวณค่าตัวเก็บประจุ $3000 \mu\text{F}$ จะทำให้วงจรสามารถจ่ายกระแสสูงสุด 300 mA ซึ่งค่าตัวเก็บประจุมาตรฐานที่มีค่าใกล้เคียง คือ $3300 \mu\text{F}$ ดังนั้นค่าตัวเก็บประจุ C_1 และ C_2 จึงมีขนาด $3300 \mu\text{F}$ จากนั้นต่อแรงดันไฟตรงจากขั้วบวกของไอซีบริดจ์ได้โดยเข้ากับขั้วบวกของ C_1 ขั้วลบของ C_1 ต่อเข้ากับเชิงเตอร์แท็ปของหม้อแปลง สำหรับขั้วลบของไอซีบริดจ์ได้โดยต่อเข้ากับขั้วบวกของ C_2 และขั้วบวกของ C_2 ต่อเข้ากับเชิงเตอร์แท็ปของหม้อแปลง ซึ่งจะทำให้ได้สัญญาณแรงดันไฟตรงคงที่ ขนาด $\pm 21.21 \text{ V}_{\text{DC}}$ จากนั้นต่อเข้ากับไอซีเบอร์ MC7815 และ MC7915 จากหลักการใช้งานไอซี 78XX และ 79XX แรงดัน $\pm 21.21 \text{ V}_{\text{DC}}$ สามารถใช้สร้างแรงดันไฟตรง $\pm 15 \text{ V}_{\text{DC}}$ ได้ เนื่องจาก $V_{\text{in}} - V_{\text{out}}$ มีค่ามากกว่า 2 V วงจรที่ได้แสดงตั้งภาคประกอบ 3.6 โดยข้าวอาตพุตของไอซีทั้งสองจะต่อ กับตัวเก็บประจุขนาด 0.1 nF เพื่อป้องกันสัญญาณรบกวน ดังภาคประกอบ 3.6

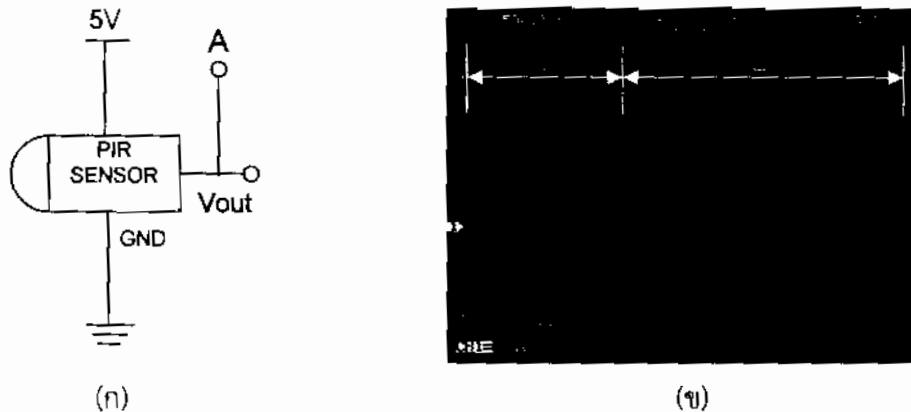


ภาคประกอบ 3.6 วงจรแหล่งจ่ายไฟฟ้ากระแสตรงขนาด $\pm 15 \text{ V}_{\text{DC}}$

3.2.2 การอุปแบบวงจรเชิงเซอร์ตรวจจับการเคลื่อนไหว

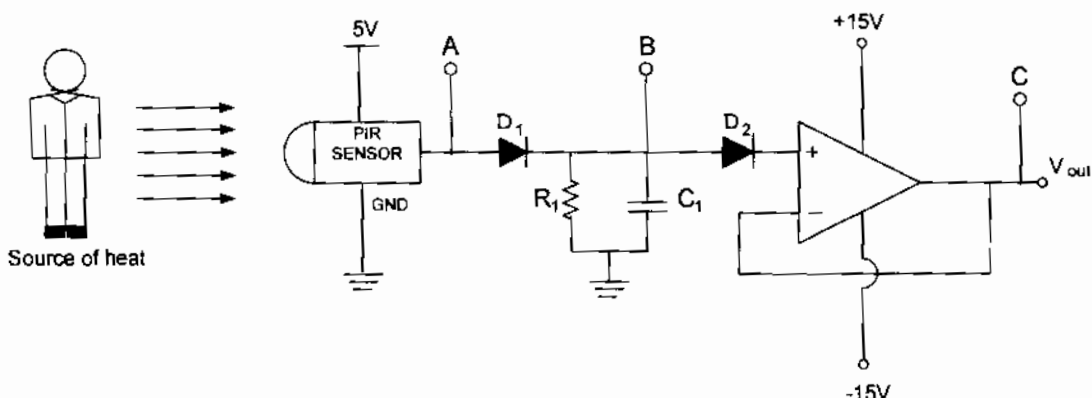
การอุปแบบวงจรเชิงเซอร์ตรวจจับการเคลื่อนไหว ในขั้นตอนแรกจะทำการพิจารณาสัญญาณ เอาต์พุตของเชิงเซอร์ตรวจจับการเคลื่อนไหว เพื่อวิเคราะห์สัญญาณที่ได้ และเป็นแนวทางในการ อุปแบบวงจร โดยทำการจับสัญญาณแรงดันเอาต์พุตของเชิงเซอร์ ณ จุด A ดังภาคประกอบ 3.7 (ก) จะได้ลักษณะสัญญาณแรงดันเอาต์พุตดังภาคประกอบ 3.7 (ข) พบร่วงแรงจะเป็นช่วงที่ไม่มีการ เคลื่อนไหว ลักษณะสัญญาณจะเป็นเส้นตรง และเมื่อมีการเคลื่อนไหว เชิงเซอร์จะส่งสัญญาณเอาต์พุต ออกมาในลักษณะสัญญาณพัลส์ที่ไม่คงที่ คือ ความถี่ของสัญญาณจะขึ้นกับระดับการเคลื่อนไหว

ลักษณะที่เกิดขึ้น ทำให้เกิดช่วงของสัญญาณขนาด 0 - V ซึ่งอาจเกิดความผิดพลาดในการประมวลผล สัญญาณการเคลื่อนไหว ในขณะควบคุมการเปิดปิดหลอดไฟ และทำให้การเขียนโปรแกรมไมโครคอนโทรลเลอร์ซับซ้อน และยุ่งยาก



ภาพประกอบ 3.7 (ก) ตำแหน่งจับสัญญาณเอาต์พุตของเซ็นเซอร์ (ข) สัญญาณเอาต์พุตของเซ็นเซอร์

เพื่อแก้ปัญหาดังกล่าว จึงต้องจรน่วงเวลาเพื่อหน่วงเวลาให้มีช่วงสัญญาณที่กว้างขึ้น เพื่อให้สามารถแยกสัญญาณขณะมีการเคลื่อนไหว และขณะที่ไม่มีการเคลื่อนไหวได้อย่างชัดเจน นอกเหนือจากนี้จะทำให้สามารถลดความซับซ้อนของโปรแกรมไมโครคอนโทรลเลอร์ โดยวิธีการเซ็นเซอร์ ตรวจจับการเคลื่อนไหวที่ทำการออกแบบ แสดงดังภาพประกอบ 3.8

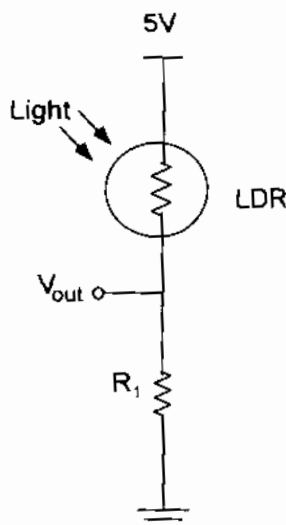


ภาพประกอบ 3.8 วงจรเซ็นเซอร์ตรวจจับการเคลื่อนไหว

จากภาพประกอบ 3.8 ขาเอาต์พุตของเซ็นเซอร์จะต่อเข้ากับขาอ่อนดุดของไดโอด D_1 และขาแมกโนดต่อเข้ากับวงจรหน่วงเวลา โดยมี R_1 ขนาด $12\text{ k}\Omega$ เพื่อจำกัดการไหลของกระแสให้เหมาะสมกับขนาดของตัวเก็บประจุ C_1 ขนาด $470\text{ }\mu\text{F}$ ซึ่งจะทำให้สามารถคำนวณการหน่วงเวลาได้ จากสมการ $\tau = RC$ ซึ่งในโครงงานนี้ออกแบบให้มีการหน่วงเวลา 5.64 วินาที เมื่อมีการเคลื่อนไหวกระแสจะไหลผ่านไดโอด D_1 ไปยังวงจรหน่วงเวลา เพื่อควบคุมทิศทางการไหลของกระแสอัตประจุ ทำให้มีการเกิดกระแสใหม่ย้อนกลับไปยังเซ็นเซอร์ตรวจจับการเคลื่อนไหว ในสภาวะที่ไม่มีการเคลื่อนไหว โดยไดโอด

D_2 จะทำหน้าที่ป้องกันการอัดประจุจากวงจรอปเปอร์แอมป์ ซึ่งทำหน้าที่เป็นวงจรกันชน ทำให้วงจรนั้น เวลาไม่ได้รับผลกระทบจากการเชื่อมต่อสัญญาณกับไมโครคอนโทรลเลอร์ เมื่อออกแบบวงจรดังภาพประกอบ 3.8 วงจรจะถูกทดสอบโดยการจับสัญญาณแรงดันที่จุด A B และ C ตามลำดับ เพื่อวิเคราะห์ลักษณะการเปลี่ยนแปลงของสัญญาณแรงดันในช่วงต่างๆ

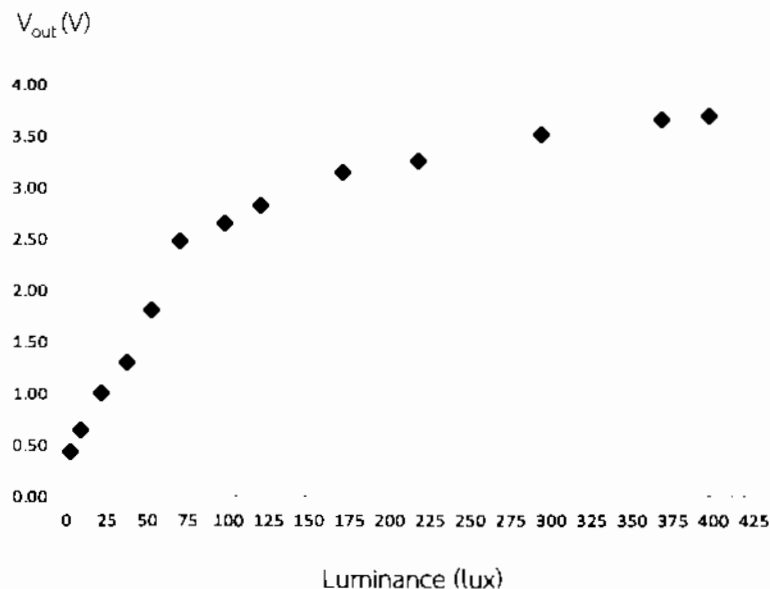
3.2.3 การออกแบบวงจรเซ็นเซอร์แสง



ภาพประกอบ 3.9 วงจรเซ็นเซอร์แสง

ในการออกแบบวงจรเซ็นเซอร์แสงในโครงงานนี้ได้เลือกใช้ LDR เป็นเซ็นเซอร์ในการตรวจวัดค่าความเข้มแสง โดยออกแบบให้เซ็นเซอร์ทำงานคล้ายกับวงจรเปิดปิดสวิตช์ ด้วยการต่อ LDR อนุกรมกับตัวต้านทานขนาด $10\text{ k}\Omega$ ดังภาพประกอบ 3.9 แล้วพิจารณาค่าแรงดันเอาต์พุตของวงจรเพื่อให้ไมโครคอนโทรลเลอร์นำไปประมวลผล ซึ่งผู้วิจัยได้ทำการทดสอบคุณสมบัติของเซ็นเซอร์เบื้องต้นพบว่าเมื่อค่าความเข้มแสงมีค่าเท่ากับ 25 lux จะได้แรงดันเอาต์พุตมีขนาด 1 V โดยในโครงงานนี้กำหนดให้ค่าความเข้มแสง 25 lux เป็นค่าความเข้มแสงขีดเริ่ม เนื่องจากค่าความเข้มแสงนี้เป็นค่าต่ำสุดสำหรับการมองเห็นของมนุษย์ ผลการทดสอบเบื้องต้นของวงจรเซ็นเซอร์แสง แสดงดังภาพประกอบ 3.10 ลักษณะแนวโน้มของเส้นกราฟจะเป็นดังนี้ คือ เมื่อมีแสงสว่างความเข้มสูงมากกระทบกับ LDR ทำให้ LDR มีค่าความต้านทานต่ำ แรงดันตกคร่อม R_1 จึงมีขนาดใหญ่ แรงดันเอาต์พุตจึงอยู่ในสถานะโลจิก 1 และถ้าอยู่ในลักษณะไม่มีแสงสว่าง LDR จะมีค่าความต้านทานสูง ทำให้แรงดันตกคร่อม LDR มีขนาดใหญ่ แรงดันเอาต์พุตจึงอยู่ในสถานะโลจิก 0 ซึ่งสามารถหา V_{out} ได้ดังสมการ (3.2)

$$V_{out} = \frac{R_1}{R_{LDR} + R_1} \cdot V_{in} \quad (3.2)$$



ภาพประกอบ 3.10 ความสัมพันธ์ระหว่าง V_{out} ของวงจรเซ็นเซอร์แสงกับค่าความเข้มแสง

จากการทดสอบเบื้องต้น พบร่วม V_{out} มีค่าตรงตามที่ออกแบบ คือ เมื่อความเข้มแสงต่ำกว่า 25 lux แรงดันอนال็อกที่จ่ายให้ขาอินพุตของไมโครคอนโทรลเลอร์จะมีค่าน้อยกว่า 1 V ไมโครคอนโทรลเลอร์จะแปลความหมายได้เป็นลอจิก 0 และช่วงที่ความเข้มแสงมากกว่า 25 lux แรงดันอนال็อกที่จ่ายให้ขาอินพุตของไมโครคอนโทรลเลอร์จะมีค่ามากกว่า 1 V ไมโครคอนโทรลเลอร์จะแปลความหมายได้เป็นลอจิก 1

3.2.4 การออกแบบวงจรไมโครคอนโทรลเลอร์

การออกแบบวงจรประมวลผลในโครงงานนี้ผู้วิจัยเลือกใช้ไมโครคอนโทรลเลอร์แบบ RISC เบอร์ PIC16F627A ใน การประมวลผลของวงจรภายในระบบ การทำงานของไมโครคอนโทรลเลอร์จะเริ่มเมื่อป้อนแรงดันไฟฟ้าให้กับไมโครคอนโทรลเลอร์ โดยรับแรงดันไฟเลี้ยงจากวงจรเรียงกระแส 5 V นีองจากไมโครคอนโทรลเลอร์เบอร์นี้ต้องการแรงดันในการทำงานตั้งแต่ 3 ถึง 5.5 V จากนั้นทำการออกแบบวงจรสัญญาณนาฬิกาของไมโครคอนโทรลเลอร์ โดยใช้คริสตอลเพื่อกำหนดความถี่ในการดำเนินการของไมโครคอนโทรลเลอร์ ที่ความถี่ 4 MHz โดยต่อเข้าที่ขา OSC1 และขา OSC2 ดังภาพประกอบ 3.10 ซึ่งสามารถคำนวณหาค่าตัวเก็บประจุที่ใช้ในวงจรกำเนิดสัญญาณนาฬิกาได้ ดังสมการ (3.3)

$$C_L = \frac{C_1 \times C_2}{C_1 + C_2} + C_{stray} \quad (3.3)$$

โดย C_L คือ ความจุ荷ลดของคริสตอล

C_{stray} คือ ความจุแฟงในวงจรกำหนดสัญญาณไฟกามีค่าอยู่ในช่วง 3 – 5 pF

สมมติให้ $C_1 = C_2$

จะได้

$$C_L = \frac{C_1}{2} + C_{stray} \quad (3.4)$$

ซึ่งค่า C_L ได้จาก datasheet ของคริสตอลที่ใช้ในโครงงานนี้ ทั้งนี้ C_L มีค่าเท่ากับ 18 pF ดังนั้น

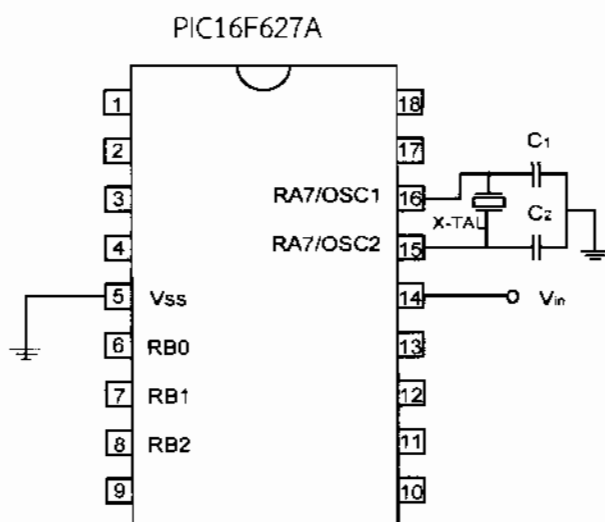
$$C_1 = 2(C_L - C_{stray}) \quad (3.5)$$

$$C_1 = 2(18\text{ pF} - 5\text{ pF})$$

จะได้

$$C_1 = 26\text{ pF}$$

ฉะนั้น ค่าตัวเก็บประจุ C_1 และ C_2 ที่เหมาะสมมีขนาด 26 pF ทั้งนี้ค่าตัวเก็บประจุมาตรฐานที่ใกล้เคียงกับที่คำนวณได้มีขนาด 22 pF ในโครงงานนี้จึงเลือกใช้ตัวเก็บประจุ C_1 และ C_2 ขนาด 22 pF ซึ่งจะทำให้เมื่อแทนค่า C_1 และ C_2 ลงในสมการ (3.3) จะได้ค่า $C_L \approx 11\text{ pF}$ ดังนั้น จึงทำให้เกิดความคลาดเคลื่อนประมาณ 11 เปรอร์เซ็นต์ อよ่างไรก็ตาม ค่าความคลาดเคลื่อนที่เกิดขึ้นอยู่ในขอบเขตที่ PIC16F627A สามารถทำงานได้



ภาพประกอบ 3.11 วงจรประกอบเพื่อให้มicrocontroller ทำงาน

จากภาพประกอบ 3.11 กำหนดให้ขา RB1 เป็นขารับสัญญาณจากวงจรเข็นเซอร์แสง ขา RB2 เป็นขารับสัญญาณจากวงจรเข็นเซอร์ตรวจจับการเคลื่อนไหว และขา RBO เป็นขาเอาต์พุตที่ใช้ส่งสัญญาณเพื่อควบคุมการทำงานของสวิตซ์เปิดปิดไฟฟ้า เนื่องจากสามารถรับจ่ายกระแสไฟตรงได้สูงสุด 25 mA ในโครงงานนี้จะกำหนดตามเงื่อนไขการใช้ ดังตาราง 3.1

ตาราง 3.1 เงื่อนไขการทำงานของระบบเปิดปิดไฟฟ้าแบบอัตโนมัติ

ความเข้มแสง	การเคลื่อนไหว	สัญญาณเอาต์พุต แบบดิจิตอล (โลจิก)	ระบบเปิดปิดไฟฟ้า
สว่าง (มากกว่า 25 lux)	มีการเคลื่อนไหว	0	ไฟปิด
สว่าง (มากกว่า 25 lux)	ไม่มีการเคลื่อนไหว	0	ไฟปิด
มืด (ต่ำกว่า 25 lux)	มีการเคลื่อนไหว	1	ไฟเปิด
มืด (ต่ำกว่า 25 lux)	ไม่มีการเคลื่อนไหว	0	ไฟปิด

จากตาราง 3.1 ระบบจะทำการเปิดสวิตซ์ไฟในกรณีที่ความเข้มแสงต่ำกว่า 25 lux และตรวจพบการเคลื่อนไหว โดยไมโครคอนโทรลเลอร์จะส่งสัญญาณเอาต์พุตออกมานะเป็นโลจิก 1 มีแรงดันเอาต์พุต 5 V นอกจากกรณีนี้ ไมโครคอนโทรลเลอร์จะส่งสัญญาณเอาต์พุตออกมานะเป็นโลจิก 0 โดยมีแรงดันเอาต์พุต 0 V รายละเอียดขั้นตอนในการประมวลผล แสดงดังภาพประกอบ 3.12 โดยที่

ขั้นตอนที่ 1 รับสัญญาณอินพุตจากวงจรเข็นเซอร์แสงที่ขา RB1 และรับสัญญาณอินพุตจากวงจรเข็นเซอร์ตรวจจับการเคลื่อนไหวที่ขา RB2 โดยกำหนดให้ตัวแปร Z คือ ค่าความเข้มแสง และ X คือ การเคลื่อนไหว

ขั้นตอนที่ 2 ตรวจสอบสัญญาณอินพุตที่ขา RB1 ว่าความเข้มแสงต่ำกว่า 25 lux หรือไม่ ถ้าความเข้มแสงมากกว่า 25 lux ให้ทำงานตามขั้นตอนที่ 3 ถ้าความเข้มแสงต่ำกว่า 25 lux ให้ทำงานตามขั้นตอนที่ 4

ขั้นตอนที่ 3 หน่วงเวลา 100 ms และทำงานต่อตามขั้นตอนที่ 1

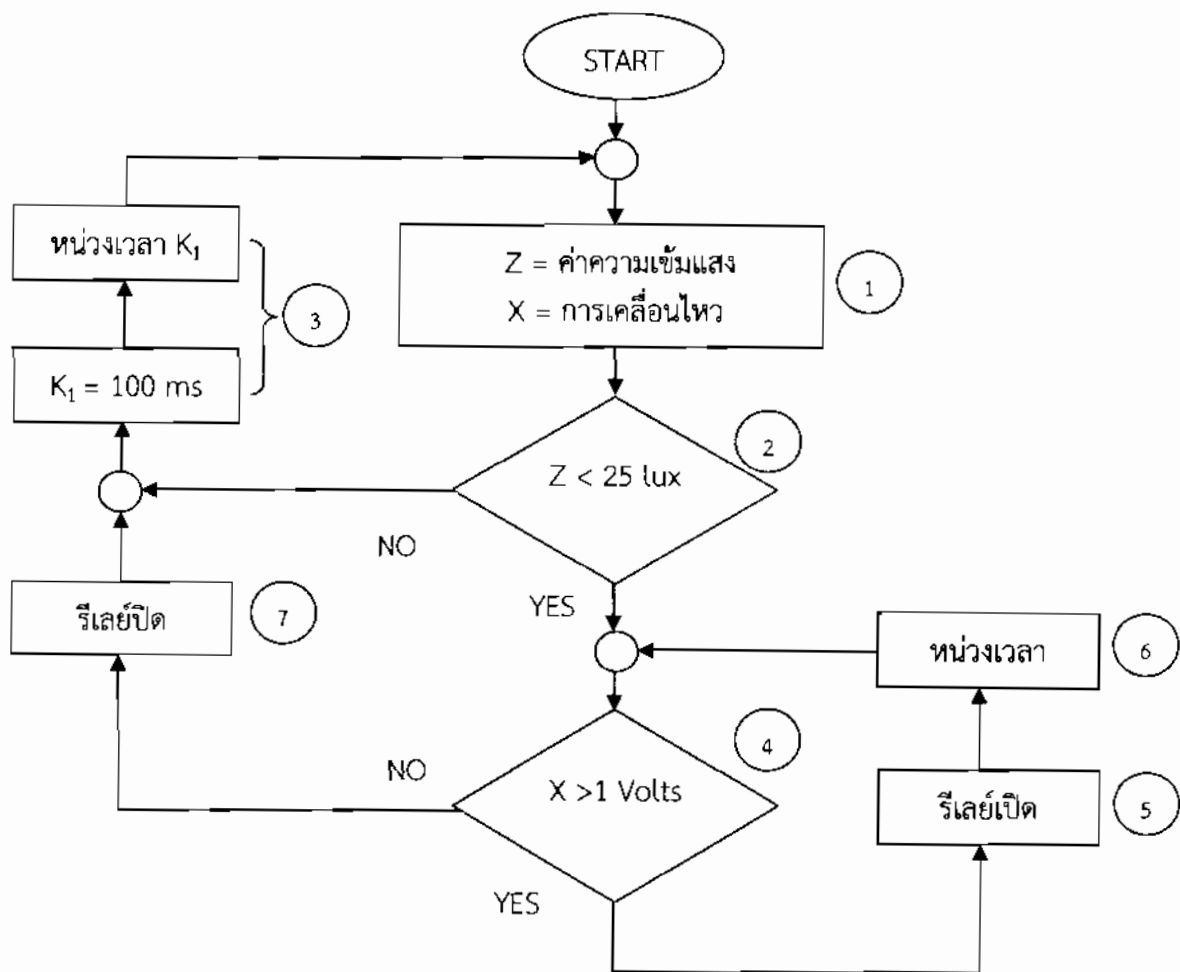
ขั้นตอนที่ 4 ตรวจสอบสัญญาณอินพุตที่ขา RB2 ว่ามีการเคลื่อนไหวหรือไม่ ถ้าหากพบการเคลื่อนไหวให้ทำงานตามขั้นตอนที่ 5 ถ้าไม่พบการเคลื่อนไหวให้ทำงานตามขั้นตอนที่ 7

ขั้นตอนที่ 5 ส่งสัญญาณเอาต์พุตที่ขา RBO เป็นโลจิก 1 และทำงานต่อตามขั้นตอนที่ 6

ขั้นตอนที่ 6 หน่วงเวลาแล้วกลับไปทำงานตามขั้นตอนที่ 4

ขั้นตอนที่ 7 ส่งสัญญาณเอาต์พุตที่ขา RBO เป็นโลจิก 0 และทำงานต่อตามขั้นตอนที่ 3

ไมโครคอนโทรลเลอร์จะทำการประมวลผลตามขั้นตอนดังๆ ตลอดช่วงการทำงานของระบบควบคุม จนกระทั่งหยุดป้อนแรงดันไฟฟ้าให้กับไมโครคอนโทรลเลอร์ การประมวลผลของไมโครคอนโทรลเลอร์ จะสร้างสัญญาณสำหรับควบคุมรีเลย์ในการเปิดปิดหลอดไฟ

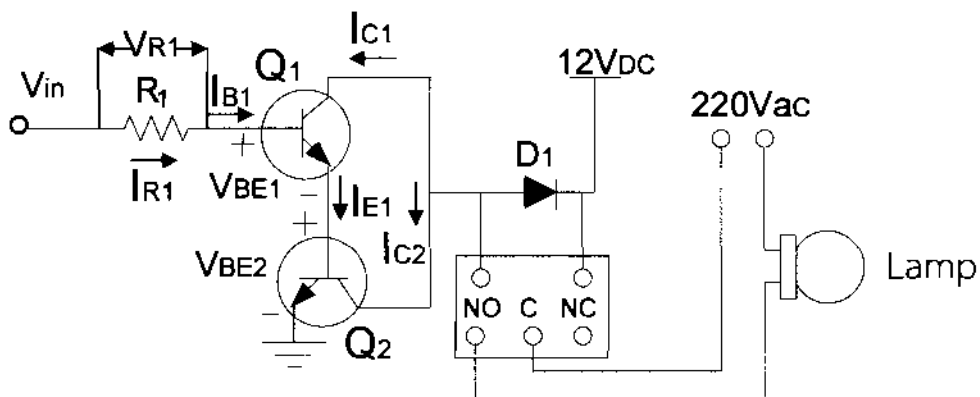


ภาพประกอบ 3.12 การประมวลผลของระบบเปิดปิดไฟฟ้าแบบอัตโนมัติ

3.2.5 การออกแบบวงจรขับรีเลย์

ในโครงงานนี้ได้ประยุกต์วงจรดาร์ลิงตันในการขับรีเลย์ เนื่องจากไม่สามารถใช้อาต์พุตของไมโครคอนโทรลเลอร์จ่ายกระแสไฟฟ้าให้ขาดความของรีเลย์ได้โดยตรง ทั้งนี้เพราะกระแสที่จ่ายออกจากขาอาต์พุตของไมโครคอนโทรลเลอร์มีค่าต่ำ ซึ่งไม่เพียงพอต่อการควบคุมการเปิดปิดรีเลย์ ดังนั้น จึงต้องทราบชีสเตอร์แบบดาร์ลิงตันเพื่อทำการขยายกระแส และใช้สัญญาณจากไมโครคอนโทรลเลอร์ควบคุมการทำงานของดาร์ลิงตัน ในการทำงานของวงจรดาร์ลิงตันจะต้องมีแรงดันอินพุตมากกว่า 1.2 V เพราะทราบชีสเตอร์แต่ละตัวต้องมีแรงดันอินพุตอย่างน้อย 0.6 V จึงจะนำกระแส โดยต่อขาอิมิตเตอร์ของทราบชีสเตอร์ Q_1 (เบอร์ 2N2222A) กับขาเบสของทราบชีสเตอร์ Q_2 (เบอร์ 2N2222A) เมื่อไมโครคอนโทรลเลอร์ส่งสัญญาณแรงดันอาต์พุตผ่าน R_1 ขนาด $5 \text{ k}\Omega$ วงจรดาร์ลิงตันจะขยายกระแสเพื่อขับรีเลย์ ซึ่งเป็นอุปกรณ์สวิตซ์เปิดปิดไฟฟ้า เมื่อทราบชีสเตอร์ดาร์ลิงตันนำกระแส จะทำให้เกิดสนามแม่เหล็กขึ้นที่ขดลวดของรีเลย์ หน้าสัมผัสของรีเลย์จึงสวิตซ์มาต่อกับหน้าสัมผัส NO ซึ่งหน้าสัมผัส C ต่อเข้ากับไฟฟ้ากระแสสลับ $220 \text{ V}_{\text{rms}}$ ทำให้หลอดไฟถูกเปิด และเมื่อทราบชีสเตอร์ดาร์ลิงตันไม่

นำกระแสจะทำให้มีเกิดสนามแม่เหล็กขึ้นที่ขดลวดของรีเลย์ หน้าสัมผัสของรีเลย์จะติดกลับมาติดกับหน้าสัมผัส NC ทำให้หลอดไฟไม่ถูกเปิด ส่วนไดโอด D₁ ต่อไว้สำหรับป้องกันการไฟลัดย้อนกลับของกระแส - และที่เกิดจากแรงดันไฟฟ้าเหนี่ยวนำ ดังภาพประกอบ 3.13 โดยเกิดในกรณีที่แหล่งจ่ายไฟเกิดการกระเพื่อมในช่วงเริ่มต้นของการจ่ายไฟ ตลอดจนเมื่อทราบชีสเตอร์หยุดจ่ายกระแสให้รีเลย์สนามแม่เหล็กของรีเลย์จะเกิดการเปลี่ยนแปลง ทำให้กระแสไฟฟ้าไหลย้อนกลับมายังทราบชีสเตอร์ซึ่งอาจทำให้ทราบชีสเตอร์เสียหายได้



ภาพประกอบ 3.13 วงจรขับรีเลย์

จากภาพประกอบ 3.13 สามารถหากระแสเบสได้จาก

$$V_{in} = V_{R1} + V_{BE1} + V_{BE2} \quad (3.6)$$

$$V_{in} = V_{R1} + 0.6 + 0.6$$

$$V_{R1} = V_{in} - 1.2 \quad (3.7)$$

ดังนั้น สามารถหากระแส I_{R1} ได้จาก

$$I_{R1} = \frac{V_{R1}}{R_1} \quad (3.8)$$

แทนค่าสมการที่ (3.7) ในสมการที่ (3.8) จะได้

$$I_{R1} = \frac{V_{in} - 1.2}{R_1}$$

โดยที่ $I_{R1} = I_{B1}$

ฉะนั้น

$$I_{B1} = \frac{V_m - 1.2}{R_1} \quad (3.9)$$

เมื่อทราบกระแสเบส Q_1 และจะสามารถหากระแสอิมิตเตอร์ได้จาก

$$I_{E1} = (\beta_1 + 1)I_{B1} \quad (3.10)$$

โดยที่ $I_{E1} = I_{B2}$ และ β_1 = อัตราการขยายของ Q_1

จะได้

$$I_{B2} = (\beta_1 + 1)I_{B1} \quad (3.11)$$

ตั้งนั้นสามารถหากระแสคอลเลคเตอร์ของวงจรได้จาก

$$I_C = \beta_2 \times I_{B2} \quad (3.12)$$

โดยที่ β_2 = อัตราการขยายของ Q_2

คำนวณหาค่ากระแสที่ I_{B1} จากสมการที่ (3.9) เมื่ออัตราขยาย Q_1 เท่ากับ 50 จะได้

$$I_{B1} = \frac{5 - 1.2}{5 \times 10^3}$$

$$I_{B1} = 0.76 \text{ mA}$$

คำนวณหาค่ากระแสที่ I_{B2} จากสมการที่ (3.9) เมื่ออัตราขยาย Q_2 เท่ากับ 50 จะได้

$$I_{B2} = (\beta_1 + 1)I_{B1}$$

$$I_{B2} = 38.76 \text{ mA}$$

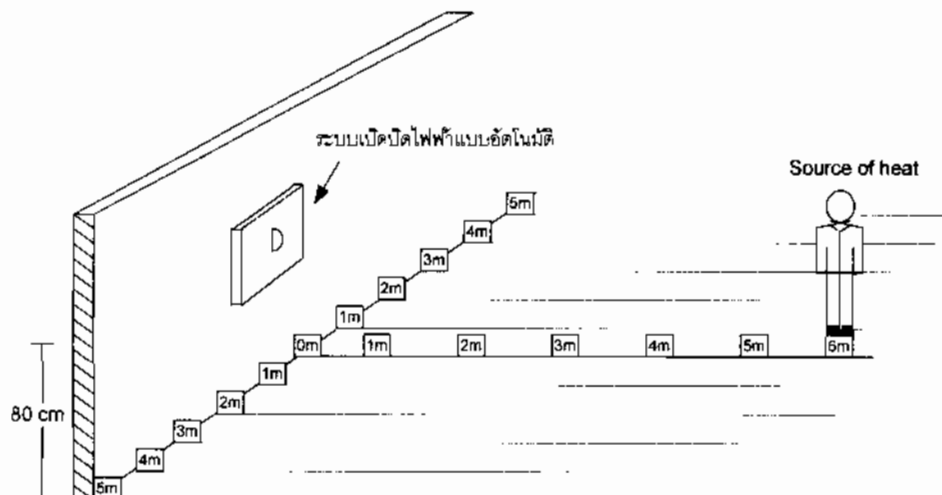
จากการคำนวณที่ได้ พบร่วมเมื่อไมโครคอนโทรลเลอร์อ่านค่าได้เป็นลอจิก 1 จะมีแรงดันเอาร์พุต 5 V ซึ่งเป็นแรงดันอินพุตของวงจรขั้บเรี่ยเลย์ที่สามารถขับกระแส I_{B1} และ I_{B2} ได้ ทำให้ทรานซิสตอร์ทั้งสองตัวนำกระแส เมื่อไมโครคอนโทรลเลอร์ อ่านค่าได้เป็นลอจิก 0 จะมีแรงดันเอาร์พุต 0 V ซึ่งทำให้วงจรدارร์ลิงดันหยุดนำกระแส ตั้งนั้นวงจรดาร์ลิงตันจึงสามารถใช้ขั้บเรี่ยเลย์สำหรับควบคุมการเปิดปิดหลอดไฟได้

3.2.6 การทดสอบระบบเปิดปิดไฟฟ้าแบบอัตโนมัติ

ในการทดสอบระบบเปิดปิดไฟฟ้าแบบอัตโนมัติ ผู้วิจัยได้แบ่งการทดสอบออกเป็น 2 การทดสอบ คือ การทดสอบระยะการทำงานของระบบเปิดปิดไฟฟ้าแบบอัตโนมัติ และการทดสอบประสิทธิภาพการทำงานของระบบเปิดปิดไฟฟ้าแบบอัตโนมัติ

3.2.6.1 การทดสอบระยะการทำงานของระบบเปิดปิดไฟฟ้าแบบอัตโนมัติ

ในการทดสอบระบบเปิดปิดไฟฟ้าแบบอัตโนมัติ ผู้วิจัยจะทำการติดตั้งโมเดลต้นแบบระบบเปิดปิดไฟฟ้าแบบอัตโนมัติไว้ที่ความสูงห่างจากพื้น 80 เซนติเมตร โดยกำหนดให้จุดติดตั้งโมเดลต้นแบบเป็นจุดศูนย์กลาง และทำการทดสอบจากระยะ 5 เมตร จากทางด้านซ้าย และ 5 เมตร จากทางด้านขวา และมีความยาวจากจุดศูนย์กลาง 6 เมตร โดยทำการทดสอบหาระยะการทำงานของระบบในพื้นที่การทำงานจริง เพื่อกำหนดขนาดของพื้นที่ที่ตอบสนองต่อระบบที่สร้างขึ้น ลักษณะการทดสอบแสดงดังภาพประกอบ 3.14



ภาพประกอบ 3.14 ลักษณะการทดสอบระยะระบบเปิดปิดไฟฟ้าแบบอัตโนมัติ

3.2.6.2 การทดสอบประสิทธิภาพการทำงานของระบบเปิดปิดไฟฟ้าแบบอัตโนมัติ

ในการทดสอบประสิทธิภาพของระบบ จะกำหนดเงื่อนไขให้ระบบ และทดสอบระบบว่ามีผลในการทดสอบเป็นไปตามเงื่อนไขที่กำหนดให้กับไมโครคอนโทรลเลอร์หรือไม่ ซึ่งเงื่อนไขในการทดสอบมี 2 เงื่อนไขดังนี้

เงื่อนไขที่ 1 กำหนดให้มีความเข้มแสงเพียงพอต่อความต้องการ และมีการเคลื่อนไหว ซึ่งในการทดสอบให้ค่าความเข้มแสงมีค่ามากกว่า 25 lux ดังนั้น แรงดันเอาต์พุตที่ได้จากการเช็คเซอร์แสฟ์ในช่วงนี้มีค่ามากกว่า 1 V ทำให้ไมโครคอนโทรลเลอร์แปลงความหมายค่าที่อ่านได้เป็นโลจิก 1 และแรงดันเอาต์พุตที่ได้จากการเช็คเซอร์ตรวจจับการเคลื่อนไหวในช่วงนี้มีค่ามากกว่า 1 V ทำให้ไมโครคอนโทรลเลอร์แปลงความหมายค่าที่อ่านได้เป็นโลจิก 1 ดังนั้น การประมวลผลของไมโครคอนโทรลเลอร์

จึงสร้างสัญญาณเอาร์พุตเป็นลอจิก 0 ในกรณีหลอดไฟจะไม่ถูกเปิด

เงื่อนไขที่ 2 กำหนดให้มีความเข้มแสงไม่เพียงพอต่อความต้องการ และมีการเคลื่อนไหว โดยในการทดสอบหาความเข้มแสงมีค่า'n้อยกว่า 25 lux แรงดันเอาร์พุตที่ได้จากการเช็คเซอร์แสง ในช่วงนี้มีค่าน้อยกว่า 1 V ทำให้ไมโครคอนโทรลเลอร์แปลความหมายค่าที่อ่านได้เป็นลอจิก 0 และ แรงดันเอาร์พุตที่ได้จากการเช็คเซอร์ตรวจสอบจับการเคลื่อนไหวในช่วงนี้มีค่ามากกว่า 1 V จึงทำให้ ไมโครคอนโทรลเลอร์แปลความหมายค่าที่อ่านได้เป็นลอจิก 1 ดังนั้น การประมวลผลของไมโคร - คอนโทรลเลอร์จึงสร้างสัญญาณเอาร์พุตเป็นลอจิก 1 ในกรณีไฟจะถูกเปิด

ในการทดสอบระบบในเงื่อนไขที่ 1 และ 2 ผู้วิจัยจะทำการเลือกระยะหินพื้นที่ที่ระบบตอบสนองได้ดีที่สุด โดยการทดสอบทั้งหมด 10 ครั้ง เพื่อดูว่าระบบสามารถทำงานได้ตามเงื่อนไขทุกครั้ง หรือไม่ และทดสอบเสถียรภาพของระบบที่สร้างขึ้น

บทที่ 4

ผลการวิจัยและการอภิปราย

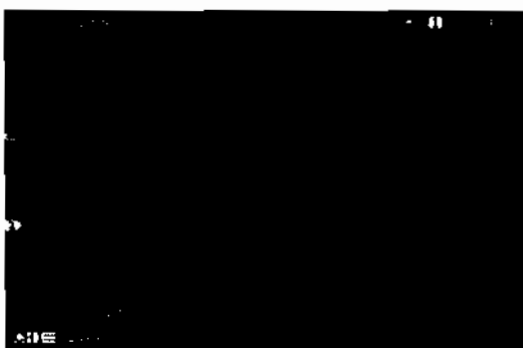
ในบทนี้กล่าวถึงผลการทดสอบ และการอภิปรายผลการทดสอบระบบเปิดปิดไฟฟ้าแบบอัตโนมัติที่ได้ทำการพัฒนา ซึ่งในระบบประกอบไปด้วย วงจรแหล่งจ่ายไฟฟ้ากระแสตรง วงจรเซ็นเซอร์ - ตรวจสอบการเคลื่อนไหว วงจรเซ็นเซอร์แสง วงจรไมโครคอนโทรลเลอร์ และวงจรขับรีเลย์

4.1 ผลการทดสอบวงจรแหล่งจ่ายไฟฟ้ากระแสตรง

วงจรแหล่งจ่ายไฟฟ้ากระแสตรงที่ผู้วิจัยเลือกใช้ในโครงการนี้ มีการแปลงแรงดันไฟสัลบขนาด $220 \text{ V}_{\text{rms}}$ เป็นแรงดันไฟตรงขนาด 5 V_{DC} และ 12 V_{DC} และแปลงแรงดันไฟสัลบขนาด $220 \text{ V}_{\text{rms}}$ เป็นแรงดันไฟตรงขนาด $\pm 15 \text{ V}_{\text{DC}}$ ซึ่งการทดสอบแหล่งจ่ายในแต่ละวงจรได้ผลดังต่อไปนี้

4.1.1 ผลการทดสอบวงจรกำเนิดไฟตรงขนาด 5 V_{DC} และ 12 V_{DC}

ในการออกแบบแหล่งจ่ายแรงดันไฟตรงขนาด 5 V_{DC} และ 12 V_{DC} โดยใช้ไอซีค่าแรงดันเบอร์ 7805 และ 7812 เมื่อทำการทดสอบวัดสัญญาณทางด้านเอาต์พุตของวงจร ผลการทดสอบจับสัญญาณแรงดันเอาต์พุตแสดงดังภาพประกอบ 4.1 พบร่วมกันที่ได้มีลักษณะสัญญาณเป็นแรงดันไฟตรงที่เรียบขนาด $5.00 \text{ V}_{\text{DC}}$ และ $11.50 \text{ V}_{\text{DC}}$ ตามลำดับ ซึ่งจะพบว่าวงจรกำเนิดแรงดันไฟตรงขนาด 5 V_{DC} สามารถสร้างแรงดันเอาต์พุตได้ตรงตามที่ออกแบบ แต่อย่างไรก็ตาม วงจรกำเนิดไฟตรงขนาด 12 V_{DC} สร้างแรงดันเอาต์พุตขนาด $11.50 \text{ V}_{\text{DC}}$ ซึ่งมีค่าไม่ตรงตามที่ออกแบบ คือ 12 V_{DC} ซึ่งจากการทดสอบเปลี่ยนไอซี 7812 และวัดแรงดันตามจุดต่างๆ พบร่วมกันที่ได้รับแรงดันไฟตรงขนาด 5 V_{DC} และ $11.50 \text{ V}_{\text{DC}}$ อยู่ในช่วงที่สามารถนำไปจ่ายให้กับวงจรเซ็นเซอร์ตรวจสอบการเคลื่อนไหว วงจรไมโครคอนโทรลเลอร์ และวงจรขับรีเลย์ได้



(ก)

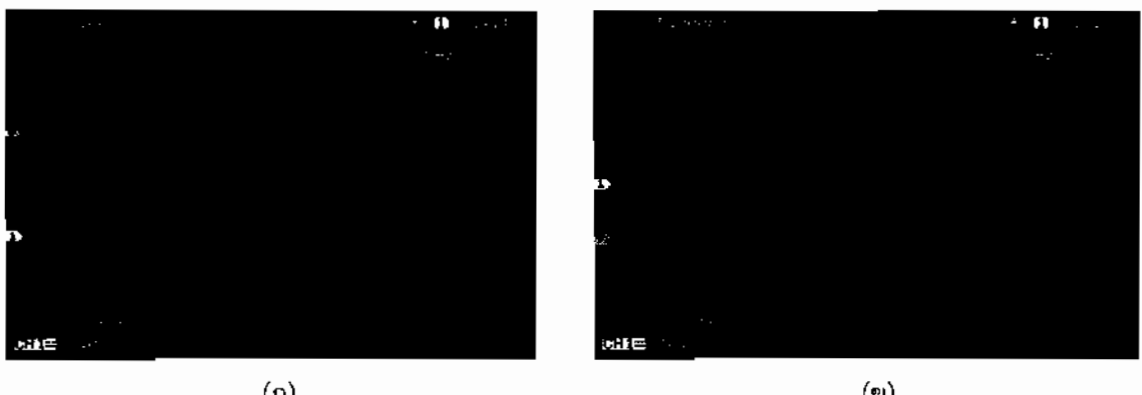


(ข)

ภาพประกอบ 4.1 สัญญาณแรงดันไฟตรง (ก) แรงดันไฟตรงเฉลี่ยขนาด $5.00 \text{ V}_{\text{DC}}$ (ข) แรงดันไฟตรงเฉลี่ยขนาด $11.50 \text{ V}_{\text{DC}}$

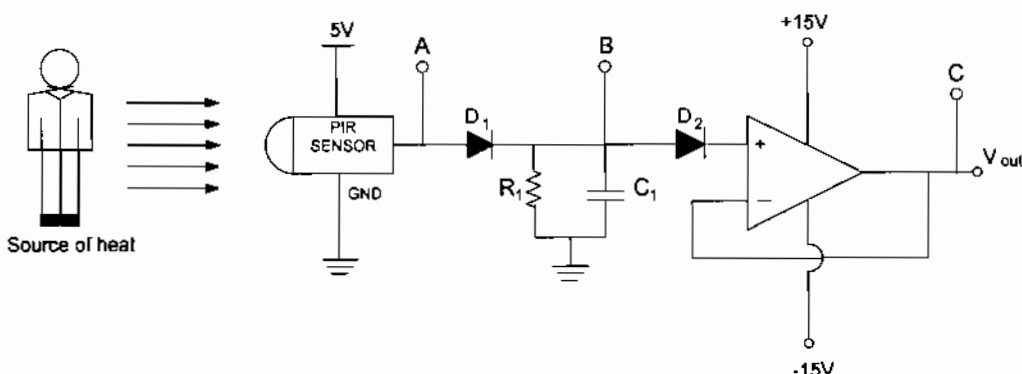
4.1.2 ผลการทดสอบวงจรกำเนิดไฟตรงขนาด $\pm 15 \text{ V}_{\text{DC}}$

จากการทดสอบพบว่า สัญญาณเอาต์พุตของวงจรเรียงกระแสแรงดันไฟสัลบนาด $220 \text{ V}_{\text{rms}}$ เป็นแรงดันไฟตรงขนาด $\pm 15 \text{ V}_{\text{DC}}$ ที่ผ่านไอซีคงค่าแรงดันเบอร์ 7815 และ 7915 มีลักษณะสัญญาณแรงดันเป็นไฟตรงที่เรียบ เมื่อทดสอบจับสัญญาณแรงดันด้วยอสซิโลสโคปแบบดิจิตอล พบร่วมกับแรงดันไฟตรงกว้างขนาด $14.50 \text{ V}_{\text{DC}}$ และแรงดันไฟตรงลบขนาด $-14.70 \text{ V}_{\text{DC}}$ ซึ่งแรงดันเอาต์พุตที่ได้มีค่าไม่ตรงตามที่ออกแบบ คือ $\pm 15 \text{ V}_{\text{DC}}$ จากการทดสอบวัดแรงดันตามจุดต่างๆ ในวงจร ประกอบกับการเปลี่ยนไอซี 7815 และ 7915 พบร่วมกับ อาจเป็นผลเนื่องมาจากการผลิต เนื่องจากเมื่อทำการทดสอบเปลี่ยนไอซีคงค่าแรงดันโดยใช้วงจรเดิม พบร่วมกับแรงดันเอาต์พุตที่ได้ยังคงได้ไม่ตรงตามที่ออกแบบไว้ แม้ว่าแรงดันที่จ่ายให้ไอซี 7815 จะมีค่าประมาณ 21 V_{DC} และแรงดันที่จ่ายให้ไอซี 7915 จะมีค่าประมาณ $-21 \text{ V}_{\text{DC}}$ ซึ่งเป็นไปตามเงื่อนไขการทำงานของไอซีทั้งคู่ แต่อย่างไรก็ตามแรงดันที่ได้ยังอยู่ในช่วงที่สามารถนำไปใช้จ่ายให้แก่อุปกรณ์ในวงจรกันชนได้ ผลการทดสอบแสดงดังภาพประกอบ 4.2



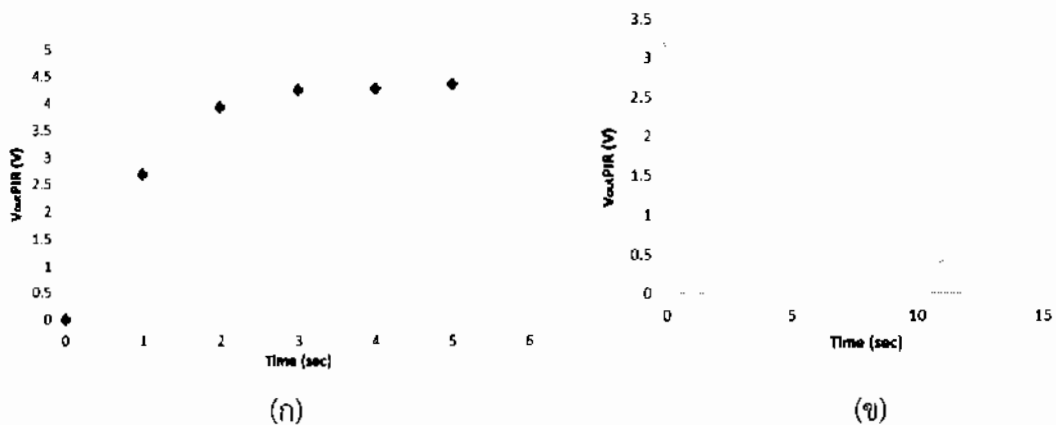
ภาพประกอบ 4.2 สัญญาณแรงดันไฟตรง (g) แรงดันไฟฟ้ากว้างบวก (x) แรงดันไฟฟ้ากว้างลบ

4.2 ผลการทดสอบวงจรเข็นเชอร์ตรุงจับการเคลื่อนไหว



ภาพประกอบ 4.3 วงจรเข็นเชอร์ตรุงจับการเคลื่อนไหว

จากภาพประกอบ 4.3 ผู้วิจัยได้ทำการจับสัญญาณแรงดันไฟฟ้าที่จุด A B และ C ซึ่งจุด A คือ จุดที่เซ็นเซอร์ตรวจจับการเคลื่อนไหว ส่งสัญญาณເອົາຕີພຸດທອກມາเมื่อมีการเคลื่อนไหว โดยจะส่งสัญญาณพลส์อกมาขนาด 5 V โดยมีเวลา 1-5 วินาที ขึ้นอยู่กับลักษณะของการเคลื่อนไหว ในขณะที่ไม่มีการเคลื่อนไหว วงจรจะส่งสัญญาณขนาด 0 V จุด B คือ จุดที่วัดสัญญาณออกจากวงจรหน่วงเวลา โดยในช่วงที่เซ็นเซอร์ตรวจจับการเคลื่อนไหว แล้วส่งสัญญาณพลส์ขนาด 5 V ออกมานั้น ตัวเก็บประจุจะหัดประจุ และหน่วงเวลาให้ช่วงสัญญาณกว้างขึ้น และเมื่อเซ็นเซอร์ตรวจจับการเคลื่อนไหวส่งสัญญาณขนาด 0 V ออกมานั้น ตัวเก็บประจุจะทำการคายประจุ ดังภาพประกอบ 4.4 และจุด C คือ จุดເອົາຕີພຸດของวงจร ซึ่งจะต่อ กับวงจรกันชนเพื่อส่งสัญญาณไปประมวลผล โดยไมโครคอนโทรลเลอร์ PIC16F627A



ภาพประกอบ 4.4 (ก) ความสัมพันธ์ระหว่างแรงดันกับเวลาขณะอัดประจุ (ข) ความสัมพันธ์ระหว่างแรงดันกับเวลาขณะคายประจุ

จากภาพประกอบ 4.4 (ก) พบร้ากราฟมีลักษณะเพิ่มขึ้นแบบเอกซ์โพเนนเชียล เมื่อจากจะมีอัตราการเปลี่ยนแปลงที่ต้องการคือ $\frac{dy}{dx} = 0$

$$V = V_0 \left(1 - e^{\frac{-t}{\tau}}\right) \quad (4.1)$$

โดย V_0 คือ แรงดันไฟฟ้าจากแหล่งจ่ายไฟตรง

๗ คือ ค่าคงที่เวลาของวงจร ในกรณีของวงจรหน่วงเวลา ค่า τ ในช่วงการอัดประจุมีค่าเท่ากับ RC จะได้

$$V = V_0 \left(1 - e^{-\frac{t}{RC}}\right) \quad (4.2)$$

จากภาพประกอบ 4.4 (ข) พบร้ากรฟมีลักษณะลดลงแบบเอกซ์โพเนนเชียล เมื่อจากชั่น
คายประจุ ประจุและแรงดันตกร่วมด้วยเก็บประจุจะมีค่าลดลงตามเวลา ดังสมการ (4.3)

$$V = V_0 e^{\frac{-t}{\tau}} \quad (4.3)$$

โดย V_0 คือ ความต่างศักย์ของแหล่งจ่ายไฟตรง

τ คือ ค่าคงที่เวลาของวงจร ในกรณีของวงจรหน่วงเวลา ค่า τ ในช่วงการ decay ประจุมีค่าเท่ากับ RC จะได้

$$V = V_0 e^{\frac{-t}{RC}} \quad (4.4)$$

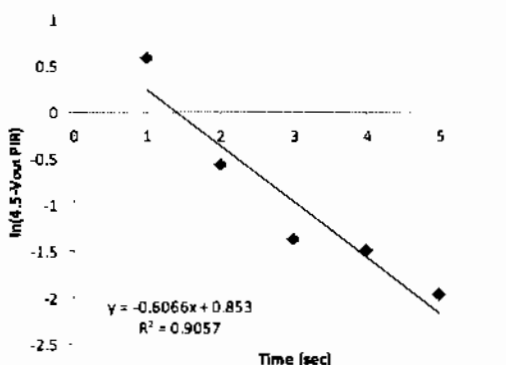
จัดสมการ (4.2) ให้อยู่ในรูปของการทิ่มจะได้ ตั้งสมการ (4.5)

$$\ln(V - V_0) = -\frac{t}{RC} + \ln V_0 \quad (4.5)$$

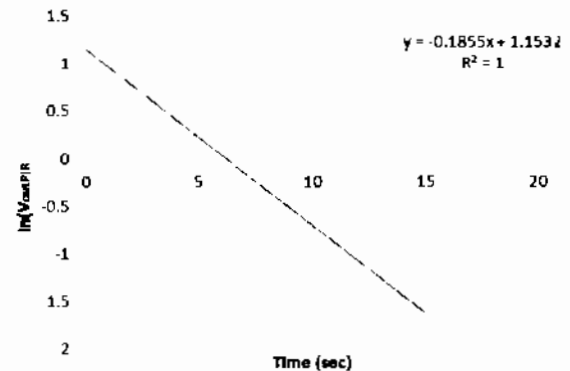
จัดสมการ (4.4) ให้อยู่ในรูปของการทิ่มจะได้ ตั้งสมการ (4.6)

$$\ln V = -\frac{t}{RC} + \ln V_0 \quad (4.6)$$

กราฟในภาพประกอบ 4.4 สามารถแปลงให้เป็นกราฟเส้นตรง ตั้งภาพประกอบ 4.5 ซึ่งอยู่ในรูปสมการ $y = mx + c$ เมื่อทำการเทียบค่าคงที่ของเวลา กับ สมการที่ (4.5) และ (4.6) ซึ่งค่าความชัน (Slope) ของกราฟ มีค่าเท่ากับ $-\frac{1}{RC}$ ซึ่งค่าคงที่ทางเวลา τ จึงมีค่าเท่ากับ $RC = \frac{1}{slope}$



(ก)



(ข)

ภาพประกอบ 4.5 (ก) ความสัมพันธ์ระหว่าง $\ln(4.5 - V_{outPIR})$ กับเวลาขณะอัดประจุ (ข) ความสัมพันธ์ระหว่าง $\ln(V_{outPIR})$ กับเวลาขณะ decay ประจุ

จากการประกอบ 4.5 (ก) จะได้สมการเส้นตรงของความสัมพันธ์ระหว่าง $\ln(4.5 - V_{outPIR})$ กับเวลาขณะอัดประจุดังสมการ (4.7)

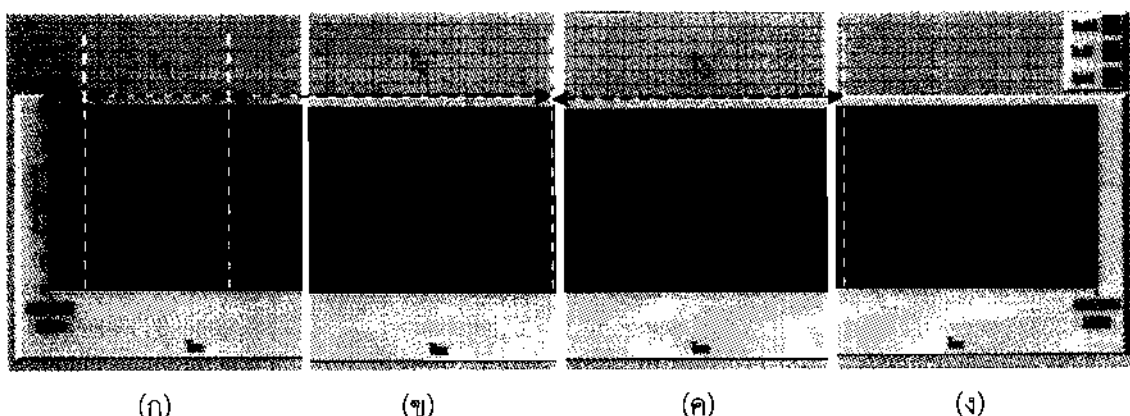
$$y = -0.6066x + 0.853 \quad (4.7)$$

จากภาพประกอบ 4.5 (x) จะได้สมการเส้นตรงของความสัมพันธ์ระหว่าง $I_{\text{g}}(V_{\text{outPIR}})$ กับเวลา ขณะคายประจุดังสมการ (4.8)

$$y = -0.1855x + 1.1532 \quad (4.8)$$

เมื่อนำความชันจากสมการเส้นตรงที่ได้จากการมาคำนวณหาค่า τ ปรากฏว่า ในช่วงเวลา อัตประจุ ค่าคงที่ของเวลาไม่เท่ากับ 1.65 วินาที และในช่วงเวลาคายประจุ จะได้ค่าคงที่ของเวลาเท่า กับ 5.39 วินาที ซึ่งเมื่อเปรียบเทียบกับผลการคำนวณจากทฤษฎี โดย $\tau = RC$ จะได้ค่าคงที่ของเวลา เท่ากับ 5.64 วินาที พบร้าเวลาในช่วงการอัดประจุ และคายประจุมีค่าคงที่ของเวลาไม่เท่ากัน ซึ่งค่าคงที่ ของเวลาที่คลาดเคลื่อน คือ ค่าคงที่ของเวลาในช่วงของการอัดประจุ ทั้งนี้เนื่องจากในการอัดประจุ จะต้องพิจารณาความต้านทานของเซ็นเซอร์ PIR และไดโอด D₁ ซึ่งในการออกแบบได้ละเอียดการ พิจารณาผลตัวต้านทานตั้งแต่ล่า ทำให้ผลการคำนวณในช่วงของการอัดประจุ คลาดเคลื่อนจากการ ทดลอง

จากภาพประกอบ 4.3 เมื่อทดสอบจับสัญญาณแรงดันไฟฟ้าในวงจรเข็นเชอร์ตรุงจับการ เคลื่อนไหวเพื่อตุลักษณะสัญญาณที่จุด A B และ C ซึ่งจุด A (เส้นกราฟสีเขียว) คือ การจับสัญญาณ แรงดันเอาต์พุตของเซ็นเซอร์ตรุงจับการเคลื่อนไหว จุด B (เส้นกราฟสีน้ำเงิน) คือ การจับสัญญาณ แรงดันหลังจากผ่านวงจรหน่วงเวลา จุด C (เส้นกราฟสีแดง) คือ การจับสัญญาณแรงดันเอาต์พุตก่อนส่ง ไปไมโครคอนโทรลเลอร์ พบร้าที่เส้นกราฟสีเขียวมีช่วงที่สัญญาณแรงดันลดลงเล็กน้อย เนื่องจากความ สูญเสียที่เกิดขึ้นเมื่อสัญญาณผ่านไดโอด จึงทำให้มีระดับแรงดันต่ำกว่าที่ตำแหน่ง A แต่เมื่อจับสัญญาณ ออกของวงจรหน่วงเวลา จะได้สัญญาณมีลักษณะแสดงดังเส้นกราฟสีน้ำเงิน จากนั้นเมื่อจับสัญญาณ แรงดันหลังวงจรกันชนที่ต่อเข้ามาเพื่อลดการเกิด Loading Effect ของวงจรกับไมโครคอนโทรลเลอร์ และไดโอด D₂ จะได้แรงดันเอาต์พุตที่ส่งออกมากลดน้อยลงจากแรงดัน ณ จุด B เนื่องจากมีแรงดันตก คร่อมไดโอด ลักษณะกราฟแสดงดังเส้นกราฟสีแดง โดยสัญญาณ ณ จุด C จะเป็นสัญญาณเอาต์พุตที่ ส่งไปยังไมโครคอนโทรลเลอร์เพื่อทำการประมวลผล

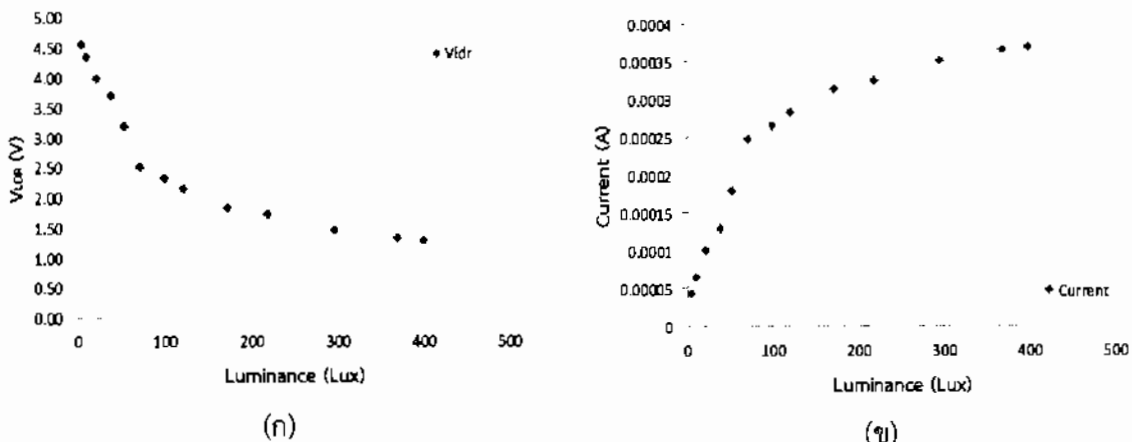


ภาพประกอบ 4.6 สัญญาณแรงดันของวงจรเข็นเชอร์ตรุงจับการเคลื่อนไหว

จากภาพประกอบ 4.6 พบร่วมกับสัญญาณมีแนวเป็นไปตามทฤษฎี คือ กราฟมีการเพิ่มขึ้น และลดลงในลักษณะเอกซ์โพเนนเชียล เนื่องมาจากการอัดประจุและคายประจุของวงจรหน่วงเวลา เมื่อทำการพิจารณาเรดับสัญญาณแรงดันตามการเคลื่อนไหว ตั้งแต่เริ่มมีการเคลื่อนไหว พบร่วมกับสัญญาณแรงดันเอาต์พุตที่เข็นเซอร์เริ่มตรวจสอบการเคลื่อนไหว คือ ช่วงเวลา t_0 แต่ระดับสัญญาณที่ตรวจพบยังคงมีค่าต่ำกว่า 1 V ต้องใช้เวลาประมาณ 15 วินาที สัญญาณจึงจะสูงพอที่ไมโครคอนโทรลเลอร์จะแปลความหมายเป็นลอจิก 1 ดังภาพประกอบ 4.6 (ก) จากนั้นในช่วงเวลา t_1 สัญญาณจะเพิ่มขึ้นเรื่อยๆ ในลักษณะเอกซ์โพเนนเชียล และเริ่มเข้าสู่ภาวะเสถียรในช่วงเวลา t_2 ดังภาพประกอบ (ข) และ (ค) โดยไมโครคอนโทรลเลอร์จะแปลความหมายค่าแรงดันเป็นลอจิก 1 ไปจนถึงช่วงที่ระดับการเคลื่อนไหวน้อยลง เมื่อระดับสัญญาณลดลงจนไมโครคอนโทรลเลอร์ตรวจพบว่ามีระดับสัญญาณแรงดันน้อยกว่า 1 V ดังภาพประกอบ 4.6 (ง) ซึ่งเป็นช่วงเวลา t_3 ไมโครคอนโทรลเลอร์แปลความหมายค่าแรงดันเป็นลอจิก 0 แม้ว่าการตอบสนองของวงจรจะช้า แต่พบร่วมกับความไวมากพอที่จะตรวจจับการเคลื่อนไหวของกิจกรรมปกติในชีวิตประจำวันได้

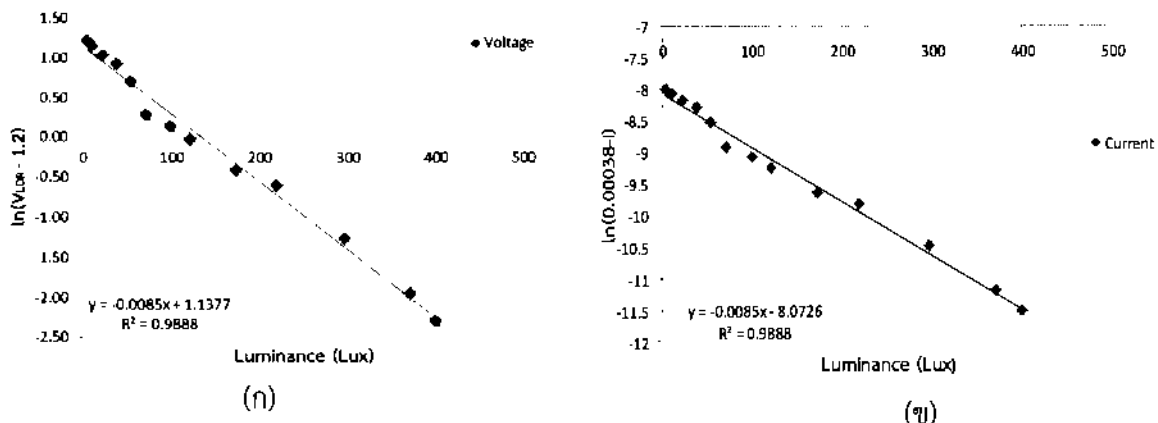
4.3 ผลการทดสอบของเซ็นเซอร์แสง

จากการที่ผู้วิจัยได้ออกแบบวงจรเซ็นเซอร์แสง เพื่อวัดค่าความเข้มแสงเทียบกับเครื่องมือวัดค่าความเข้มแสงแบบมาตรฐาน (Digital Lux Meter) ค่าความเข้มแสงที่วัดได้จะอยู่ในหน่วย lux โดยใช้ค่าแรงดันเอาต์พุตของวงจรที่เปลี่ยนไปตามแสง เป็นข้อมูลให้กับไมโครคอนโทรลเลอร์ในการประมวลผลสัญญาณเพื่อควบคุมการเปิดปิดหลอดไฟ เมื่อเขียนกราฟความสัมพันธ์ระหว่างแรงดันที่ต่อกัน LDR (V_{LDR}) กับความเข้มแสง และกราฟความสัมพันธ์ระหว่างกระแสกับความเข้มแสง จะได้กราฟความสัมพันธ์ดังภาพประกอบ 4.7



ภาพประกอบ 4.7 (ก) ความสัมพันธ์ระหว่าง V_{LDR} กับความเข้มแสง (ข) ความสัมพันธ์ระหว่างกระแสกับความเข้มแสง

จากภาพประกอบ 4.7 (ก) พบร่วมมือค่าความเข้มแสงมีค่าเพิ่มมากขึ้น แรงดันที่ตอกคร่อมเซ็นเซอร์แสงจะมีค่าลดลงในลักษณะเอกซ์โพเนนเชียล และจากภาพประกอบ 4.7 (ข) พบร่วมมือค่าความเข้มแสงเพิ่มขึ้น กระแสจะมีค่าเพิ่มขึ้นในลักษณะเอกซ์โพเนนเชียล ดังนั้น เพื่อหาความสัมพันธ์ระหว่าง V_{LDR} กับความเข้มแสง และกระแสกับความเข้มแสง จึงได้จัดการข้อมูลให้อยู่ในลักษณะที่เป็นเชิงเส้น ดังภาพประกอบ 4.8



ภาพประกอบ 4.8 (ก) ความสัมพันธ์ระหว่าง $\ln(V_{LDR} - 1.2)$ กับความเข้มแสง (ข) ความสัมพันธ์ระหว่าง $\ln(0.00038-I)$ กับความเข้มแสง

จากภาพประกอบ 4.8 (ก) เมื่อนำสมการเส้นตรงจากการ มาหาความสัมพันธ์ระหว่าง $\ln(V_{LDR} - 1.2)$ และค่าความเข้มแสง จะได้สมการดังนี้

$$V_{LDR} = 3.12(e^{-0.0085Z}) + 1.2 \quad (4.9)$$

โดย Z คือ ค่าความเข้มแสง

จากภาพประกอบ 4.8 (ข) เมื่อนำสมการเส้นตรงจากการ มาหาความสัมพันธ์ระหว่าง $\ln(0.00038-I)$ และค่าความเข้มแสง จะได้ดังสมการดังนี้

$$I = 0.00038 - 0.00031(e^{-0.0085Z}) \quad (4.10)$$

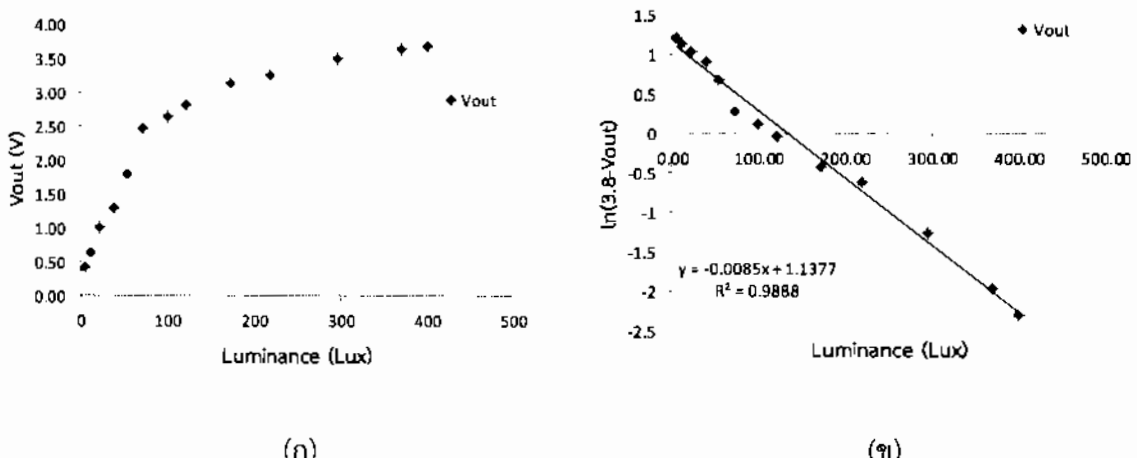
โดย Z คือ ค่าความเข้มแสง

I คือ กระแสที่เหลือนิวงจร

จากสมการที่ (4.9) และ (4.10) นำมาใช้ในการหาค่าความต้านทานภายในเซ็นเซอร์แสง (R_{LDR}) โดยสมการที่ได้ คือ $R_{LDR} = V_{LDR}/I$ ซึ่งค่า V_{out} และ R_{LDR} จะแปรผกผันกันดังสมการ (4.11) ซึ่งเป็นสมการการหาแรงดันเอาต์พุตจากการที่ออกแบบ

$$V_{out} = \frac{R_1}{R_{LDR} + R_1} \cdot V_{in} \quad (4.11)$$

เมื่อเขียนกราฟความสัมพันธ์ระหว่าง V_{out} กับค่าความเข้มแสงที่ได้จากการทดสอบ จะได้กราฟดังภาพประกอบ 4.9 (ก) พบร่วมเมื่อค่าความเข้มแสงเพิ่มมากขึ้น แรงดันเอาร์พุตจะมีค่าเพิ่มขึ้นในลักษณะเอกซ์โพเนนเชียล ดังนั้นเพื่อหาความสัมพันธ์ระหว่าง V_{out} กับค่าความเข้มแสง จึงจัดข้อมูลให้อยู่ในลักษณะที่เป็นเส้นตรง ดังภาพประกอบ 4.9 (ข)



ภาพประกอบ 4.9 (ก) ความสัมพันธ์ระหว่าง V_{out} กับความเข้มแสง (ข) ความสัมพันธ์ระหว่าง $\ln(3.8 - V_{out})$ กับความเข้มแสง

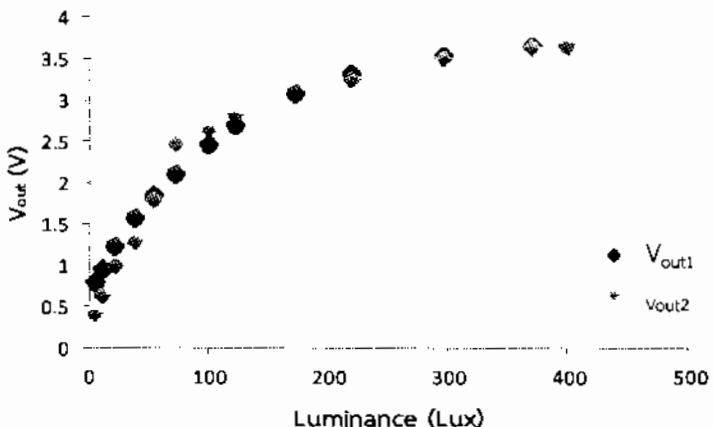
จากภาพประกอบ 4.9 (ข) นำสมการเส้นตรงที่ได้จากการทดสอบมาหาความสัมพันธ์ระหว่าง $\ln(3.8 - V_{out})$ กับค่าความเข้มแสง จะได้สมการดังนี้

$$V_{out} = 3.8 - 3.11(e^{-0.0085Z}) \quad (4.12)$$

โดย Z คือ ค่าความเข้มแสง

จากนั้นทำการแทนค่า Z ลงในสมการ (4.12) นำกราฟแรงดันเอาร์พุตที่ได้จากการทดสอบ และสมการเส้นตรงมาเปรียบเทียบกัน จะได้กราฟความสัมพันธ์ระหว่าง V_{out1} (แรงดันเอาร์พุตจากผลการทดสอบ) กับค่าความเข้มแสง และกราฟความสัมพันธ์ระหว่าง V_{out2} (แรงดันเอาร์พุตจากสมการ) กับค่าความเข้มแสง ดังภาพประกอบ 4.10 พบร่วมมีค่าความคลาดเคลื่อนสูงสุดของแรงดันเอาร์พุต ที่ได้จากการทดสอบ 89.98 เบอร์เซ็นต์ ที่ความเข้มแสง 4.42 lux ซึ่งมีค่าความแม่นยำมากขึ้น เมื่อมีค่าความเข้มแสงมาก ความคลาดเคลื่อนต่ำสุดเท่ากับ 0.12 เบอร์เซ็นต์ ที่ค่าความเข้มแสง 400 lux จะเห็นได้ว่าในช่วงที่ค่าความเข้มแสงต่ำ จะมีค่าความคลาดเคลื่อนมากกว่าในช่วงที่ค่าความเข้มแสงมาก ซึ่งเป็น

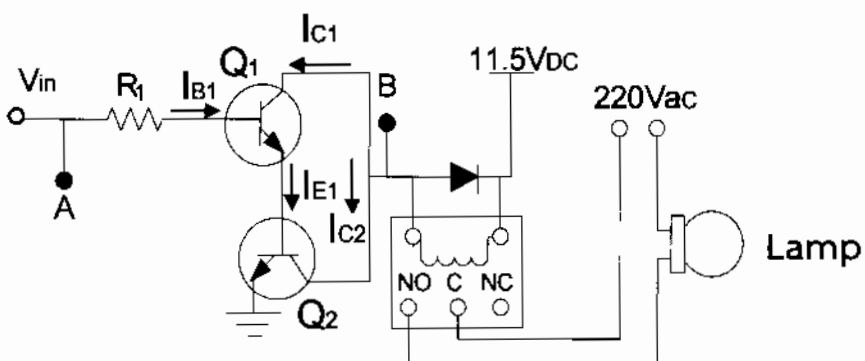
ลักษณะสมบัติของปริมาณที่มีความสัมพันธ์แบบเอกซ์โพเนนเชียล และในช่วงที่ความเข้มแสงต่ำ LDR จะมีความไวต่อแสงมาก ทำให้ความเข้มแสงเกิดการเปลี่ยนแปลงได้ง่าย จึงทำให้เกิดความคลาดเคลื่อนสูง ในขณะที่ช่วงที่ความเข้มแสงมาก ความไวต่อการเปลี่ยนแปลงของความเข้มแสงจะต่ำ จึงทำให้การอ่านค่าแรงดันเอาต์พุตมีค่าความคลาดเคลื่อนต่ำ ทั้งนี้สามารถประมาณค่าแรงดันเอาต์พุตที่ความเข้มแสงมากกว่า 400 lux ได้จากการ (4.12)



ภาพประกอบ 4.10 เปรียบเทียบความสัมพันธ์ระหว่าง V_{out1} จากผลการทดสอบกับความเข้มแสง และความสัมพันธ์ระหว่าง V_{out2} จากสมการกับความเข้มแสง

จากความสัมพันธ์ของกราฟข้างต้นพบว่า เมื่อความเข้มแสงน้อยค่าความต้านทานภายในเซ็นเซอร์แสงจะมีค่ามาก ทำให้แรงดันเอาต์พุตมีค่าน้อย และเมื่อความเข้มแสงมากค่าความต้านทานภายในเซ็นเซอร์แสงจะมีค่าน้อย ทำให้แรงดันเอาต์พุตมีค่ามาก

4.4 ผลการทดสอบวงจรบีรีเลอร์



ภาพประกอบ 4.11 ตำแหน่งจับสัญญาณแรงดันของวงจรบีรีเลอร์

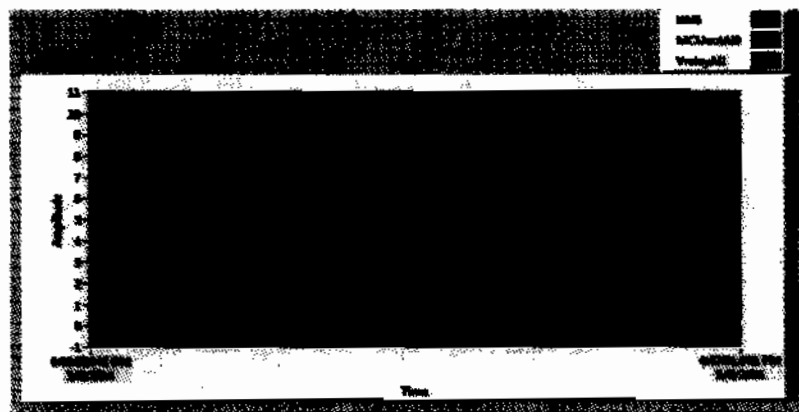
จากภาพประกอบ 4.11 ผู้วิจัยได้ทำการทดสอบจับสัญญาณแรงดันที่จุด A และ B เมื่อไมโคร - คอนโทรลเลอร์ได้รับสัญญาณจากวงจรเซ็นเซอร์ตรวจจับการเคลื่อนไหว และวงจรเซ็นเซอร์แสง ในการนี้

ที่ตรวจพบการเคลื่อนไหวในสภาวะที่ความเข้มแสงมีค่าต่ำกว่า 25 lux ไมโครคอนโทรลเลอร์จะส่งสัญญาณเอาต์พุตออกมาเป็นโลจิก 1 ส่งผลให้สัญญาณแรงดันที่วัดได้ ณ จุด A มีค่าประมาณ 5 V (เส้นกราฟสีแดง) ซึ่งเป็นแรงดันอินพุตให้กับวงจรขับรีเลย์ ทำให้วงจร daraลิงตันนำกระแสได้ และเมื่อวัดสัญญาณแรงดันไฟฟ้า ณ จุด B พบร่วงดันไฟฟ้ามีค่าประมาณ 0.7 V ดังภาพประกอบ 4.12 เกิดความต่างศักย์ขึ้นที่ขดลวดของรีเลย์ เกิดสนามแม่เหล็กดึงหน้าสัมผัสรีเลย์มาติดกับหน้าสัมผัส NO ในสภาวะนี้ จะทำให้รีเลย์สวิตช์ให้หลอดไฟเปิด



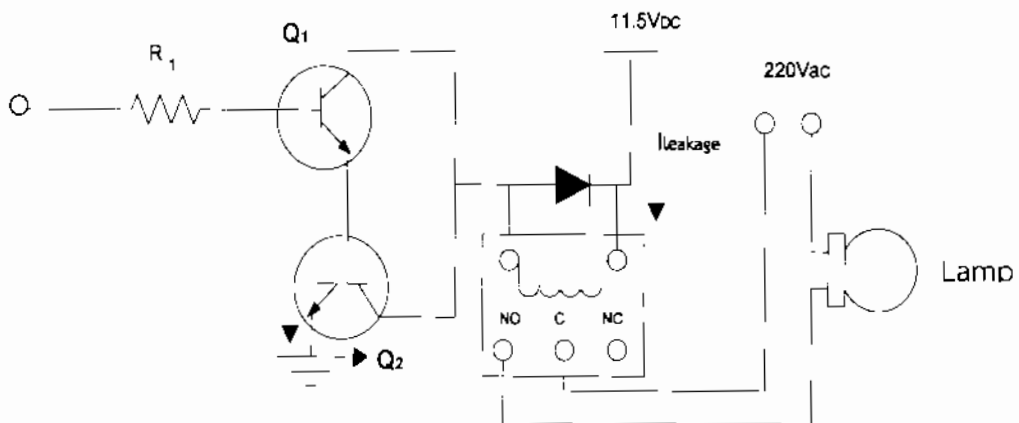
ภาพประกอบ 4.12 สัญญาณแรงดันขณะมีการเคลื่อนไหว

ในการนี้ที่เขียนซอฟต์wareไม่พบรการเคลื่อนไหว หรือตรวจพบว่าความเข้มแสงมีค่ามากกว่า 25 lux ไมโครคอนโทรลเลอร์จะส่งสัญญาณเอาต์พุตออกมาเป็นโลจิก 0 ซึ่งแรงดันที่ต่อกคร่อมรีเลย์จะมีค่าประมาณ 0.7 V ซึ่งไม่เพียงพอที่จะสวิตช์หน้าสัมผัสไปยังหน้าสัมผัส NO ดังภาพประกอบ 4.13 ส่งผลให้แรงดันไฟฟ้า ณ จุด A ที่วัดได้มีค่าประมาณ 0.2 V ส่งผลให้ทรานซิสเตอร์ภายในวงจร daraลิงตันไม่นำกระแส เมื่อทำการวัดค่าแรงดันไฟฟ้า ณ จุด B พบร่วงดันมีค่าเป็น 10.8 V ซึ่งในสภาวะนี้รีเลย์จะไม่สวิตช์ให้ไฟเปิด



ภาพประกอบ 4.13 สัญญาณแรงดันขณะไม่มีการเคลื่อนไหว

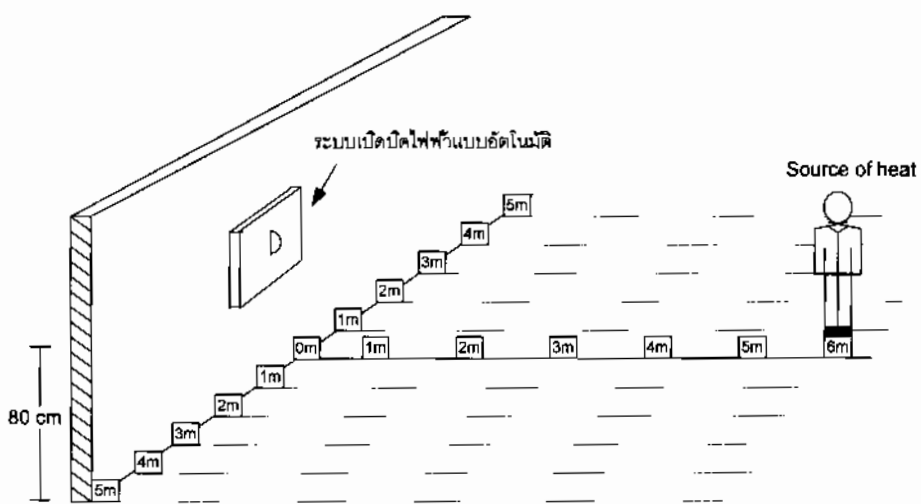
ผลจากการทดสอบ พบร่วม แรงดันที่จุด B มีระดับแรงดันที่ต่ำกว่าแรงดันของแหล่งจ่ายไฟเลี้ยง ห้องนี้เนื่องจากในสภาพว่างอจิก 0 ไมโครคอนโทรลเลอร์จะสร้างแรงดันที่อยู่ในช่วง 0 - 0.8 V (มาตรฐาน TTL) จึงทำให้ทรานซิสเตอร์ Q₁ และ Q₂ เกิดกระแสรั่วขึ้น โดยมีทิศทางการไหลของกระแสเด้งภาพประกอบ 4.14 ซึ่งผลจากการแลดังกล่าว ส่งผลให้มีแรงดันไฟฟ้าบางส่วนตกคร่อมอยู่ที่ขดลวดของรีเลย์ จึงเป็นสาเหตุที่ทำให้แรงดันณ จุด B มีระดับแรงดันไม่เท่ากับแรงดันไฟเลี้ยงที่จ่ายให้วงจร



ภาพประกอบ 4.14 ทิศทางการไหลของกระแสรั่วไฟในวงจรขับรีเลย์

4.5 ผลการทดสอบระบบเปิดปิดไฟฟ้าแบบอัตโนมัติ

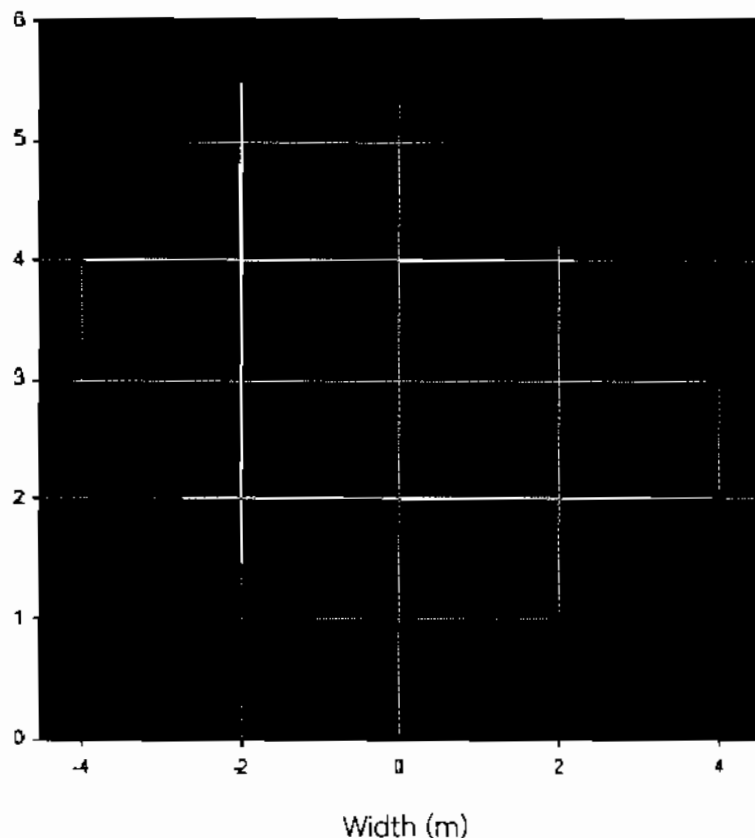
4.5.1 ผลการทดสอบระบบการทำงานของระบบเปิดปิดไฟฟ้าแบบอัตโนมัติ



ภาพประกอบ 4.15 ลักษณะการทดสอบระบบการทำงานของระบบเปิดปิดไฟฟ้า

จากภาพประกอบ 4.15 เป็นวิธีทำการทดสอบระบบเปิดปิดไฟฟ้าแบบอัตโนมัติ ซึ่งผลการทดสอบแสดงดังภาพประกอบ 4.16

Length (m)



ภาพประกอบ 4.16 ระยะการตอบสนองของระบบเปิดปิดไฟฟ้าแบบอัตโนมัติ

เมื่อระบบทำการตรวจสอบจับการเคลื่อนไหวจากรังสีอินฟารेडที่แผ่ออกมานี้ มีการตอบสนองของระบบแสดงดังภาพประกอบ 4.16 โดยพื้นที่สีแดง คือ ระยะที่ระบบตอบสนองได้อย่างถูกต้องตามเงื่อนไข พบร่วมระบบสามารถปฏิบัติการครอบคลุมพื้นที่ได้ดีตามทิศทางการรับสัญญาณของเซ็นเซอร์ประมาณ 15 ตารางเมตร จากกราฟตำแหน่งที่ติดตั้งระบบวัดจะอยู่ที่ตำแหน่ง 0 ในแนวแกน X ซึ่งระบบสามารถตรวจจับการเคลื่อนไหวได้ในช่วงมุมกว้างประมาณ 43 ถึง 128 องศา จากผลการทดสอบจะเห็นได้ว่าด้านซ้ายระบบจะตอบสนองได้ครอบคลุมมากกว่าด้านขวา เมื่อพิจารณาจากระยะที่ระบบตอบสนอง คือ ตอบสนองได้ระยะใกล้สุดที่ 6 เมตร ทั้งนี้อาจเป็นเพราะเซ็นเซอร์ที่ใช้มีลักษณะสมบัติที่เกิดจากการผลิตที่ยังไม่สามารถตอบสนองได้อย่างสม่ำเสมอ และสมมาตร จึงทำให้การตอบสนองทางด้านซ้าย และข้างไม่สมมาตรกัน

4.5.2 ผลการทดสอบประสิทธิภาพการทำงานของระบบเปิดปิดไฟฟ้าแบบอัตโนมัติ

การทดสอบประสิทธิภาพการทำงานของระบบเปิดปิดไฟฟ้าแบบอัตโนมัติ มีเงื่อนไขในการทดสอบระบบ 2 เงื่อนไข คือ เงื่อนไขที่ 1 กำหนดให้มีการเคลื่อนไหว และมีแสงสว่างเพียงพอต่อความต้องการ คือ มากกว่า 25 lux ซึ่งในการทดสอบความเข้มแสงมีค่าเท่ากับ 100 lux และเงื่อนไขที่ 2

กำหนดให้มีการเคลื่อนไหว และมีแสงสว่างไม่เพียงพอต่อความต้องการ คือ มีค่าน้อยกว่า 25 lux ซึ่งใน การทดสอบความเข้มแสงมีค่าเท่ากับ 10 lux เพื่อทดสอบหาประสิทธิภาพในการทำงานของระบบว่า สามารถทำงานได้ตรงตามเงื่อนไข โดยจะทำการทดสอบข้าจากจุดที่ระบบมีการตอบสนองได้ที่สุด ผลการสอบแสดงดังตารางที่ 4.1 และ 4.2 ตามลำดับ

1. เงื่อนไขที่ 1 มีการเคลื่อนไหว และมีความเข้มแสงเพียงพอต่อความต้องการ (100 lux)

ตาราง 4.1 ทดสอบประสิทธิภาพในการทำงานของระบบเมื่อมีแสงสว่างเพียงพอ

จำนวนทดสอบ (ครั้ง)	1	2	3	4	5	6	7	8	9	10
หลอดไฟ (✓) / หลอดไฟ (✗)	✗	✗	✗	✗	✗	✗	✗	✗	✗	✗

2. เงื่อนไขที่ 2 มีการเคลื่อนไหว และมีความเข้มแสงไม่เพียงพอต่อความต้องการ (10 lux)

ตาราง 4.2 ทดสอบประสิทธิภาพในการทำงานของระบบเมื่อมีแสงสว่างไม่เพียงพอ

จำนวนทดสอบ (ครั้ง)	1	2	3	4	5	6	7	8	9	10
หลอดไฟ (✓) / หลอดไฟ (✗)	✓	✓	✓	✓	✓	✓	✓	✓	✓	✓

หมายเหตุ : เครื่องหมาย ✓ คือ หลอดไฟถูกเปิด

เครื่องหมาย ✗ คือ หลอดไฟไม่ถูกเปิด

จากข้อมูลการทดสอบประสิทธิภาพการทำงานของระบบเปิดปิดไฟฟ้าแบบอัตโนมัติ ดังตาราง 4.2 และ 4.3 โดยทำการทดสอบระบบจำนวน 10 ครั้ง พบว่าผลการตอบสนองของระบบตาม เงื่อนไขที่ 1 และเงื่อนไขที่ 2 ทั้ง 10 ครั้ง ระบบเป็นไปตามเงื่อนไขที่กำหนดให้ไม่ครอบคลุม เนื่องจากใน การทดสอบพบว่าช่วงที่ความเข้มแสงปานกลาง คือ ช่วงความเข้มแสงประมาณ 23 ถึง 27 lux ระบบมีความคาดเคลื่อนในการวัด จึงส่งผลให้เกิดความผิดพลาดในการประมวลผล เนื่องจากค่าแรงดัน เอาต์พุตของวงจรเซ็นเซอร์แสงที่ส่งให้ไมโครคอนโทรลเลอร์ มีระดับแรงดันไม่คงที่ ส่งผลให้ไมโคร - คอนโทรลเลอร์สร้างสัญญาณการเปิดปิดหลอดไฟไปตามความแปรปรวนที่เกิดขึ้น หลอดไฟจึงเกิดการ กระพริบ ซึ่งเป็นผลจากการเปิดปิดรีเลย์จากความแปรปรวนของความเข้มแสง จากการกำหนดค่าความ เข้มแสงขึ้นเริ่ม ซึ่งถือเป็นจุดด้อยในการทำงานของระบบ แต่อย่างไรก็ตามระบบยังคงสามารถทำงานได้ ทั้งนี้ในการทดสอบประสิทธิภาพการตอบสนองของระบบ สรุปได้ว่ามีประสิทธิภาพเท่ากับ 100 เปอร์เซ็นต์ ทำให้สามารถนำระบบที่ทำการพัฒนาไปประยุกต์ใช้ได้ เพื่อลดการใช้ไฟฟ้าที่ไม่จำเป็น และ ช่วยลดการใช้ไฟฟ้าในกรณีที่สิ่งปฏิไฟต์

บทที่ 5

สรุปผลการทดสอบและข้อเสนอแนะ

5.1 สรุป

ในโครงงานนี้ได้ศึกษาการพัฒนาระบบเปิดปิดไฟฟ้าแบบอัตโนมัติ โดยเริ่มจากการออกแบบวงจรภายในระบบที่ประกอบไปด้วย วงจรแൾจ่ายไฟฟ้ากระแสตรง วงจรตรวจจับการเคลื่อนไหว วงจรเซ็นเซอร์แสง วงจรไมโครคอนโทรลเลอร์ และวงจรขับรีเลย์

วงจรแൾจ่ายไฟฟ้ากระแสตรง มีองค์ประกอบของวงจร คือ หม้อแปลงไฟฟ้า วงจรเรียงกระแสด้วยบริดจ์ไดโอด BR31 วงจรกรองแรงดันด้วยตัวเก็บประจุ และวงจรคงค่าแรงดันด้วยไอซีคงค่า แรงดัน โดยใช้ไอซีเบอร์ 7805, 7812, 7815 และ 7915 เพื่อให้ได้ไฟฟ้ากระแสตรงที่คงที่ขนาด 5, 12 และ $\pm 15 \text{ V}_{\text{DC}}$ ผลการทดสอบพบว่าแรงดันไฟฟ้ากระแสตรงที่ได้มีขนาด 5.00, 11.50, 14.50 และ $-14.70 \text{ V}_{\text{DC}}$ ตามลำดับ ซึ่งสามารถนำไปใช้สำหรับจ่ายแรงดันไฟฟ้าให้วงจรในระบบได้

การออกแบบวงจรและผลการทดสอบวงจรเซ็นเซอร์ตรวจจับการเคลื่อนไหวโดยใช้ PIR เซ็นเซอร์ พบร้าเซ็นเซอร์ตรวจจับการเคลื่อนไหวที่เลือกใช้ มีลักษณะเป็นสัญญาณพัลส์ไม่คงที่ จึงต้องจราحت่วงเวลา เพื่อให้ช่วงสัญญาณเมื่อตรวจพบการเคลื่อนไหวกว้างขึ้น และเพื่อให้การเปลี่ยนสภาพเป็นช่วงที่ไม่มีการเคลื่อนไหว ตัวเก็บประจุสามารถจ่ายแรงดันให้กับวงจรได้ในช่วงเวลาหนึ่ง ทำให้วงจรควบคุมรีเลย์ไม่สวิตช์เปิดปิดหลอดไฟเร็วเกินไป ห้างนี้เมื่อมีแรงดันเอาต์พุตของวงจรมากกว่า 1 V ไมโครคอนโทรลเลอร์จะอ่านค่าได้เป็นลอจิก 1 ในสภาวะนี้ คือ มีการเคลื่อนไหว และเมื่อมีแรงดันเอาต์พุตต่ำกว่า 0 V ไมโครคอนโทรลเลอร์จะอ่านค่าได้เป็นลอจิก 0 ในสภาวะนี้ คือ ไม่มีการเคลื่อนไหว

การออกแบบวงจรและผลการทดสอบคุณสมบัติของวงจรเซ็นเซอร์แสง โดยทำการต่อวงจรแบบแบ่งแรงดันให้เซ็นเซอร์แสงทำงานคล้ายวงจรเปิดปิดสวิตช์ ซึ่งจากการทดสอบคุณสมบัติของเซ็นเซอร์ ผู้วิจัยได้กำหนดค่าความเข้มแสงขีดริมในการตรวจสอบความเข้มแสง ที่ความเข้มแสง 25 lux ซึ่งที่ความเข้มแสงนี้ จะมีแรงดันเอาต์พุตเท่ากับ 1 V โดยเมื่อมีความเข้มแสงต่ำกว่า 25 lux แรงดันเอาต์พุตจะมีค่าต่ำกว่า 1 V ไมโครคอนโทรลเลอร์จะแปลงความหมายเป็นลอจิก 0 และเมื่อมีความเข้มแสงมากกว่า 25 lux แรงดันเอาต์พุตจะมีค่ามากกว่า 1 V ไมโครคอนโทรลเลอร์จะแปลงความหมายเป็นลอจิก 1

สำหรับวงจรประกอบเพื่อให้ไมโครคอนโทรลเลอร์ทำงาน และการโปรแกรมไมโครคอน - โทรลเลอร์ ในโครงงานนี้ไมโครคอนโทรลเลอร์ PIC16F627A ที่ใช้ต้องการแรงดันไฟเลี้ยงในช่วง 3 ถึง 5.5 V จึงออกแบบวงจรกำเนิดแรงดันไฟฟ้ากระแสตรงขนาด 5 V จากวงจรเรียงกระแส ทั้งนี้ในการโปรแกรมไมโครคอนโทรลเลอร์ ได้กำหนดให้ไมโครคอนโทรลเลอร์รับสัญญาณอินพุตจากวงจรเซ็นเซอร์ ตรวจจับการเคลื่อนไหว และวงจรเซ็นเซอร์แสง แล้วประมวลผลตามเงื่อนไขที่กำหนดไว้ เพื่อส่งสัญญาณไปควบคุมวงจรขับรีเลย์

การออกแบบบ่วงจระและผลการทดสอบบ่วงจระขับรีเลย์ในการสวิตซ์เปิดปิดไฟฟ้า เนื่องจากรีเลย์ไม่สามารถนำเอาต์พุตจากไมโครคอนโทรลเลอร์มาใช้ได้โดยตรง จึงต้องจราดลิงตันมาประยุกต์ใช้เพื่อการขยายกระแสให้กับบ่วงจระขับรีเลย์ในการสวิตซ์เปิดปิดหลอดไฟ

ผลการทดสอบระบบเปิดปิดไฟฟ้าที่ถูกพัฒนาในโครงการนี้ โดยการทดสอบจะติดตั้งเซ็นเซอร์ไว้ที่ผนังห้องสูงจากพื้น 80 เซนติเมตร พบระบบสามารถปฏิบัติการครอบคลุมพื้นที่ได้ตามที่ศึกษาการรับสัญญาณของเซ็นเซอร์ มีระยะการตอบสนองประมาณ 15 ตารางเมตร สามารถตรวจจับการเคลื่อนไหวได้ในช่วงมุมกว้าง 43 ถึง 128 องศา และมีความแม่นยำในการทดสอบสอบประสิทธิภาพการทำงานได้ตรงตามเงื่อนไขในการทำงานที่กำหนด โดยมีความแม่นยำในการควบคุมการเปิดปิดหลอดไฟ 100 เปอร์เซ็นต์

ระบบดังกล่าวสามารถนำไปประยุกต์ใช้ในการควบคุมการเปิดปิดไฟฟ้าได้จริงทั้งภายใน และภายนอกอาคาร ตลอดจนสามารถพัฒนาต่ออยู่ระบบเพื่อใช้ในการจัดการปัญหาทางด้านพลังงานได้

5.2 ปัญหาและอุปสรรค

เซ็นเซอร์ที่เลือกใช้มีการตอบสนองที่ไม่สม่ำเสมอ และสมมาตร จึงทำให้พื้นที่ในการตอบสนองผิดซ้าย และขวาไม่สมดุลกัน

5.3 ข้อเสนอแนะ

- ศึกษาและเลือกใช้เซ็นเซอร์ที่มีคุณภาพสามารถตอบสนองได้แม่นยำ
- ระบบที่ทำการพัฒนายังมีขนาดใหญ่ และน้ำหนักมาก ควรมีการออกแบบระบบและวงจรภายในให้มีน้ำหนักเบา และขนาดกะทัดรัด
- ระบบที่ทำการพัฒนายังมีการใช้ไฟอยู่ตลอดเวลาเพื่อจ่ายให้กับไมโครคอนโทรลเลอร์ จึงควรมีโหมดของการประหยัดพลังงานในช่วงของการเตรียมพร้อมการทำงาน

เอกสารอ้างอิง



เอกสารอ้างอิง

- [1] สมคิด วิริยะประสีทธิ์ชัย, สมบูรณ์ นาลานนท์. “ทดสอบและการออกแบบแหล่งจ่ายไฟกระแสตรงแบบเชิงเส้น”. พิมพ์ครั้งที่ 1. กรุงเทพฯ: สำนักพิมพ์พิสิกส์เซ็นเตอร์; 2545. หน้า 23-39.
- [2] “การพิส丢了เรื่องการเรียงกระแส”. [สืบค้นเมื่อ 9 ก.ค. 2556]; ได้จาก: http://eng.vu.ac.th/-mn/2009/arnon/theching/elec_mn_lab/lab_sheet/Lab3.pdf.
- [3] ทีมงานสารทเดิร์นนิ่ง. “รวมวงจรนำร่องนำลง”. พิมพ์ครั้งที่ 1. กรุงเทพฯ : สารทเดิร์นนิ่ง; 2553. หน้า 12-13.
- [4] ปกรณ์ ลิ้มพรจิตรวิไล. “PIR โมดูลตรวจจับการเคลื่อนไหวด้วยรังสีอินฟราเรด”. The Prototype Electronics Magazine. 19 ตุลาคม 2009; [ฉบับที่ 4]: [สืบค้นเมื่อ 15 ก.ค. 2556]; ได้จาก: http://issuu.com/innovativeexperiment/docs/tpe_pir/3e0.
- [5] พรจิต ประทุมสุวรรณ. เครื่องมือวัดอุณหภูมิ เข็นเซอร์ และทرانซิสเตอร์. พิมพ์ครั้งที่ 1. กรุงเทพฯ: เรือนแก้วการพิมพ์; 2541. หน้า 169-182.
- [6] ณัฐพล ทุบประดิษฐ์. “อุปกรณ์ไฟโตแบบต่างๆ”. [สืบค้นเมื่อ 15 ก.ค. 2556]; ได้จาก: <https://wiki.stjohn.ac.th/groups/polyelectronics/wiki/b86ff/index.html>.
- [7] ชิตชัย โพธิประภา. “วัสดุอิเล็กทรอนิกส์ และการใช้งานทางวิทยาศาสตร์”. [สืบค้นเมื่อ 15 ก.ค.]; ได้จาก: <http://phchi.wbvschool.net/th/หอดูหมา月เหตุ/1123>.
- [8] ทีมงานสารทเดิร์นนิ่ง. “คัมภีร์ออกแบบวงจรไอซี”. พิมพ์ครั้งที่ 1. กรุงเทพฯ: สารทเดิร์นนิ่ง; 2553. หน้า 1-25
- [10] จีรดา โกชิยาภรณ์. “วิศวกรรมอิเล็กทรอนิกส์”. พิมพ์ครั้งที่ 1. กรุงเทพฯ: สำนักพิมพ์ห้างหุ้นส่วนจำกัด วี.เจ.พรีนดิ้ง; 2551. หน้า 3-5.
- [11] ทีมงานสารทเดิร์นนิ่ง. “อิเล็กทรอนิกส์สำหรับผู้เริ่มต้น”. พิมพ์ครั้งที่ 1. กรุงเทพฯ: สารท - เดิร์นนิ่ง; 2553. หน้า 99-100.
- [12] สันทนา สงเครินทร์. “เอกสารประกอบการสอน วิชาช่างไมโครคอนโทรลเลอร์”. [สืบค้นเมื่อ 27 ก.ค. 2556]; ได้จาก: <http://www.sunthana.com/microcontroller.pdf>.
- [13] กิตตยาณุ อุ่นเสียน, ชุดพิชัย ชูกลิน. “โครงงานนับจำนวนคน และเปิด-ปิดไฟฟ้าอัตโนมัติ”. [สืบค้น เมื่อ 9 ก.ย. 2556]; ได้จาก <http://kittayakan.blogspot.com/2012/08/blogpost.html>.
- [14] ธัญนันท์ ปลายเนตร, เศรษฐสสร ชนะศรีโยธิน. “ระบบควบคุมการเปิดปิดด้วยสวิตช์ แสงแดด”. [วิทยานิพนธ์ปริญญาวิศวกรรมศาสตร]. กรุงเทพฯ: มหาวิทยาลัยเกษตรศาสตร์; 2555.
- [15] พงศ์พิชญ์ วิภาสุรุมลก, ประสิทธิ์ จำปา, โภวิท โ兆สุวรรณ. “ออกแบบสวิตช์แสงแดด (Photo - Cell Switch)”. [สืบค้นเมื่อ 9 ก.ย. 2556]; ได้จาก: <http://nectec.or.th>.

- [16] ยุพราช ประเมล์, อภิชาติ อุ่มรัมย์. “คอมไฟอัตโนมัติหลอด LED”. [สืบค้นเมื่อ 9 ก.ย. 2556];
ได้จาก: http://mis.en.kku.ac.t/administrator/doc_upload/20120306133332.pdf.
- [17] Ying-Wen Bai and Yi-Te Ku. “Automatic Room Light Intensity Detection And Control Using A Microprocessor And Light Sensors”. IEEE Transactions On Consumer Electronics. 2008; Vol.54.
- [18] Cheng-Hung Tsai, Ying-Wen Bai, Chun-An Chu, Chih-Yu Chung and Ming-Bo Lin. “PIR-Sensor-Based Lighting Device With Ultra-Low Standby Power Consumption”. IEEE Transactions On Consumer Electronics. 2011; Vol.57.
- [19] S. S. S. Ranjit, A. F. Tuani Ibrahim, S. I MD Salim, and Y. C. Wong. “Door Sensors For Automatic Light Switching System”. Third Uksim European Symposium On Computer Modeling And Simulation. 2009.

ภาคผนวก

ภาคผนวก ๗
ตารางผลการทดสอบ

ตารางที่ ก.1 ผลการทดสอบคุณสมบัติของ LDR เช่นเชอร์

แรงดันไฟฟ้า (V)	ค่าความด้าน ห้าน (Ω)	ความเข้มแสง (lux)	VLDR (V)	Vout (V)	I (LDR) (A)	R (LDR) (Ω)
5	10000	4.42	4.57	0.43	0.000029	162413.8
5	10000	10.13	4.36	0.64	0.000049	92040.82
5	10000	21.85	4.00	1.00	0.000089	46179.78
5	10000	38.46	3.71	1.29	0.000114	33859.65
5	10000	53.70	3.20	2.04	0.000148	23783.78
5	10000	71.50	2.52	2.32	0.000193	15906.74
5	10000	99.50	2.34	2.66	0.000228	11929.82
5	10000	121.70	2.17	2.73	0.000259	9305.019
5	10000	172.60	1.85	3.15	0.000289	7301.038
5	10000	219.00	1.74	3.46	0.000304	6447.368
5	10000	296.30	1.48	3.52	0.000332	5060.241
5	10000	370.00	1.34	3.66	0.000349	4326.648
5	10000	400.00	1.30	3.70	0.000354	4124.294

ตาราง ก.2 ผลการทดสอบวัดระยะตอบสนองของระบบเปิดปิดไฟฟ้าแบบอัตโนมัติ

ระยะแนวแกน X	ระยะแนวแกน Y	ผลการทดสอบระบบ (0=ไม่ติด, 1=ติด)
-4.5	0	0
-4.5	1	0
-4.5	2	0
-4.5	3	0
-4.5	4	0
-4.5	5	0
-4.5	6	0
-4.0	0	0
-4.0	1	0
-4.0	2	0
-4.0	3	1
-4.0	4	0
-4.0	5	0
-4.0	6	0

ตาราง ก.2 ผลการทดสอบวัดระยะตอบสนองของระบบเปิดปีกไฟฟ้าแบบอัตโนมัติ

ระยะแนวแกน X	ระยะแนวแกน Y	ผลการทดสอบระบบ (0=ไม่ดี, 1=ดี)
-3.0	0	0
-3.0	1	0
-3.0	2	1
-3.0	3	1
-3.0	4	1
-3.0	5	0
-3.0	6	0
-2.0	0	0
-2.0	1	1
-2.0	2	1
-2.0	3	1
-2.0	4	1
-2.0	5	1
-2.0	6	0
-1.0	0	0
-1.0	1	1
-1.0	2	1
-1.0	3	1
-1.0	4	1
-1.0	5	1
-1.0	6	0
0	0	0
0	1	1
0	2	1
0	3	1
0	4	1
0	5	1
0	6	0
1.0	0	0
1.0	1	1
1.0	2	1
1.0	3	1

ตาราง ก.2 ผลการทดสอบวัดระยะตอบสนองของระบบเปิดปิดไฟฟ้าแบบอัตโนมัติ

ระยะแนวแกน X	ระยะแนวแกน Y	ผลการทดสอบระบบ (0=ไม่ติด, 1=ติด)
1.0	4	1
1.0	5	0
1.0	6	0
2.0	0	0
2.0	1	0
2.0	2	1
2.0	4	1
2.0	5	0
2.0	6	0
3.0	0	0
3.0	1	0
3.0	2	1
3.0	3	1
3.0	4	0
3.0	5	0
3.0	6	0
4.0	0	0
4.0	1	0
4.0	2	1
4.0	3	1
4.0	4	0
4.0	5	0
4.0	6	0
4.5	0	0
4.5	1	0
4.5	2	0
4.5	3	0
4.5	4	0
4.5	5	0
4.5	6	0

**ภาคผนวก ช
ภาพประกอบการทดลอง**

1. การทดสอบวงจรเซ็นเซอร์แสงด้วยการปรับเปลี่ยนความเข้มแสง



ภาพประกอบ ข.1 วิธีทดสอบคุณสมบัติของ LDR เซ็นเซอร์

2. การทดสอบระบบเปิดปิดไฟฟ้าแบบอัตโนมัติ โดยกำหนดเงื่อนไขให้มีการเคลื่อนไหว และไม่มีความเข้มแสง



ภาพประกอบ ข.2 การทดสอบระบบเปิดปิดไฟฟ้าแบบอัตโนมัติ

1.3 โปรแกรมไมโครคอนโทรลเลอร์

```

•      Void main ()
•      {
•          TRISB = 0x06;
•          do
•          {
•              Delay_ms (100)
•              if
•                  ((PORT.B1==)) && (PORT.B2==1))
•              {
•                  PORT.B0=1;
•              }
•              Else
•              {
•                  PORT.B0=0;
•              }
•              While (1);
•          }
•      }
•      Void main ()
•      {

```

การทำงานของโปรแกรม

การทำงานของโปรแกรมนี้จะอยู่ในขอบเขตการทำงานภายในวงลีบของ main (), {} โดยโปรแกรมจะทำงานเรียงลำดับจากคำสั่งในบรรทัดด้านบนไปยังบรรทัดด้านล่างตามลำดับ

ในบรรทัดที่ 3 คำสั่ง TRISB=0x06 ซึ่งแปลงเป็นเลขฐาน 2 ได้เป็น 1111 1110

ในบรรทัดที่ 4 คำสั่ง do เป็นคำสั่งที่ทำให้เกิดการทำงานซ้ำของโปรแกรมภายในปีกกาเปิด และปีกกาปิดของ do [] โดยโปรแกรมจะทำงานเรียงลำดับจากบรรทัดบนลงล่าง ซึ่งเงื่อนไขการทำงานซ้ำจะกำหนดภายในวงลีบเปิดปิดหลังคำสั่ง do

ในบรรทัดที่ 6 คำสั่ง Delay_me (100) เป็นคำสั่งในการหน่วงเวลาของโปรแกรม mikroC เมื่อโปรแกรมทำงานตามคำสั่ง จะทำให้เกิดการหน่วงเวลาโดยด้วยเลขภายในวงลีบ Delay_me (100) คือ 100 หมายถึงเวลาที่จะทำการหน่วงซึ่งมีหน่วยเป็นมิลลิวินาที

ในบรรทัดที่ 7 คำสั่ง if จะเป็นคำสั่งที่ใช้ตรวจสอบเงื่อนไขโดยจะทำการเช็คเงื่อนไขของ ((PORTB.B1==0)&&(PORTB.B2==1)) เป็นจริงหรือไม่ถ้าเงื่อนไขเป็นจริงให้โปรแกรมทำงานในขอบเขตของเครื่องหมายปีกกาเปิด () และเครื่องหมายปีกกาปิด () ที่อยู่หลังคำสั่ง if

ในบรรทัดที่ 10 คำสั่ง PORTB.B0=1 เป็นคำสั่งในการให้สัญญาณที่ขา RB0 เป็นโลจิก “1”

ในบรรทัดที่ 12 คำสั่ง else เป็นคำสั่งที่ใช้ร่วมกับคำสั่ง if ซึ่งจะทำให้เงื่อนไขการเลือกเป็น 2 เงื่อนไข อธิบายร่วมกับคำสั่ง if ในบรรทัดที่ 7 โดยคำสั่ง else จะเป็นการตรวจสอบเงื่อนไขที่ไม่เป็นจริง ซึ่งเป็นเงื่อนไขที่ PORTB.B0=0 โดยโปรแกรมจะทำงานตามโปรแกรมที่อยู่ภายใต้เครื่องหมายปีกกาเปิด () และเครื่องหมายปีกกาปิด ()) ที่อยู่หลังคำสั่ง elae

ในบรรทัดที่ 16 คำสั่ง while (1) เป็นคำสั่งที่ทำให้เกิดการทำงานซ้ำของโปรแกรม

ประวัติย่อผู้ทำโครงการ

ประวัติย่อผู้ทำโครงการ

ชื่อ นามสกุล	นายอิสรະ แสนโคก
วัน เดือน ปีเกิด	วันที่ 11 พฤษภาคม พ.ศ. 2534
ที่อยู่ปัจจุบัน	7 หมู่ 8 บ้านผักหวาน ตำบลหนองกรุงใหญ่ อำเภอกระนวน จังหวัดขอนแก่น 40170
เบอร์โทรศัพท์	081-7691451
E-mail	Freedom11@hotmail.com
ประวัติการศึกษา	
พ.ศ. 2546	สำเร็จการศึกษาระดับชั้นประถมศึกษาจากโรงเรียนบ้านผักหวาน
พ.ศ. 2552	สำเร็จการศึกษาระดับชั้นมัธยมศึกษาจากโรงเรียนศรีกระนวนวิทยาคม
พ.ศ. 2556	สำเร็จการศึกษาระดับปริญญาตรีวิทยาศาสตรบัณฑิต สาขาวิชสิ่งแวดล้อม ประยุกต์ (อิเล็กทรอนิกส์) คณะวิทยาศาสตร์ มหาวิทยาลัยมหาสารคาม

ประวัติย่อผู้ทำโครงการ

ชื่อ นามสกุล	นางสาวฉวีวรรณ ดวงทาแสง
วัน เดือน ปีเกิด	วันที่ 29 มิถุนายน พ.ศ. 2535
ที่อยู่ปัจจุบัน	93 หมู่ 6 บ้านหนองโ哥 ตำบลหนองโ哥 ¹ อำเภอกระนวน จังหวัดขอนแก่น 40170
เบอร์โทรศัพท์	086-9182539
E-mail	Chaweewan.dts@hotmail.com
ประวัติการศึกษา	
พ.ศ. 2546	สำเร็จการศึกษาระดับชั้นประถมศึกษาจากโรงเรียนบ้านหนองโ哥
พ.ศ. 2552	สำเร็จการศึกษาระดับชั้นมัธยมศึกษาจากโรงเรียนศรีกระนวนวิทยาคม
พ.ศ. 2556	สำเร็จการศึกษาระดับปริญญาตรีวิทยาศาสตรบัณฑิต สาขาวิชสิ่งแวดล้อม ประยุกต์ (อิเล็กทรอนิกส์) คณะวิทยาศาสตร์ มหาวิทยาลัยมหาสารคาม